

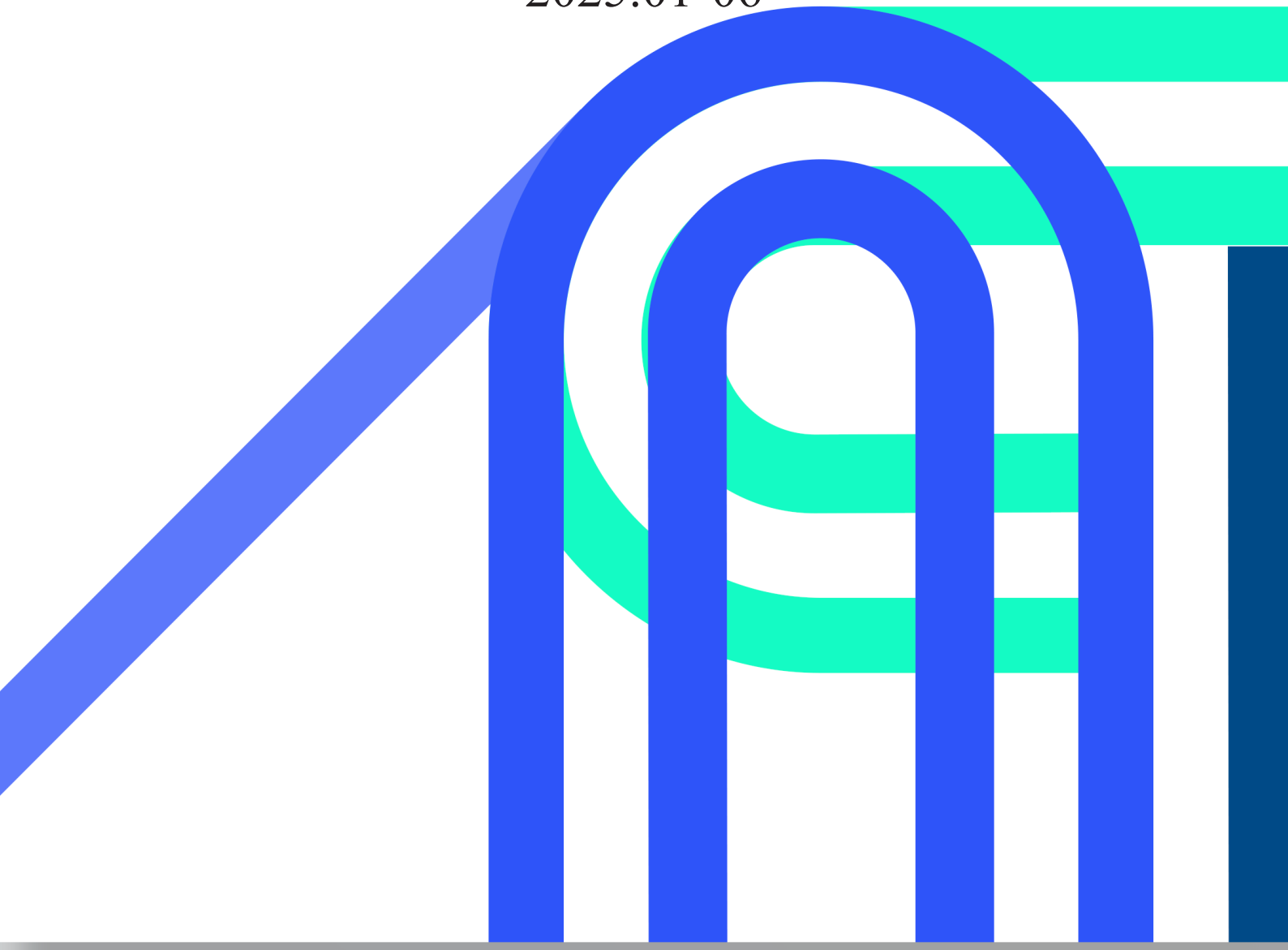
清华大学 交叉信息研究院

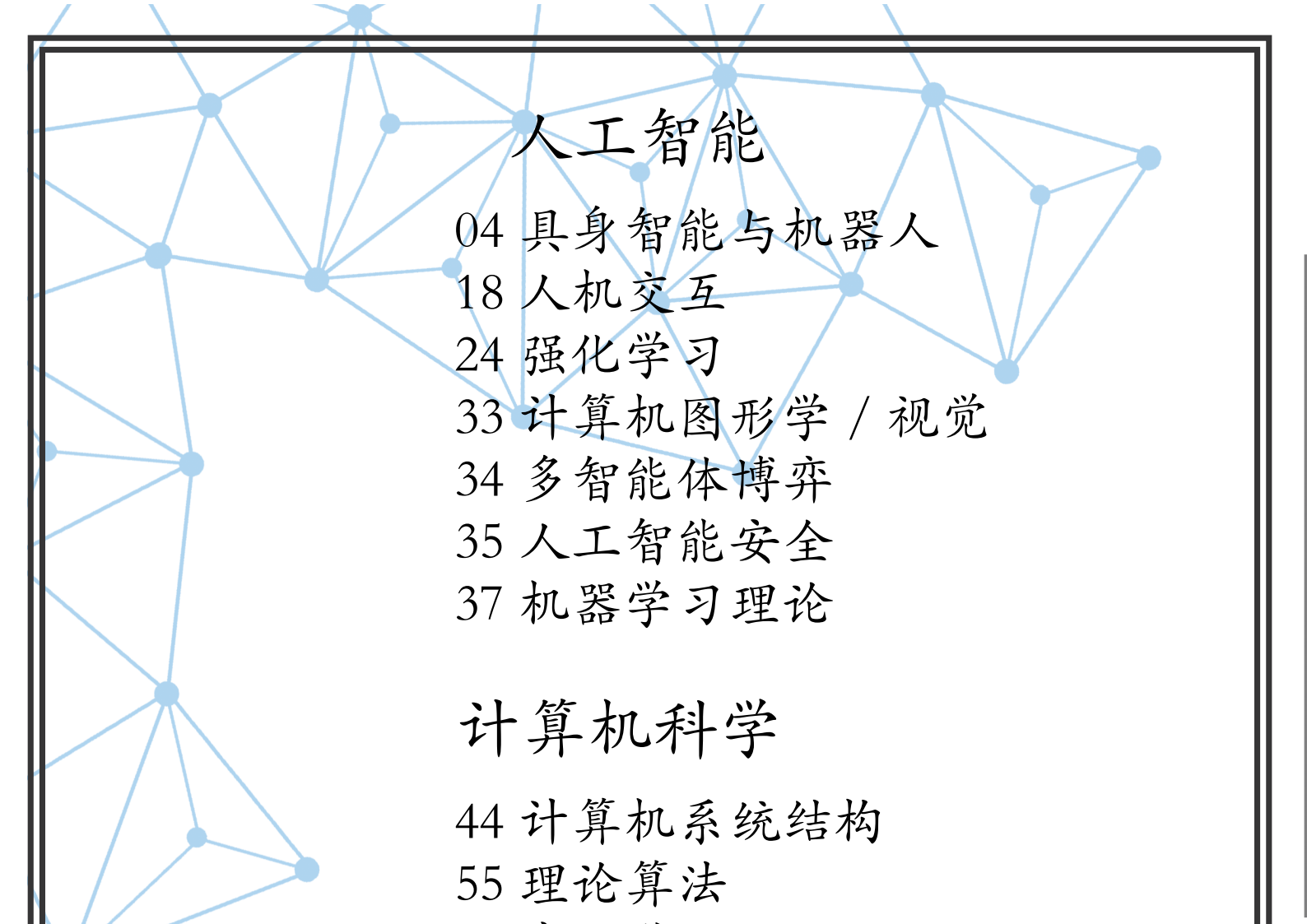
Institute for Interdisciplinary Information Sciences, Tsinghua University

学术科研简报

IIIS Academic Newsletter

2025.01-06





人工智能

- 04 具身智能与机器人
- 18 人机交互
- 24 强化学习
- 33 计算机图形学 / 视觉
- 34 多智能体博弈
- 35 人工智能安全
- 37 机器学习理论

计算机科学

- 44 计算机系统结构
- 55 理论算法
- 57 密码学
- 58 计算博弈论

量子信息

- 61 离子阱量子计算
- 62 离子阱量子网络
- 64 中性原子量子网络
- 65 金刚石量子网络
- 67 量子信息
- 73 量子人工智能
- 75 超导量子计算
- 84 凝聚态物理

人工智能



一、具身智能与机器人

主要完成人：陈建宇研究组、高阳研究组、马恺声研究组、许华哲研究组、吴翼研究组

视频预测策略：基于联合扩散去噪过程的视觉策略学习

近期，视频扩散模型 (VDM) 展现出精准预测未来图像序列的能力，展现出对物理动态的良好理解。受 VDM 强大视觉预测能力的启发，论文假设 VDM 本身就拥有能够反映物理世界演变的视觉表征，并称之为“预测性视觉表征”。基于此假设，提出了视频预测策略 (VPP)。

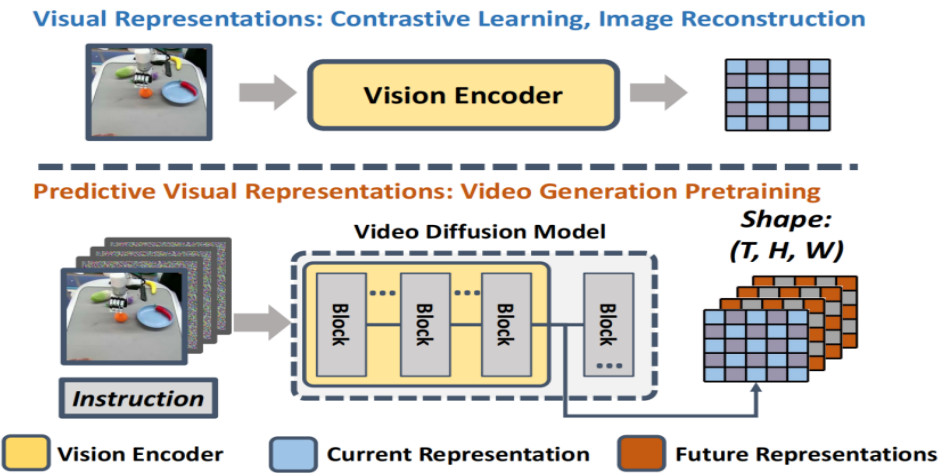


图 1. VPP 与其他机器人视觉表征学习的区别

陈建宇研究组提出了视频预测策略的两阶段学习过程。首先，该框架在不同的操作数据集上训练文本引导视频预测 (TVP) 模型，以利用来自互联网数据的物理知识；随后，设计了一个 Video Former 模块将视频模型中的有效可预测表征整合、压缩成固定数量的令牌，最后使用条件扩散策略生成最后的可执行动作。

在实验中，研究组在仿真模拟和真实机器人任务进行了广泛的实验，以评估视频预测策略 (VPP) 的性能。模拟环境包括 CALVIN 基准测试和 MetaWorld 基准测试，而真实任务则包括 Panda 手臂操控和 XHand 灵巧手操控。



图 2. 机器人真实操作环境任务设置

研究组提出的视频预测策略显著提升了先前最佳结果，平均任务完成长度从 3.35 提升至 4.33。即使仅使用 10% 的带注释 Calvin ABC 数据进行训练，他们的方法仍然达到了 3.25 的长度，超过了使用完整数据的相关方法的结果。此外，视频预测策略在包含 50 个任务的 MetaWorld 基准测试中也取得了最佳性能，平均成功率比最强大的 GR-1 基线高出 10.8%。

在真机实验中，为了进行评估，研究组对熊猫手臂操作任务进行了 200 多次 rollout，对灵巧手操作任务进行了 500 多次 rollout。比较结果如表 5 所示，表明 VPP 在可见任务、不可见任务和工具使用任务中均以明显优势胜过所有基线

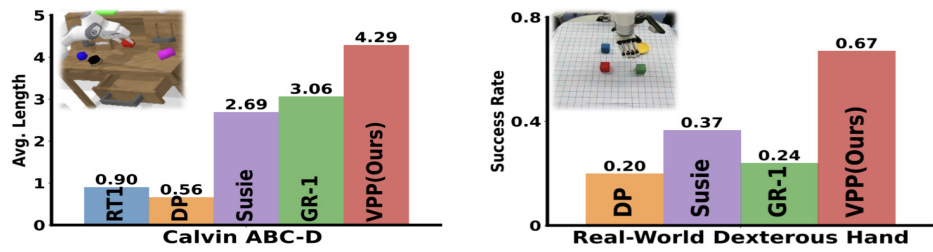


图 3. VPP 在仿真和真机中的性能对比

该成果研究论文: Yucheng Hu, Yanjiang Guo, Pengchao Wang, Xiaoyu Chen, Yen-Jen Wang, Jianke Zhang, Koushil Sreenath, Chaochao Lu, Jianyu Chen, "Video Prediction Policy: A Generalist Robot Policy with Predictive Visual Representations." ICML 2025.

一个统一理解与预测的具身模型

视觉-语言-动作(VLA)模型的最新进展利用预训练的视觉-语言模型(VLMs)来提高泛化能力。VLMs 通常在视觉-语言理解任务上进行预训练, 提供丰富的语义知识和推理能力。然而, 先前的研究表明, VLMs 通常关注高层语义内容, 并忽视低层特征, 限制了它们捕捉详细空间信息和理解物理动态的能力。这些对于具身控制任务至关重要的方面在现有的预训练范式中仍未得到充分探索。

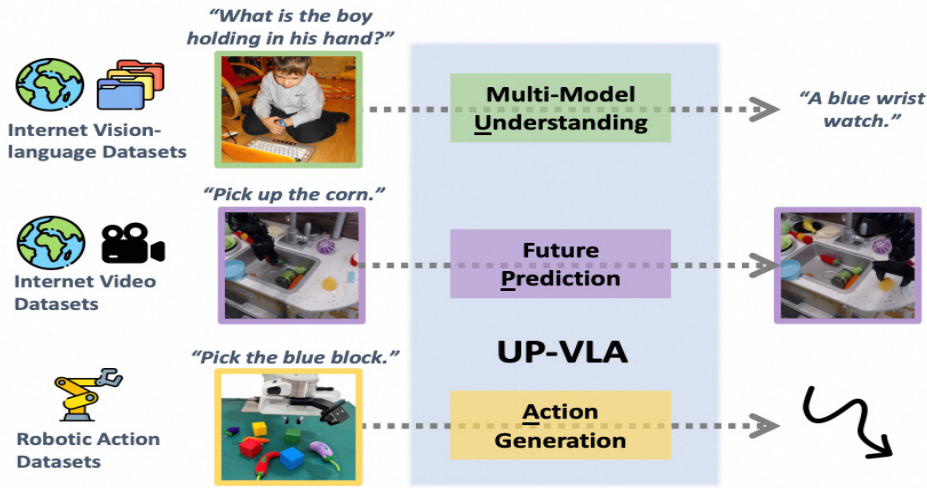


图 1. UP-VLA 将未来预测、多模态理解、动作生成引入到同一模型

陈建宇研究组研究了新的 VLA 的训练范式, 并引入了 UP-VLA, 这是一个统一的 VLA 模型, 通过多模态理解和未来预测目标进行训练, 同时增强了高层语义理解和低层空间理解。实验结果表明, 与之前的最先进方法相比, UP-VLA 在 Calvin ABC-D 基准测试中取得了 33% 的性能提升。此外, UP-VLA 在现实世界的操作任务中展现出更高的成功率, 尤其是那些需要精确空间信息的任务。

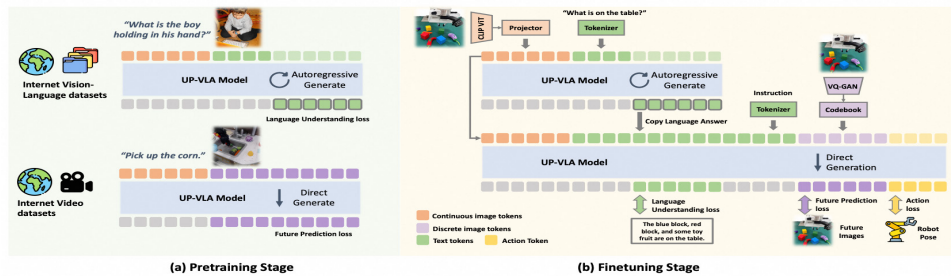


图 2. UP-VLA 首先通过图像预测与多模态理解预训练学习通用知识, 随后在机器人数据中学习动作策略

在实验中, 研究组在仿真的 Calvin 机械臂环境和真实 Panda 机械臂环境中进行了大量实验。研究组使用一个视觉语言输入的策略在 Calvin ABC-D Benchmark 中获得了相对于基线算法 33% 的提升。在真实世界任务中, 在未知任务也获得了成功率提升。

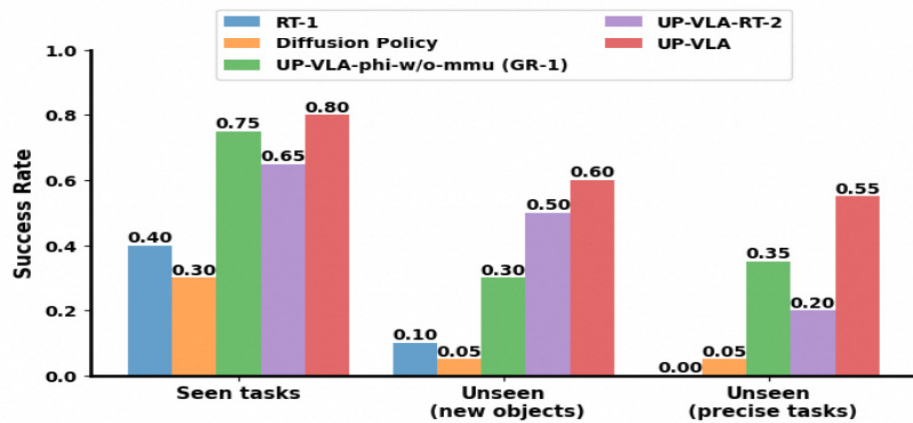


图 3. 真是环境的性能比较图

该成果研究论文：Jianke Zhang, Yanjiang Guo, Yucheng Hu, Xiaoyu Chen, Xiang Zhu, Jianyu Chen. "UP-VLA: A Unified Understanding and Prediction Model for Embodied Agent." ICML 2025.

通过引导探索提升大语言模型的数学推理能力

近年来，大型语言模型（LLMs）在多个领域展现出了强大的推理和生成能力，尤其在数学问题求解方面取得了显著进展。然而，当前的自训练方法在探索整个推理空间时面临困难，导致生成的数据中出现虚假关联，限制了模型性能的进一步提升。为了解决这一关键瓶颈，陈建宇研究组联合阿里巴巴大模型研究组提出了一种全新的引导式探索方法 MARGE（Improving Math Reasoning with Guided Exploration），通过系统性的探索策略来增强大型语言模型的数学推理能力。

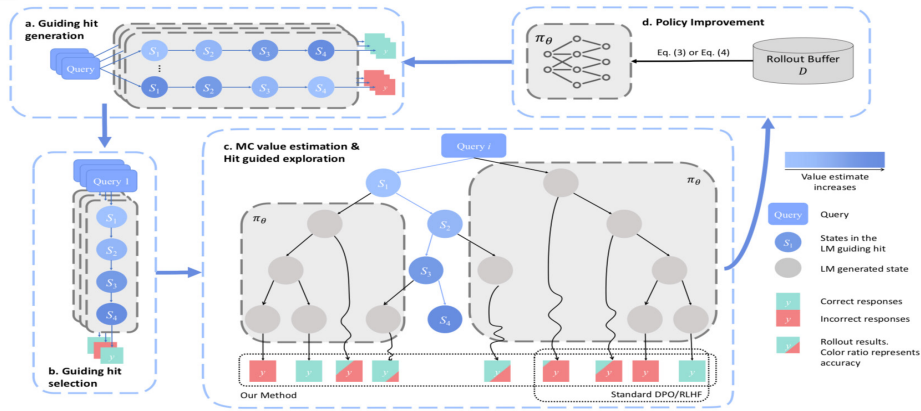


图 1. MARGE 通过已有回答来引导模型的探索过程，在每个中间推理步骤上进行充分探索，从而提升整体解题准确率

近年来，大型语言模型（LLMs）在多个领域展现出了强大的推理和生成能力，尤其在数学问题求解方面取得了显著进展。然而，当前的自训练方法在探索整个推理空间时面临困难，导致生成的数据中出现虚假关联，限制了模型性能的进一步提升。为了解决这一关键瓶颈，陈建宇研究组联合阿里巴巴大模型研究组提出了一种全新的引导式探索方法 MARGE（Improving Math Reasoning with Guided Exploration），通过系统性的探索策略来增强大型语言模型的数学推理能力。

	MATH		MATH500		GSM8k		College Math		OlympiadBench	
	pass@1	pass@64	pass@1	pass@1	pass@64	pass@1	pass@1	pass@64	pass@1	pass@64
QWen2-7B-Instruct	53.18	59.92	85.67	22.13	25.13	20.65	24.98			
SFT	55.98	61.04	84.76	24.74	26.86	21.03	25.38			
DPO	57.24	63.44	85.90	31.64	35.72	20.88	25.83			
PPO	58.70	61.98	88.47	35.72	38.44	21.82	24.54			
REINFORCE++	59.81	63.58	88.19	35.58	38.28	24.49	25.62			
GRPO	59.89	62.92	88.07	35.02	37.09	23.85	25.72			
StepDPO-HF	57.78	63.54	87.90	30.92	32.36	22.91	24.19			
Ours-DPO	59.92	66.84	88.60	34.68	36.58	21.48	24.69			
Ours-RL	61.08	68.20	88.70	35.77	40.10	25.88	27.31			
MetaMath-Mistral	28.68	34.66	75.28	17.56	21.67	7.10	12.09			
SFT	28.60	38.28	75.94	17.31	21.72	6.67	14.07			
DPO	26.70	38.68	74.50	14.84	20.94	5.43	15.10			
PPO	27.78	32.54	78.11	17.81	20.90	7.06	10.56			
REINFORCE++	30.33	34.38	78.19	18.32	20.98	7.85	9.87			
GRPO	30.76	37.08	79.27	18.38	22.39	6.67	11.55			
MCTS-DPO	29.92	37.44	77.53	17.85	20.84	6.57	11.68			
Ours-RL	32.13	41.34	81.81	19.76	24.28	8.14	14.32			
Llama3.1-8B-Instruct	49.96	70.33	85.97	28.11	37.34	16.34	34.47			
SFT	50.72	64.96	86.37	30.03	39.10	16.89	34.41			
DPO	50.36	71.54	86.68	27.39	36.77	15.75	36.29			
PPO	50.50	65.18	85.06	26.38	34.22	15.75	28.39			
REINFORCE++	52.27	67.14	86.93	28.72	35.84	18.37	35.11			
GRPO	51.22	71.00	86.58	28.04	37.82	15.41	34.37			
Ours-RL	54.23	72.36	88.36	28.94	38.19	17.33	38.61			
QWen2.5-7B-Instruct	75.30	79.62	91.89	40.41	44.48	36.00	41.77			
SFT	75.17	80.33	92.27	41.09	44.39	38.12	41.23			
DPO	75.03	76.97	92.06	40.57	44.78	38.23	42.76			
GRPO	76.24	81.14	92.34	40.72	43.68	38.07	40.64			
Ours-RL	76.74	85.16	93.02	41.12	44.18	39.70	43.21			

图 2. 方法在不同模型和测试数据集上的实验结果

MARGE 的核心创新在于引入了引导型探索策略，即利用模型自生成的高质量解法作为引导，在其各个中间推理步骤上进行扩展与探索。这种探索方法显著提升了模型探索的效率，避免了蒙特卡洛搜索或额外价值模型的高复杂度；同时可以大规模合成高质量数据，避免了传统方法中的虚假关联现象。在理论优化层面，该方法通过减少策略梯度估计的期望方差，提升了策略优化的稳定性与效率。

实验结果表明，该方法在多个数学推理基准测试中均取得显著提升，包括 MATH、GSM8k、CollegeMath 和 OlympiadBench 等。特别的，在 pass@64 指标上，该方法的表现尤为突出。相比于传统的 SFT、DPO 和 RL 方法，MARGE 在保证单次解题准确率的同时，显著提升了生成多样性，打破了以往对齐方法对两者之间的权衡限制。

该成果研究论文：Jingyue Gao, Runji Lin, Keming Lu, Bowen Yu, Junyang Lin, Jianyu Chen. "MARGE: Improving Math Reasoning for LLMs with Guided Exploration." ICML 2025.

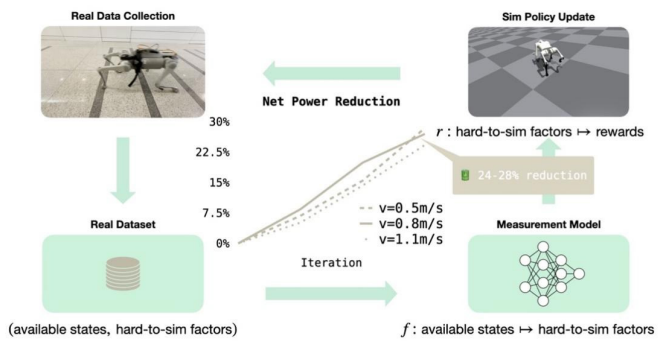
微调难以模拟的四足机器人运动目标：总功耗节约案例研究

该项目提出了一种数据驱动的微调框架，旨在优化四足机器人运动中难以模拟的目标，例如电池功耗和踩踏噪音。这些因素通常在常用模拟器中建模不准确或缺失。该框架通过利用真实世界数据对这些目标进行建模，并将学习到的模型整合到模拟中以改进策略。

文中以节约电能为例，展示了该框架的有效性，在不同速度下，电池总功耗显著降低了 24-28%。这表明该方法能够有效地解决四足机器人运动中对功耗建模的复杂挑战，并具有解决其他难以模拟目标的潜力。

该方法的核心在于其迭代过程，包括收集真实世界数据、通过模拟更新策略以及分层选择最有效策略。通过这种方法，研究人员能够克服传统方法中手动设计代理的局限性，这些代理通常是特定于问题的且不准确。最终，该研究提供了一种多功能解决方案，用于优化四足机器人运动中难以模拟的目标，为利用真实世界知识持续改进提供了一个易于适应的范例。

该成果研究论文：Ruiqian Nai, Jiacheng You, Liu Cao, Hanchen Cui, Shiyuan Zhang, Huazhe Xu, Yang Gao. “Fine-Tuning Hard-to-Simulate Objectives for Quadruped Locomotion: A Case Study on Total Power Saving” ICRA 2025.



基于 fMRI 脑信号的图像编辑

图像编辑是增强视觉内容的强大工具，在创意产业中应用广泛。其中，条件编辑因其允许用户进行个性化调整而备受关注。这类方法通常根据控制输入的类型划分为文本条件编辑和图像条件编辑：通过对生成模型进行特定条件的微调，最终输出高保真度的图像结果。尽管以文本和图像作为条件的编辑已经可以生成逼真图像，但这些条件往往经过了多种加工转换，有时会偏离用户原本的想法。相比之下，脑信号作为一种直接的信息载体，在图像编辑中却鲜少被利用。

对此，马恺声研究组提出了一种跨模态自监督学习方法 (MindPainter)，直接利用脑信号作为条件进行图像编辑。MindPainter 训练伪脑信号生成器 (PBG) 和脑适配器 (BA) 以进行脑信号的编码和模态间的转换，进一步消除模态间的差距，确保脑信号的准确理解。同时，该方法使用了多种 mask 策略，实现了在各类绘画场景下的编辑。实验结果显示，该方法可以在不同场景下生成高质量且语义连贯的图像。

该成果研究论文：MindPainter: Efficient Brain-Conditioned Painting of Natural Images via Cross-Modal Self-Supervised Learning. Muzhou Yu, Shuyun Lin, Hongwei Yan, Kaisheng Ma. AAAI, 2025

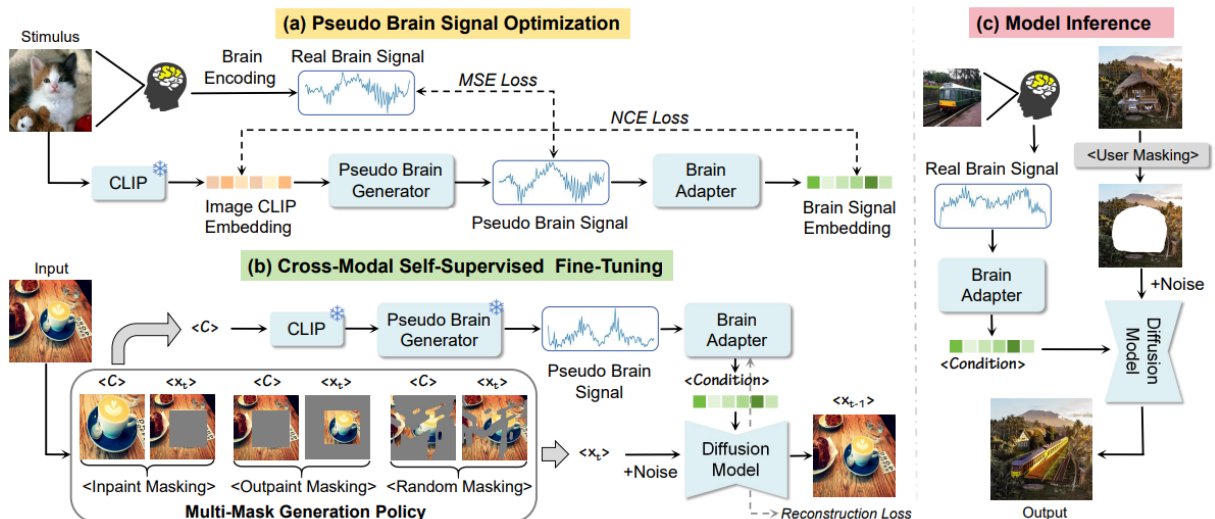


图 1：MindPainter 训练与推理流程概览



图 2：不同场景下的图像编辑结果

多源语境下的脑信号图像融合

生成模型的进步促进了基于文本和图像的多源语境图像生成。大脑信号提供了用户意图的直接表示，为图像的融合生成提供了新的机会。然而，它在脑信号语义解析、跨模态语义保留和融合方面仍然面临挑战。一方面，由于公开数据稀缺，使用统一的脑信号编码器可以高效利用已有数据，但是多主体脑信号解析仍然存在较大的语义误差。另一方面，如何在保证稳定图像生成的情况下，减小不同模态间的差异，引入需要融合的语义信息也是一个挑战。

针对上述问题，马恺声研究组提出了 MindCustomer 利用扩散模型作为引导图像生成的基础结构来合成高质量的图像。该方法训练了多主体的伪脑信号生成器，用于模态间的转换和数据增强。同时训练的还有语义映射器，用于提高语义信息理解的准确度。在此基础上，该方法先后对扩散模型和脑信号编码进行微调，以减轻各模态之间的语义冲突，最终实现跨模态多源语境下的自然整合和语义保存。除此以外，该方法有较强的泛化能力，在数据有限的情况下通过 few-shot learning 仍然可以得到有高质量的混合结果。

该成果研究论文：MindCustomer: Multi-Context Image Generation Blended with Brain Signal Muzhou Yu*, Shuyun Lin*, Lei Ma, Bo Lei, and Kaisheng Ma International Conference on Machine Learning (ICML) 2025.

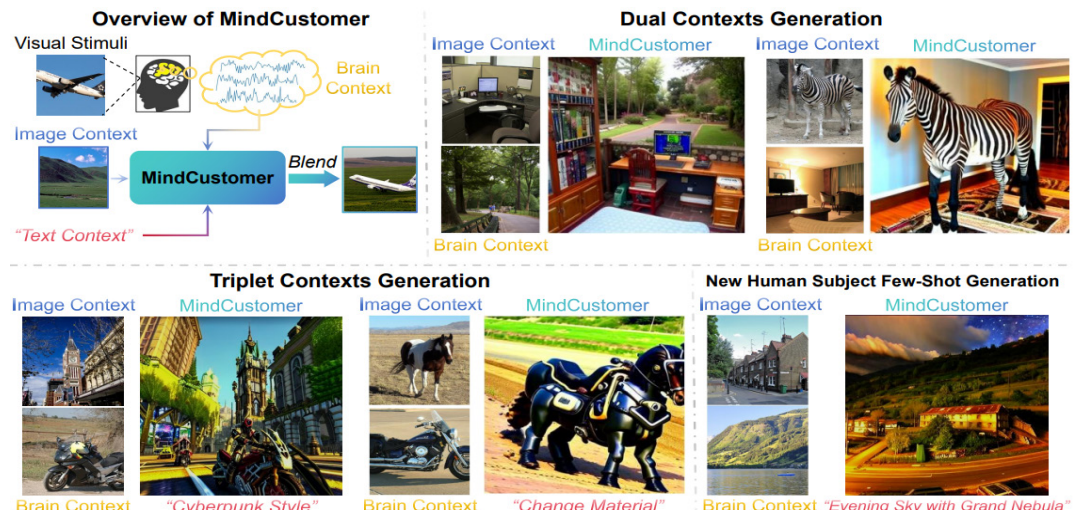


图 1：上左 -MindCustomer 流程概览 上右 -image context 生成结果。

下左：image+text 生成结果 下右：few-shot learning 生成结果

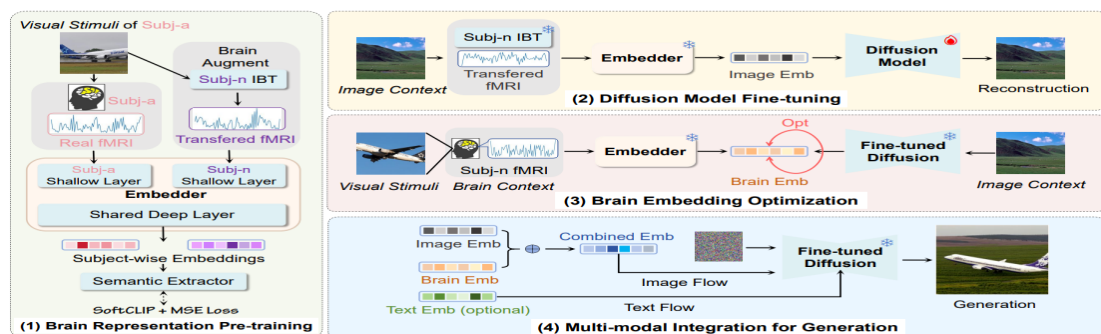
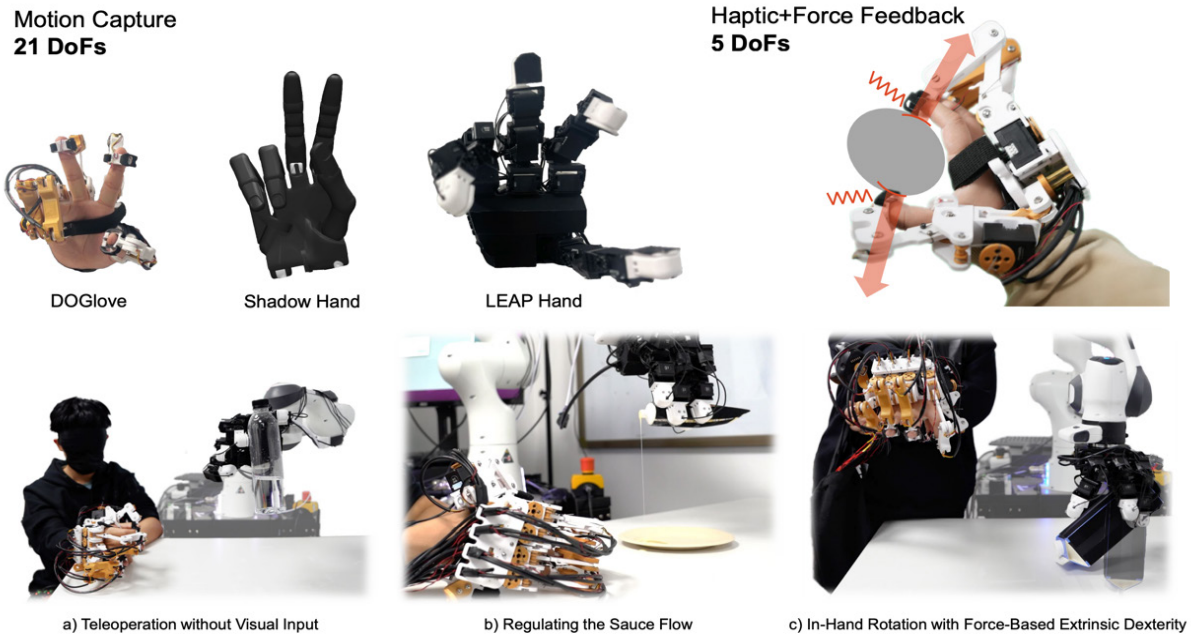


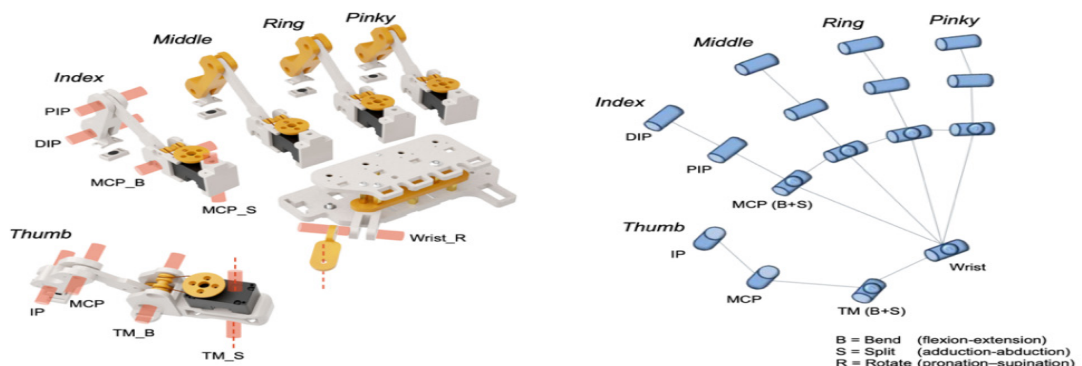
图 2：MindCustomer 训练与推理流程概览

DOGlove：开源友好的低成本力触觉反馈动作捕捉手套

许华哲研究组提出了 DOGlove，一种开源友好的低成本力触觉反馈动作捕捉手套系统。该手套具备 21 自由度动作捕捉、5 自由度力触觉反馈能力，可以精准捕捉用户手势，同时为用户提供沉浸的力触觉反馈体验。研究组还配合手套硬件，进一步提出动作重映射和力触觉重映射框架，其可以协助用户完成具有丰富、复杂接触力信息的灵巧手遥操作，进一步提升数据采集质量和成功率。研究组还评估了力触觉反馈的有效性和重要性，并使用手套遥操作灵巧手，真实采集任务数据，训练模仿学习策略。



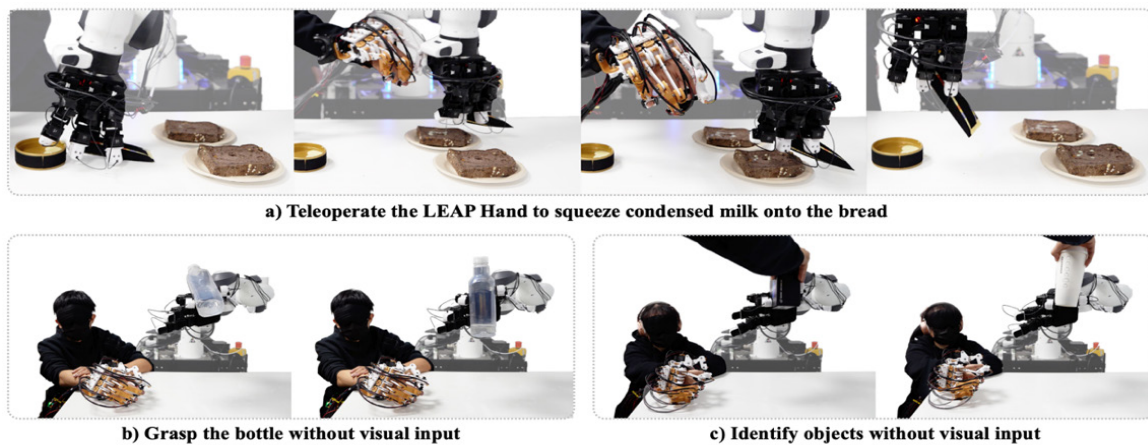
灵巧手遥操作在使机器人实现人类级别的操作灵巧性方面起着关键作用。然而，当前的遥操作系统通常依赖昂贵的设备，并且缺乏多模态感官反馈，这限制了人类操作员感知物体属性和执行复杂操作任务的能力。为了应对这些局限性，研究组提出 DOGlove，一种开源友好的低成本力触觉反馈动作捕捉手套系统。该手套具备 21 自由度动作捕捉、5 自由度力触觉反馈的能力。系统完整开源，可在数小时内组装完成，其零部件可以通过 3D 打印或是部件采购方式获得，手套零部件成本低于 5000 元。



基于手套硬件的刚性连接特性，研究组还提出了采用前向运动学 - 比例因子 - 逆向运动学的动作重映射框架，并为力触觉重映射设置混合策略，通过不同阈值决策力触觉信息的反馈模式。



在用户实验中，研究组通过评估未训练用户在佩戴眼罩、耳机（屏蔽视觉和听觉反馈），仅依靠 DOGlove 提供的力触觉反馈的情况下，对于五组物品对的判别成功率，验证力反馈有助于物体软硬特征判断，触觉反馈有助于物体尺寸信息判断。进一步地，在瓶滑实验和旋转牛奶盒实验中，研究组验证力触觉反馈可以提升复杂丰富接触力信息任务的成功率、减少任务完成时间。

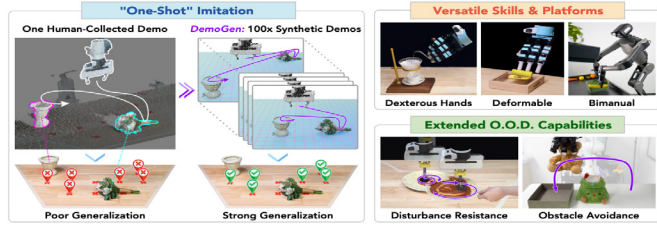


研究组还使用 DOGlove 遥操作灵巧手，采集了多个具有复杂丰富接触力信息任务的灵巧手数据集，并使用该数据集训练模仿学习策略，最终实现较高的策略成功率。DOGlove 提供了一种开源友好的低成本力触觉反馈动作捕捉手套系统。

该成果研究论文：Han Zhang, Songbo Hu, Zhecheng Yuan, Huazhe Xu, “DOGlove: Dexterous Manipulation with a Low-Cost Open-Source Haptic Force Feedback Glove” , RSS 2025.

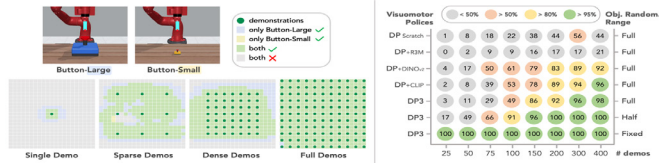
DemoGen：用于机器人操作的合成数据生成

许华哲研究组提出了 DemoGen，一种用于机器人操作的合成数据方法。该方法可以用极低的计算和时间成本，生成视觉逼真的、针对待操作物体实现空间增强的、且具有对抗外界干扰与避障行为的合成数据，旨在改善机器人操作策略的泛化性。实验表明，仅需要一条由人类采集的原始数据，DemoGen 即可生成大量的高质量合成操作数据，从而可以训练出具有良好泛化性的机器人操作策略。



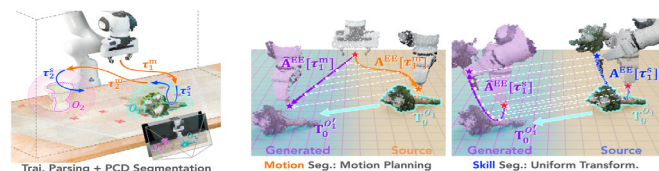
1. 针对空间泛化问题的实证研究

通过定性和定量的实证研究，研究组发现：缺乏空间泛化能力是机器人操作策略需要大量数据的一个关键诱因。这一发现揭示了在数据驱动的机器人策略训练过程中普遍存在的、数据采集资源的不合理分配：真正赋予灵巧操作能力的、与物体发生密切接触的技能片段是高度重复的；但是大量的资源被用于实现空间泛化能力，而这通过简单的运动规划即可完成。



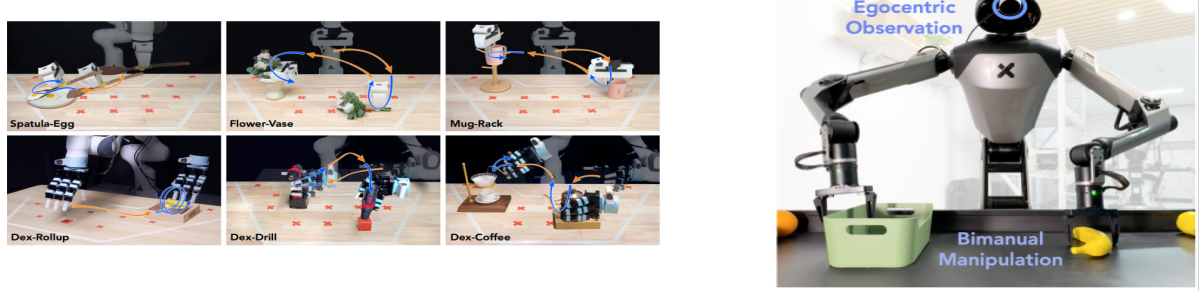
2. 用于机器人操作的全合成数据生成

针对上述的空间泛化问题，研究组提出的 DemoGen 方法利用动作规划生成合成动作，利用点云编辑生成合成视觉观测，可以生成出视觉逼真的、针对待操作物体实现空间增强的合成操作数据。同时，作为一种全合成的数据生成方法，DemoGen 取得了极高的生成效率，相较于之前的方法提升了四个数量级，从而可以方便地在真实世界中部署。



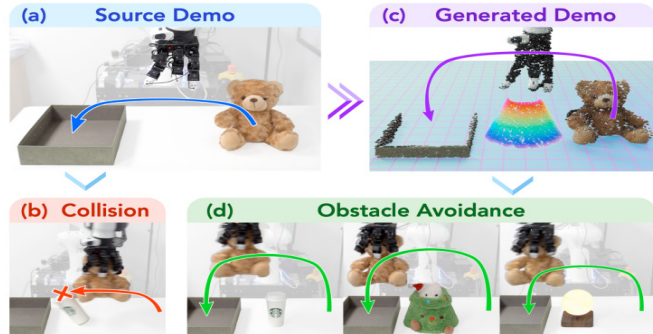
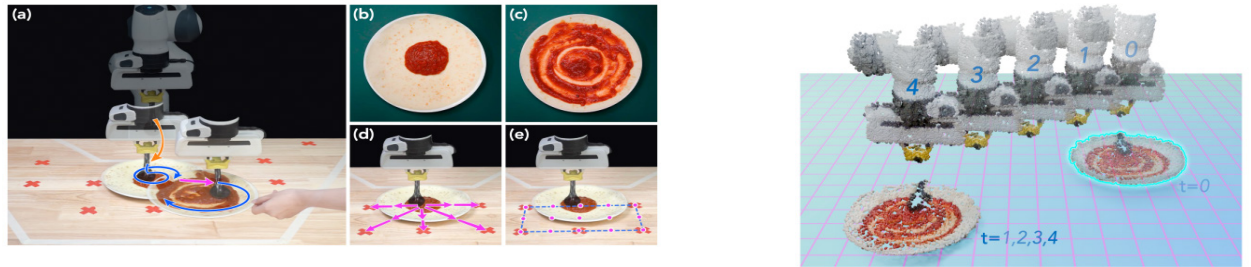
3. 利用全合成数据，实现仅用一条人类演示训练机器人操作策略

在仅使用一条人类演示作为原始数据的限制下，研究组成功将 DemoGen 部署到多样化的机器人平台，包含单臂夹爪、单臂灵巧手、双臂人形，进行了大量严格的真机实验，验证了 DemoGen 方法的有效性。



此外,研究组还演示了通过功能拓展, DemoGen 框架可以进一步支持得到对抗外界干扰与避障的分布外泛化能力。

该成果研究论文: Zhengrong Xue, Shuying Deng, Zhenyang Chen, Yixuan Wang, Zhecheng Yuan, Huazhe Xu, “DemoGen: Synthetic Demonstration Generation for Data-Efficient Visuomotor Policy Learning”, RSS 2025.

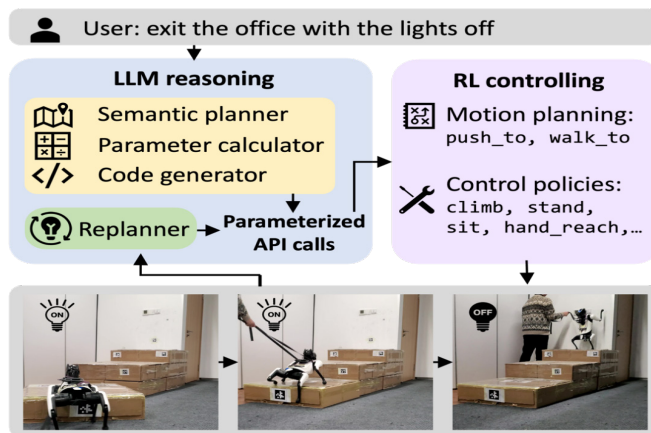


面向长时序任务的 LLM 驱动的四足机器人控制

传统的四足机器人研究多聚焦于单一技能的强化，如稳健行走或基础操作，但面对如“搭楼梯开关灯再离开房间”这类复合性任务时，仍缺乏全局策略制定和复杂物理交互能力。长时序任务不仅需要高层的语义理解和策略规划，还要求机器人具备灵活的运动与操作技能，协同应对多阶段任务、多变环境的挑战。

为此，吴翼研究组提出了一套分层的机器人控制系统，系统性地将大语言模型（LLM）应用于四足机器人的任务规划中。系统上层利用多个专职 LLM agent 组成的推理模块，包括语义规划器、参数计算器、代码生成器和动态重规划器，协同将自然语言任务描述转换为带参数的机器人代码，实现闭环、高适应性的高层决策；下层则通过强化学习训练出涵盖行走、攀爬、推物、双足站立、双足触物等能力的控制策略库，有效支撑高层计划的执行。实验验证涵盖搭楼梯关灯、递送包裹、搭桥过障碍、乘电梯等现实复杂任务，系统展现出显著优于现有 LLM 或分层强化学习方法的成功率（模拟环境中超过 70%），并成功部署在小米 CyberDog2 机器人上完成多项任务，展示了多技能串联与动态应对突发状况的能力。这项工作展示了大模型在提升机器人任务通用性和复杂任务应对能力方面的潜力，为未来更复杂的机器人自主智能打下基础。

该成果研究论文：Yutao Ouyang, Jinhua Li, Yunfei Li, Zhongyu Li, Chao Yu, Koushil Sreenath, Yi Wu. Long-horizon Locomotion and Manipulation on a Quadrupedal Robot with Large Language Models. IROS 2025.



二、人机交互

主要完成人：弋力研究组

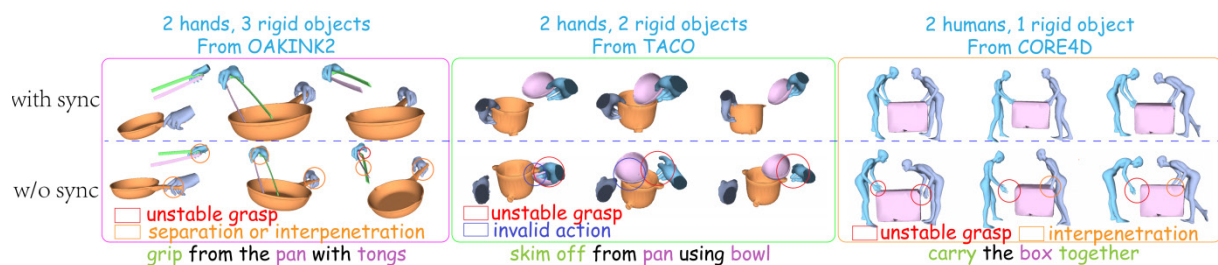
合成同步化多体人 - 物交互的方法

人 - 物交互或更精细的手 - 物交互广泛存在于日常生活中。这些交互往往涉及多个主体（人体、手或刚性物品），例如双人合作搬运箱子，或一手持杯将水倒入另一手所持容器。合成此类交互的算法在具身智能体规划、动画制作、虚拟现实等领域有重要应用。现有工作依赖特定交互类型，其特有的多阶段合成、抓取引导、接触图等技巧仅适用于特定主体类型与数量。该研究旨在提出一种统一框架，仅根据动作类别、物品几何信息及人体 / 手铰接结构，对任意数量、任意类型主体间的交互进行合成。

合成多体交互的难点之一在于不同主体运动的同步化。例如两人合作的介入时机必须一致，抓取物品的方式也需要考虑最佳的交互角度。为此，他们使用扩散模型对任意单体的绝对运动和任意双主体间的相对运动进行建模，将多体交互的合成抽象为图模型上的点 - 边联合优化问题。具体地，在训练阶段，他们在传统的样本梯度场之外类比推导得到一套一致性梯度场；推理阶段则基于模型训练时拟合的新梯度场进行最大化似然采样，保证去噪过程中单体轨迹真实性与多体运动同步性的一致提升。

另一个难点是还原物品和物品间具有强语义性的相对运动。现有工作聚焦的单人单物或单手单物场景轨迹较为简单，表现为没有强语义信息的抓取 - 放置。对于两个及以上物品的交互，动作语义常常依赖物品间的高频往复运动，如擦、刮、切等。由于高频相对运动的幅度较低频移动而言较小，现有方法容易忽略此类细节。他们在传统时域轨迹表征之外，提出了运动的频域表征。利用傅里叶变化，算法显式生成频率系数，并对高低频分量进行解耦监督，实现了带有语义信息的高频分量的保真。

该成果研究论文：Wenkun He, Yun Liu, Ruitao Liu, and Li Yi. "SyncDiff: Synchronized Motion Diffusion for Multi-Body Human-Object Interaction Synthesis." In The 20th IEEE/CVF International Conference on Computer Vision (ICCV). 2025.



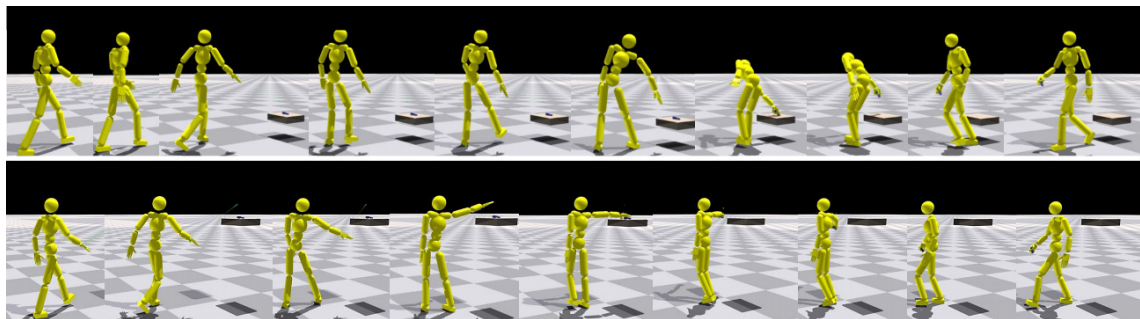
基于简要行走参考数据学习物理驱动的全身人体趋近 - 抓取动作生成

在人类与物理世界的互动中，和物体的交互性的动作扮演着核心角色。生成真实可信、基于物理的全身人体抓取动作，不仅对于动画、AR/VR 等应用具有重要意义，也为具身智能体如仿人机器人带来了巨大潜力。而以往的研究多数依赖大规模的运动捕捉（MoCap）数据，通过对这些数据的模仿或跟踪生成动作，尽管质量较高，但难以脱离数据分布进行泛化。而复杂场景下的操控技能具有高度多样性，数据采集成本高、样本分布偏倚严重，使得通用性受限。

为此，该文提出一种新颖的人体操控动作生成方法：仅使用少量简单的行走运动捕捉数据，即可生成多样且物理可行的全身抓取和操控动作。尽管“行走”和“抓取”在语义上差异巨大，但他们发现行走数据中蕴含着丰富的局部运动模式和身体平衡能力，具有很强的迁移性。同时，先进的运动学技术也可提供高质量的目标抓取姿态，尽管这些姿态没有物理保障，但可作为有效的任务引导。这种方法旨在融合这两类数据源——真实的行走数据与交互任务适应但未经验证的生成数据——构建出一个新颖的物理可行、泛化性强的交互性动作生成框架。该文中设计了两项关键技术：1) 主动数据生成策略：优先生成对当前性能不佳任务的数据，有针对性地提升模型能力，最大化利用生成数据；2) 局部特征对齐机制：利用浅层神经网络中对“自然动作模式”的表达能力，对运动表示空间进行正则化，提升生成动作的稳定性与自然度。

实验表明，即便仅使用简单的行走数据，利用本方法也能生成高成功率、高自然度的人体操控动作（如图所示），且在多种复杂场景和未知物体上具有强泛化能力。消融研究进一步验证了局部运动模式迁移在消除伪影与提升稳定性方面关键作用。

该成果研究论文：Yitang Li, Mingxian Lin, Zhuo Lin, Yipeng Deng, Yue Cao, and Li Yi. "Learning Physics-Based Full-Body Human Reaching and Grasping from Brief Walking References." In Proceedings of the IEEE/CVF Conference on Computer Vision and Pattern Recognition (CVPR), 2025.



CORE4D：一个关于合作式物体重摆放的人 - 物 - 人交互数据集

多人合作搬运家具是人们日常生活中的常见行为，分析和生成这样的合作动作在虚拟现实、增强现实、人机合作和灵巧手操作等领域中有重要应用。然而囿于缺乏相关数据，迄今为止这些方法并未得到广泛研究。为填补数据的缺失，弋力研究组构建了一个大规模类别级的融合真实和合成数据的人 - 物 - 人交互数据集——CORE4D（图 1）。CORE4D 关注双人合作重摆放家用物体的行为，共计包含 4 种合作模式、6 种物体类别、3K 种物体形状和 11K 段交互动作。

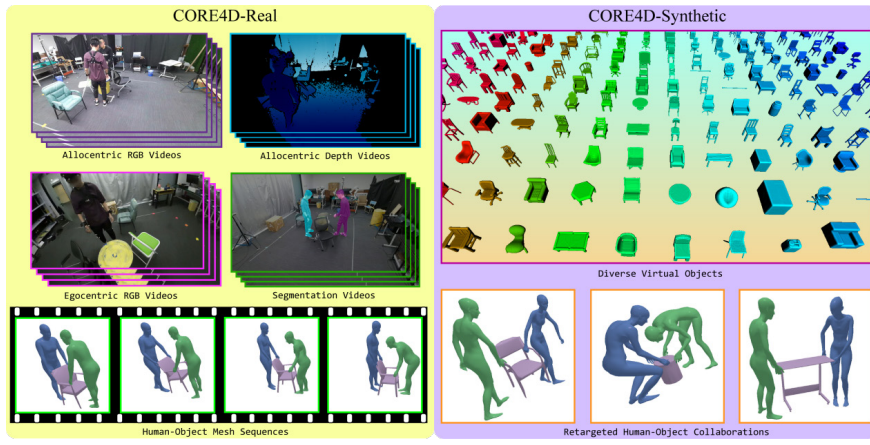


图 1：CORE4D 数据集由真实数据（CORE4D-Real）和合成数据（CORE4D-Synthetic）组成

为收集这些大规模的交互数据，该文提出了一个混合的数据获取方法，综合了真实世界中的光 - 惯混合动作捕捉和仿真环境中的新的合作重定向算法，由此收集了真实数据集 CORE4D-Real 和合成数据集 COR4D-Synthetic。如图 2 所示，在 CORE4D-Real 中，每段合作动作的数据包含 4 个第三人称视角下的彩色视频和深度视频、一个第一人称视角下的彩色视频、由动作捕捉系统采集的人 - 物 - 人网格序列和第三人称视角下的掩码视频。图 3 所示的合作重定向算法将 CORE4D-Real 的合作动作重定向到大量新的物体形状上形成 CORE4D-Synthetic。

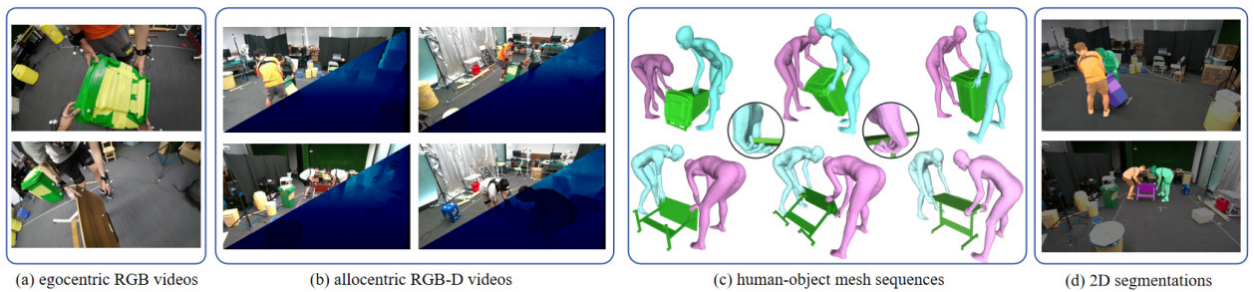


图 2：CORE4D-Real 数据模态

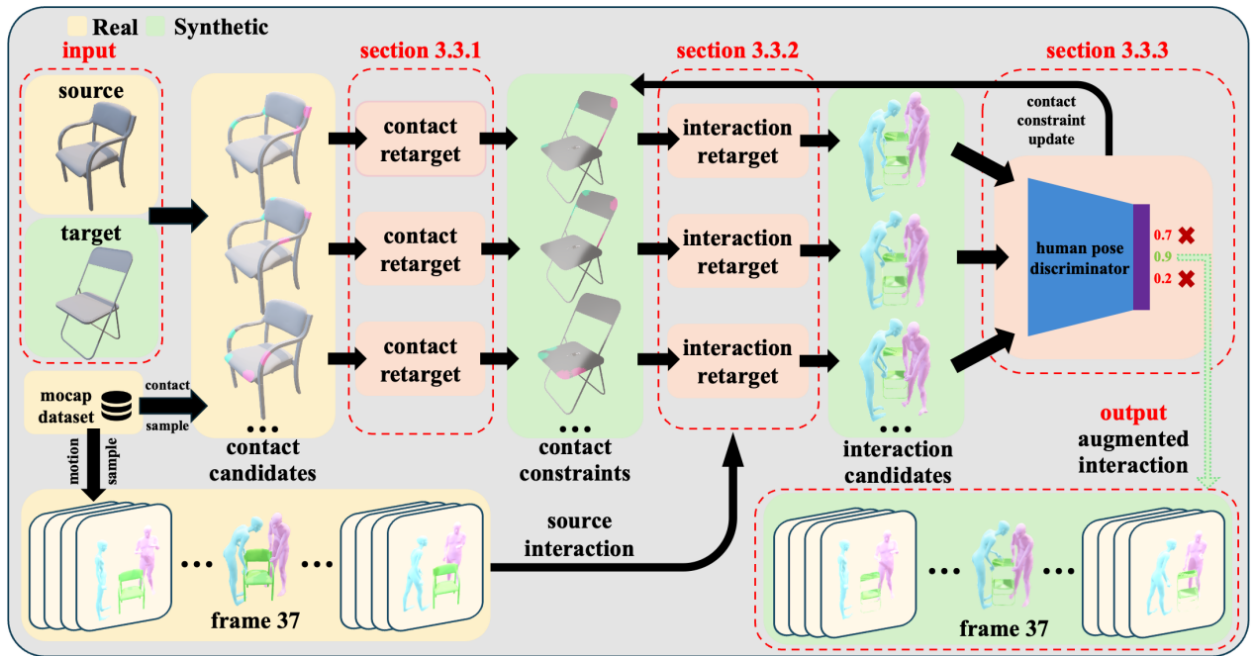


图 3: 合作重定向算法

CORE4D 为人 - 物 - 人合作动作的理解和生成带来的新的研究机遇。该文在 CORE4D 数据集上提出了两个新的基准任务——动作预测和动作生成，测试了现有方法的表现并发现了它们面临的挑战。实验证明了合作重定向算法的有效性。

该文证实了 CORE4D 的两项应用：CORE4D-Synthetic 能提升现有的动作预测方法的效果，以及 CORE4D 能在仿真环境中支持人形机器人交互技能的学习。利用合成数据，现有的人 - 物交互动作预测方法 CAHMP 能在真实数据上取得约 14% 的性能提升。该文将 CORE4D 的搬箱子动作重定向至宇树 H1 机器人，并在仿真环境中训练了物理真实的 H1 机器人搬箱子动作跟踪器和基于第一视角视觉的自治系统，能在仿真环境中以 27% 的成功率搬起箱子，反映出 CORE4D 为机器人的技能学习带来了数据支持。

该成果研究论文：Yun Liu, Chengwen Zhang, Ruofan Xing, Bingda Tang, Bowen Yang, Li Yi, "CORE4D: A 4D Human-Object-Human Interaction Dataset for Collaborative Object REarrangement", CVPR 2025.

仅基于可扩展多样化仿真数据的人 - 移动机器人交接学习

在人机交互领域，使移动机器人可靠地接收人类递交的物体（Human-to-mobile-robot 交接）是一个关键挑战。这项能力在医疗、工业等场景中尤为重要，但真实场景训练存在高昂成本和安全风险，而现有基于仿真的方法往往受限于数据生成的多样性与规模。为此，该文提出了一种自动化框架，解决 Human-to-mobile-robot 交接中的关键问题。首先，该文设计了一条自动化场景生成流程，利用大规模仿真数据集和各种生成方法，生成多样化的全身人类动作和交互场景，构建了超过 10 万种交接实例的数据集，支持复杂的任务训练。其次，该文设计了一种优化的专家演示生成方法，通过考虑了若干安全性限制，以及强化视觉输入与动作输出的关联性，提升了交互演示的安全性和模仿效果。最后，该文提出了一种四维模仿学习方法，将人类连同物体的视觉信息相结合，生成协调的底盘 - 机械臂动作策略，如图 1 所示。

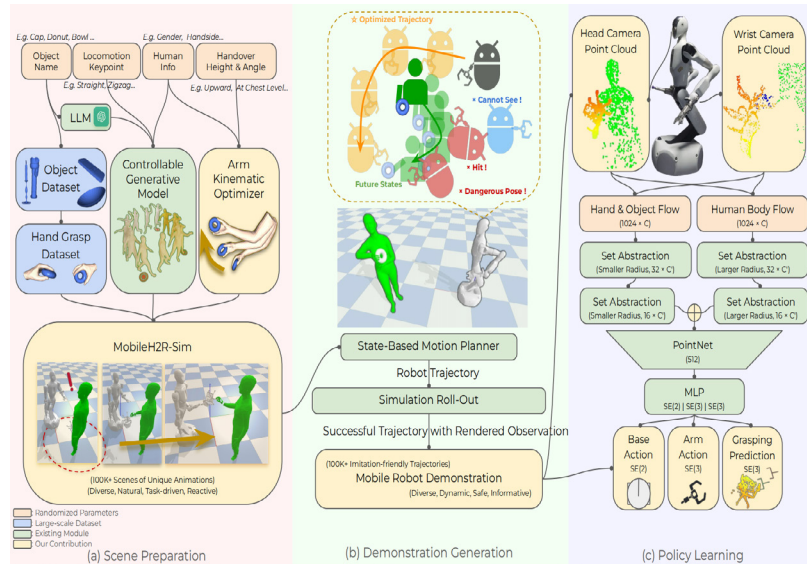


图 1：MobileH2R 整体框架图，可以有效地生成海量人机交接场景，提供高质量安全的易于学习的专家演示，以及有效快速的 4D 模仿学习。

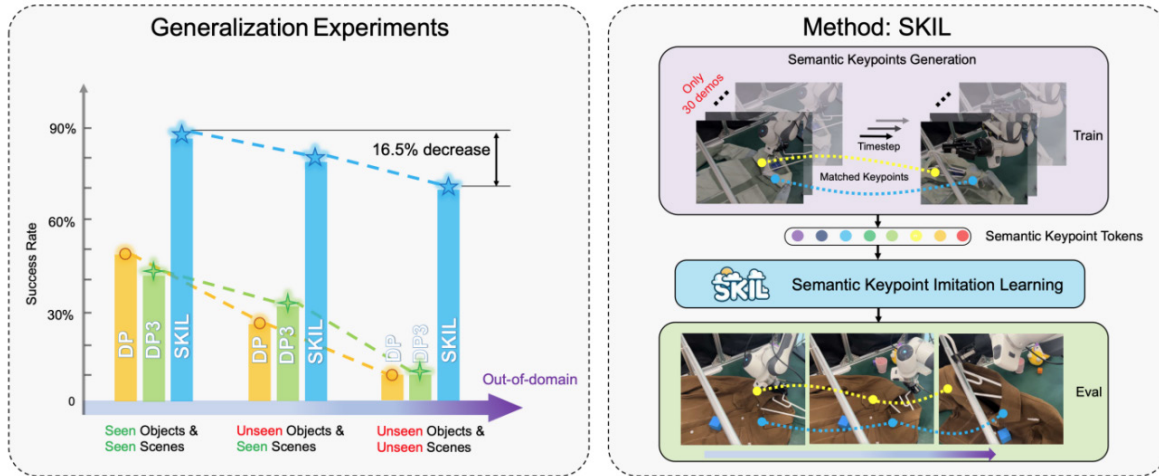
实验表明，该文的方法在无需真实人类数据或机器人演示的情况下，成功率提升至少 15%，碰撞率减少约 1/3，并能有效迁移至真实机器人系统，为任务的安全性与通用性提供了重要支持。

该成果研究论文：Zifan Wang, Ziqing Chen, Junyu Chen, Jilong Wang, Yuxin Yang, Yunze Liu, Xueyi Liu, He Wang, Li Yi.

"MobileH2R: Learning Generalizable Human to Mobile Robot Handover Exclusively from Scalable and Diverse Synthetic Data." In The Forty-First IEEE/CVF Conference on Computer Vision and Pattern Recognition (CVPR). 2025.

SKIL: 基于语义关键点的模仿学习，实现可泛化的数据高效机器人操作

在现实世界中，诸如衣物整理、桌面物品重排等任务，需要机器人具备良好的泛化能力、高精度执行力，以及完成长时间、多步骤操作的能力。虽然模仿学习被广泛用于教授机器人新技能，但在面对这类复杂任务时，通常需要大量专家示范数据，导致学习成本高、样本效率低。在该文中，高阳研究组提出了一种名为 SKIL (Semantic Keypoint Imitation Learning) 的新型模仿学习框架。该方法借助视觉基础模型，自动提取任务相关的语义关键点，并基于这些关键点构建描述子，从而显著降低学习复杂度，使机器人能够以更高的数据效率学习复杂操作任务。在真实世界的实验中，SKIL 在例如拾取杯子或鼠标的任务中，将基线方法的表现提升了两倍，并表现出对物体变化、环境干扰等因素的强大鲁棒性。对于像“把毛巾挂到毛巾架上”这种长时间操作任务，以往方法几乎完全失败，而 SKIL 仅通过 30 个示范就达到了 70% 的平均成功率。此外，由于语义关键点具有良好的表征能力，SKIL 还天然支持跨形态迁移学习。实验显示，即使使用人类的视频作为示范，也能显著提升机器人学习的效果。SKIL 在实验中表现出了高效、泛化性强的机器人学习的潜力和实用性。



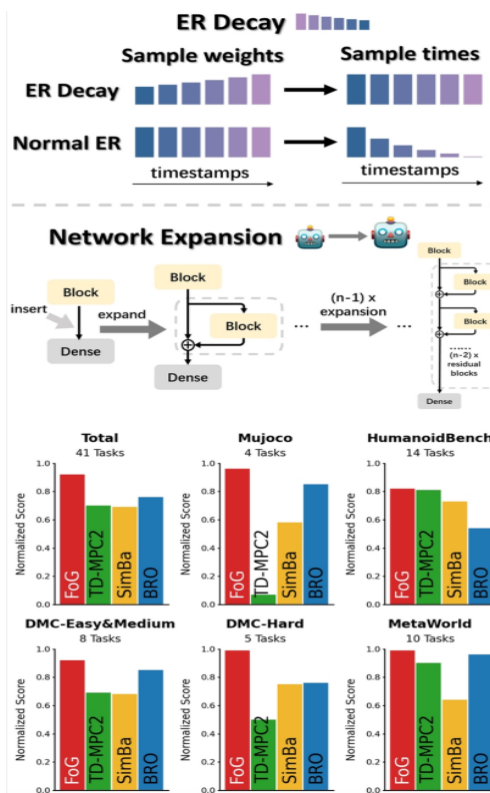
该成果研究论文：Wang, Shengjie, Jiacheng You, Yihang Hu, Jiongye Li, and Yang Gao. "SKIL: Semantic Keypoint Imitation Learning for Generalizable Data-efficient Manipulation." RSS 2025.

三、强化学习

主要完成人：许华哲研究组、房智轩研究组、吴翼研究组

深度强化学习连续控制中的遗忘 - 生长扩展策略

许华哲研究组提出了 FoG，一种深度强化学习连续控制中的遗忘 - 生长策略。FoG 通过回放缓冲区样本遗忘 (ER Decay) 和评论家网络扩张 (Network Expansion)，解决了当前强化学习算法过拟合回放缓冲区内早期数据的问题，显著提升了已有算法的数据效率。FoG 在多个主流基准的超过 40 个环境测试中超过了多种主流基线算法。

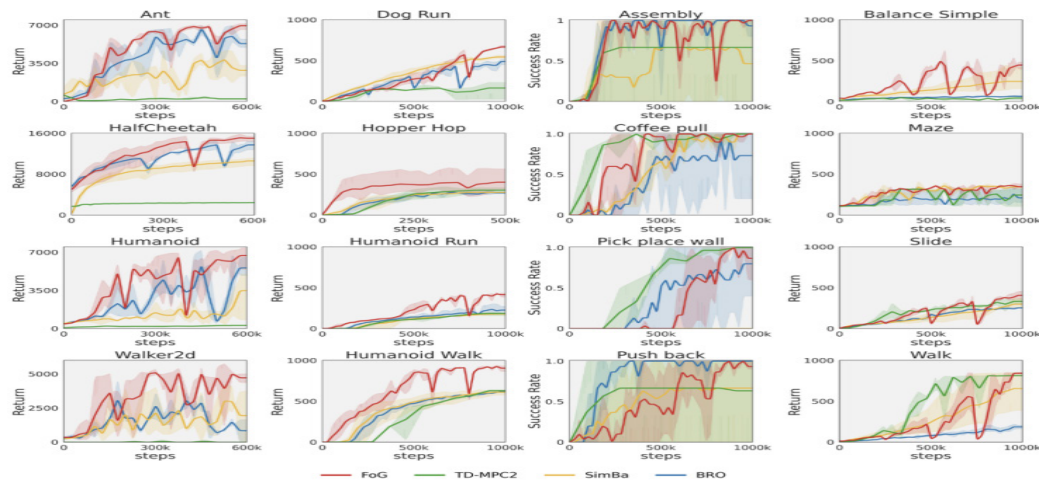


1. 提出 ER Decay 和 Network Expansion 两个训练技术

FoG 提出了一种全新的回放策略 ER Decay，在性能超过一般随机采样回放、PER 等常见采样方法的同时，还具有实现简单的优势。同时，提出的 Network Expansion 技术可以大幅缓解模型对训练早期数据的过拟合，提高训练的稳定性和效率。

2. 提出基于遗忘 - 生长策略的 FoG 算法

FoG 算法基于 OBAC 算法实现，采用了模块化网络结构，结合评论家网络规模化和遗忘 - 生长策略，在多个主流基准的超过 40 个环境测试中超过了多种基线算法，取得了显著的数据效率提升。

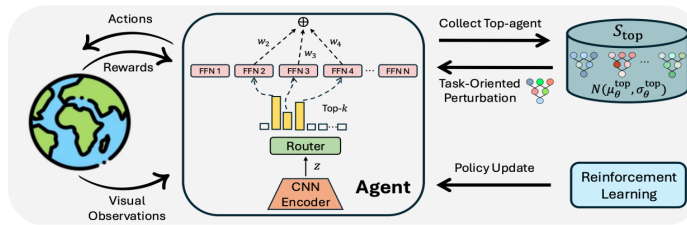


该成果研究论文: Zilin Kang, Chenyuan Hu, Yu Luo, Zhecheng Yuan, Ruijie Zheng, Huazhe Xu, “A Forget-and-Grow

Strategy for Deep Reinforcement Learning Scaling in Continuous Control”, ICML 2025.

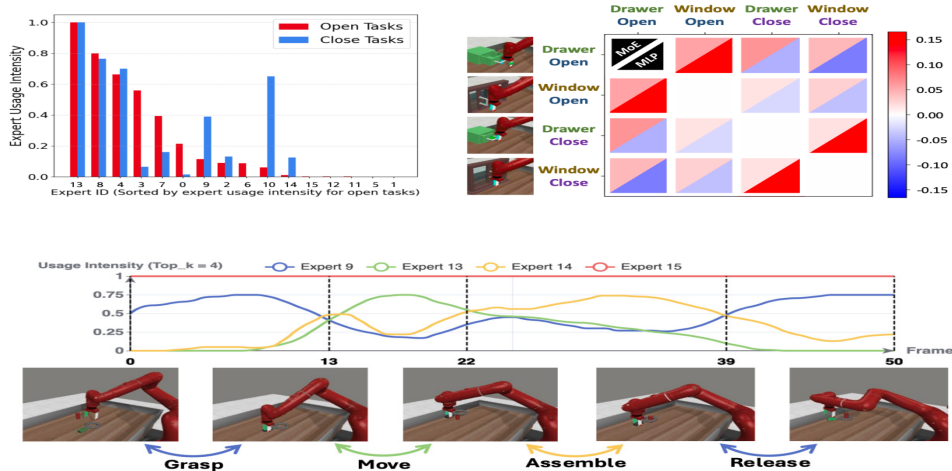
MENTOR: 一种用于视觉强化学习的专家混合结构与任务导向扰动机制

许华哲研究组的最新研究“MENTOR”提出了一种集成结构与优化改进的视觉强化学习新框架，旨在从根本上提升策略学习的效率与稳健性。MENTOR 主要包含两项核心设计，一是在策略网络结构上，采用专家混合架构 (Mixture-of-Experts, MoE) 替代传统多层感知机 (MLP)，通过动态路由机制缓解多任务或多阶段任务中的梯度冲突问题；二是在优化策略上，提出一种任务导向扰动机制 (Task-Oriented Perturbation)，通过历史高性能策略的参数分布对当前策略进行结构化扰动，以提高探索效率并避免局部最优。MENTOR 在三类仿真环境共 12 个任务中均显著优于当前最强视觉 RL 基线，尤其在稀疏奖励与复杂控制条件下表现出优越的收敛速度与最终性能。MENTOR 在真实机器人平台上的实验平均达成 83% 的成功率，远超对比方法的 32%。该结果验证了 MENTOR 在现实条件下的有效性与鲁棒性，展现了将视觉 RL 推进至实用阶段的潜力。



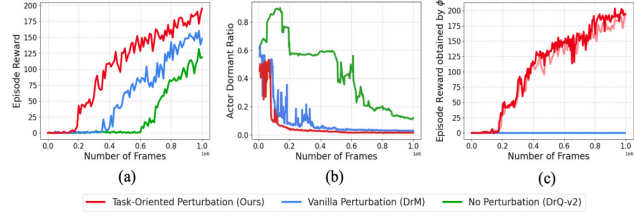
1. 引入专家混合网络以缓解梯度冲突

强化学习中的策略网络在处理复杂任务（如多子目标、多步骤控制）时常面临“梯度冲突”，即不同目标对同一网络参数的优化方向存在冲突，导致学习效率下降。MENTOR 将传统的 MLP 结构替换为动态路由的专家混合网络 (MoE)，允许不同子任务或轨迹阶段通过独立的“专家模块”处理，从而实现更好的任务解耦与策略专用性。实验表明，在对抗任务（如开关门任务）中，MoE 结构有效减少了梯度冲突并提升整体表现。



2. 任务导向扰动提高策略探索效率

MENTOR 提出任务导向扰动机制，对现有的参数扰动方法进行改进。该机制通过维护一组历史中表现最优的策略模型集合，从中估计参数分布，并据此进行扰动采样，替代传统使用高斯噪声的方式。此方法能更有效地保留任务相关信息，提升扰动的指导性与有效性。在包括“稀疏奖励”、“长时间规划”等难题中，任务导向扰动带来显著的训练时间缩减与性能提升。



3. 仿真与真实任务中均达最优性能

MENTOR 在仿真与真实环境中均展现出领先的性能。在三大标准仿真平台 (DeepMind Control Suite、Meta-World、Adroit) 共 12 个任务中, MENTOR 在所有评估指标上均超过现有主流视觉 RL 方法, 包括 DrM、ALIX、DrQ-v2 等。为了进一步验证其实用性, 研究组在真实机器人平台上设计并完成了三个具有代表性的任务, 包括多任务插销 (Peg Insertion)、柔性走线 (Cable Routing) 与桌面高尔夫 (Tabletop Golf)。这些任务均从零视觉输入开始训练, 无需额外的先验或演示。最终, MENTOR 在真实任务中平均达成 83% 的成功率, 显著优于当前最强对比方法 (32%)。所有实验使用统一的网络结构与训练设置, 进一步验证了该方法在多任务、多场景下的泛化能力与稳定性。



Method	Peg Insertion (Subtasks)			Cable Routing	Tabletop Golf
	Star	Triangle	Arrow		
MENTOR w/ pretrained encoder	1.0	1.0	1.0	0.9	0.8
MENTOR	1.0	1.0	1.0	0.8	0.7
MENTOR w/o MoE	1.0	0.7	0.6	0.45	0.55
DrM	0.5	0.2	0.1	0.2	0.5

该成果研究论文: Suning Huang, Zheyu Zhang, Tianhai Liang, Yihan Xu, Zhehao Kou, Chenhao Lu, Guowei Xu, Zhengrong Xue, Huazhe Xu, “AMENTOR: Mixture-of-Experts Network with Task-Oriented Perturbation for Visual Reinforcement Learning”, ICML 2025.

基于多智能体强化学习的代驾调度问题

随着代驾服务市场规模的持续扩大，平台面临如何高效调度司机的核心技术挑战——订单起点密集分布于商业区中心，而终点广泛分散于居民区，导致司机完成服务后空间分布稀疏且与需求的分布错位。在基于多智能体强化学习的调度方案下，这一场景呈现出三重独特挑战：数据集稀疏性源于代驾司机数量显著少于传统网约车，在广阔地理区域形成低密度分布；反馈稀疏性表现为个体司机日均订单匹配频次极低，学习信号长期匮乏；交互稀疏性则由电动车移动速度限制引发，智能体之间相互决策影响存在显著时空延迟。传统调度算法与标准多智能体强化学习方法在此场景下表现明显受限。

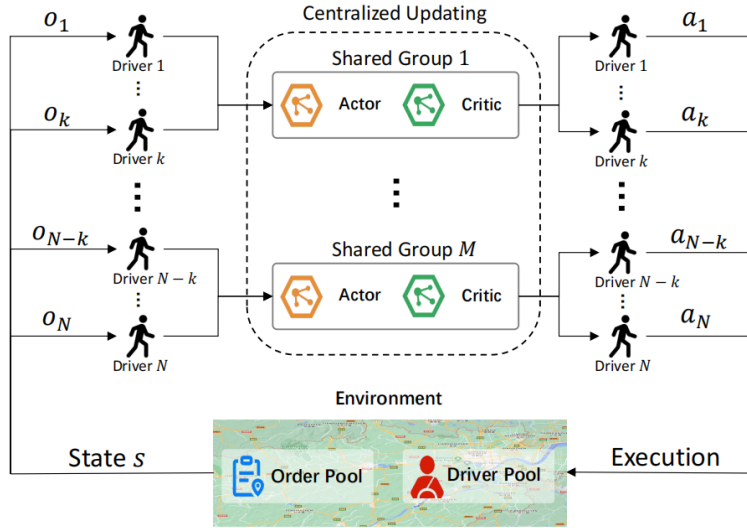


图 1：RLD3 分组网络结构示例

针对上述挑战，房智轩研究组与合作者提出了 RLD3 (Reinforcement Learning for Designated Driver Dispatch) 算法框架，首次将代驾调度问题建模为去中心化部分可观测马尔可夫决策过程 (Dec-POMDP)。该框架通过三重技术创新突破稀疏性瓶颈：基于司机移动成本差异构建分组共享机制，使同质化司机群体共享学习网络与经验池，在保留个体特性的同时实现数据价值聚合；创新设计空间潜能奖励机制，通过距离感知的奖励信号引导司机主动接近潜在订单高发区域，有效缓解低频反馈带来的学习障碍；建立窗口持续交互模型，通过捕捉司机闲时移动的长期行为模式以及组间平均场动作建模，解决慢速移动导致的跨区域交互滞后问题。

	Algorithm	Testing performance		IID generalization	
		Order \uparrow	Distance \downarrow (km)	Order \uparrow	Distance \downarrow (km)
Our Algorithm	RLD3	237.2 \pm 3.4	7.0 \pm 1.3	234.0 \pm 3.9	7.0 \pm 1.3
Taxi-dispatch Algorithm	VPS [17]	232.1 \pm 5.7	37.8 \pm 7.7	229.1 \pm 5.8	38.2 \pm 7.6
	Deep-dispatch [23]	230.3 \pm 2.3	15.5 \pm 2.4	229.0 \pm 2.3	15.1 \pm 2.3
DRL-based	DDPG [22]	186.9 \pm 5.2	27.8 \pm 3.0	183.1 \pm 5.5	27.9 \pm 3.1
	MADDPG [25]	215.7 \pm 3.7	29.6 \pm 0.6	212.0 \pm 4.4	30.2 \pm 0.5
	MADDPG-RND [3]	228.6 \pm 3.5	65.3 \pm 0.7	224.0 \pm 3.7	66.3 \pm 0.9
	MAMFRL [39]	224.3 \pm 3.7	34.3 \pm 5.3	221.1 \pm 4.8	34.9 \pm 5.5
	MAPPO [40]	229.0 \pm 3.5	63.1 \pm 0.8	225.4 \pm 4.5	61.4 \pm 10.1
Optimization-based	Myopic-dispatch	229.8	73.2	228.8	73.1
	Myopic-dispatch with PO	225.4	29.1	221.8	29.3

图 2: 基于仿真环境的算法效果比较

实验基于杭州市的代驾订单数据构建仿真环境。结果显示 RLD3 在订单服务效率与移动经济性方面均取得显著提升，其核心优势体现在三方面：分组机制大幅增强算法对稀疏数据的适应能力，窗口交互模型成功抑制司机群体过渡竞争行为，潜能奖励设计则有效加速策略优化进程。在扩展性验证中，算法展现出规模效应优势，随着系统规模扩大，单位司机收益呈现持续增长趋势。

该成果研究论文：Jiaxuan Jiang, Ling Pan, Lin Zhou, Longbo Huang, and Zhixuan Fang, “Tackling Sparsity in Designated Driver Dispatch with Multi-Agent Reinforcement Learning”, Proceedings of the 24th International Conference on Autonomous Agents and Multi-Agent Systems (AAMAS), May 2025.

多智能体在有限信息共享场景下的学习问题研究

多智能体多臂老虎机 (MAMAB) 是近年来备受关注的经典协作学习模型。在其典型设定中，所有智能体被假定会完全共享各自的观测信息。然而，在诸多现实场景中，智能体可能出于隐私保护等原因，拒绝共享部分信息。例如，用户（智能体）对于在购物平台上购买过的不同商品（臂），其分享评价的意愿也大相径庭。对办公用品这类普通商品，用户乐于分享；但对于涉及个人隐私的商品，用户则倾向于保持沉默。这种有选择性的信息共享行为给现有的协同学习理论带来了巨大挑战。

为应对这一挑战，房智轩研究组与合作者提出了有限共享信息多智能体多臂老虎机 (LSI-MAMAB) 模型。在此模型下，由于智能体可以保护其敏感信息，参与协作学习的门槛得以降低。然而，这也带来了两大难题：首先，有限的共享数据可能存在严重的不均衡性，导致学习过程产生偏差和效率低下；其次，如何设计机制确保每位参与者都能从协作中受益（即满足“个体理性”），从而激励其长期参与，是系统成败的关键。

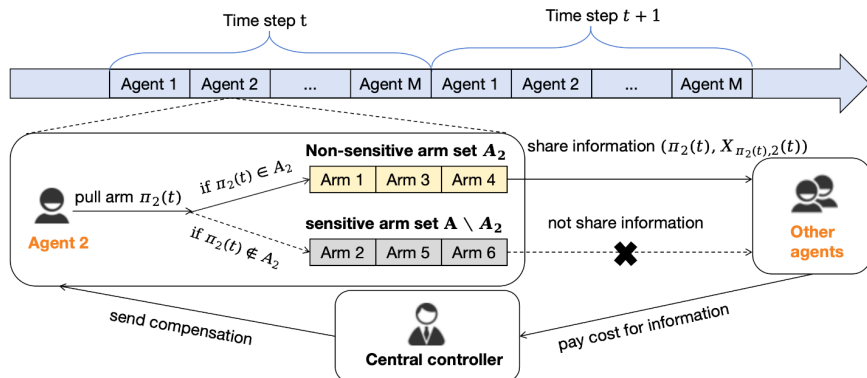


图 1. LSI-MAMAB 模型运行机制示意图

为此，论文作者设计了 Balanced-ETC 算法。该算法能够在智能体仅共享部分信息的约束下，帮助多方实现高效协作。其核心思想是通过设置平衡阈值来约束对不同“臂”的探索，避免因数据不均衡而导致的过度探索问题。理论分析证明，该算法的总体遗憾值达到了渐进最优。此外，研究组还设计了一套激励机制，通过向信息分享者提供补偿、向信息使用者收取费用的方式，确保任何参与协作的智能体所获得的收益均优于其单独学习。

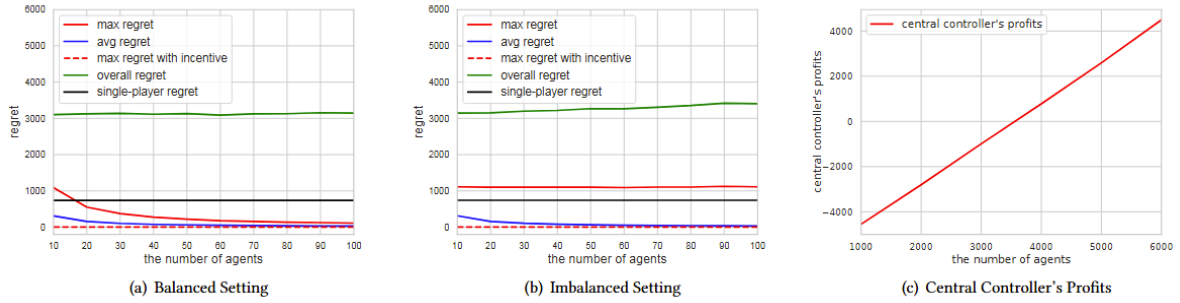


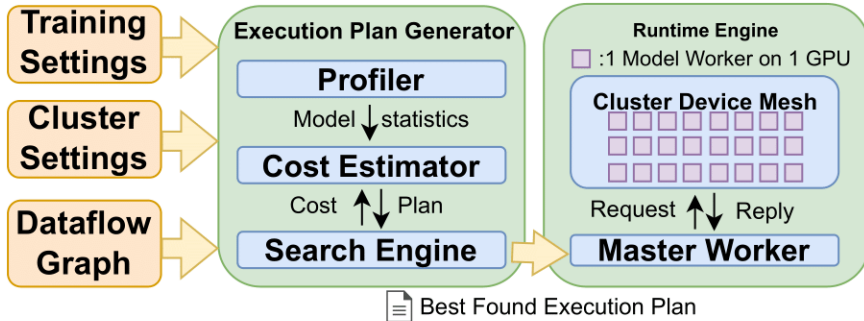
图 2. 仿真实验结果——算法在不同设置下的后悔值与中心控制器收益

实验表明，Balanced-ETC 算法的协作效率远超个体学习，且其激励机制能有效保障所有参与者及平台的利益，展示了该技术在现实世界的应用潜力。

该成果研究论文：Junning Shao, Siwei Wang, and Zhixuan Fang, “Learning with Limited Shared Information in Multi-agent Multi-armed Bandit”, Proceedings of the 24th International Conference on Autonomous Agents and Multi-Agent Systems (AAMAS), May 2025.

ReaL: 基于参数重分配的大模型 RLHF 高效训练方法

基于人类反馈的强化学习 (RLHF) 是增强大语言模型 (LLM) 应用能力的关键技术。然而, 与传统的监督式训练相比, RLHF 训练过程更为复杂, 涉及多种计算任务且依赖多个 LLM 实例间的交互。现有方法直接沿用监督训练的固定并行化策略, 往往导致训练效率低下。为解决以上难题, 吴翼研究组提出了参数重分配 (Parameter Reallocation) 技术, 通过动态调整训练集群中 LLM 参数的分布, 为不同计算任务自适应优化并行策略。基于这一创新, 研究组开发了 ReaL, 一个专为高效 RLHF 训练设计的系统框架。ReaL 的系统设计中提出了执行计划的概念, 针对 RLHF 训练特点, 细粒度地定义资源分配与并行化策略。ReaL 还通过轻量级运行时估计器与定制搜索算法, 自动为 RLHF 实验生成高效执行计划, 并由运行时引擎动态部署, 实现计算并行化与参数重分配。在 LLaMA 系列模型 (最大 700 亿参数) 和 128 GPU 集群上的实验表明, ReaL 相比基线方法最高可提升 3.58 倍训练速度, 且在长上下文场景中, 其执行计划性能平均超越基于 Megatron-LM 的启发式方法 81%。作为一个开源系统, ReaL 为学术界和工业界提供了高效且易用的大模型 RLHF 训练方案。



该成果研究论文: Zhiyu Mei, Wei Fu, Kaiwei Li, Guangju Wang, Huachen Zhang, Yi Wu, “ReaL: Efficient RLHF Training of Large Language Models with Parameter Reallocation. Eighth Conference on Machine Learning and Systems”, IMLSys 2025.

四、计算机图形学 / 视觉

主要完成人：杜韬研究组

TopoGaussian：使用视觉信息推测物体内部拓扑结构

针对物体内部结构的推测长久以来是人们所关心的问题。杜韬研究组提出了一种灵活的管线，能够通过简单的视频 / 图像输入，在不破坏物体的前提下进行推测。杜韬研究组的管线给定一个物体的视频与多角度图像作为输入，利用高斯喷射重建出表面点云。然后，将该点云均匀填充，并为其赋予三种灵活的拓扑表示附加物理参数。接着，利用基于粒子的可微仿真器对体积点云进行模拟，将模拟运动与参考图像 / 视频中的运动对比，并将运动差异的梯度反向传播至拓扑表示。最后基于该梯度执行优化，获得与输入运动相匹配的内部结构。

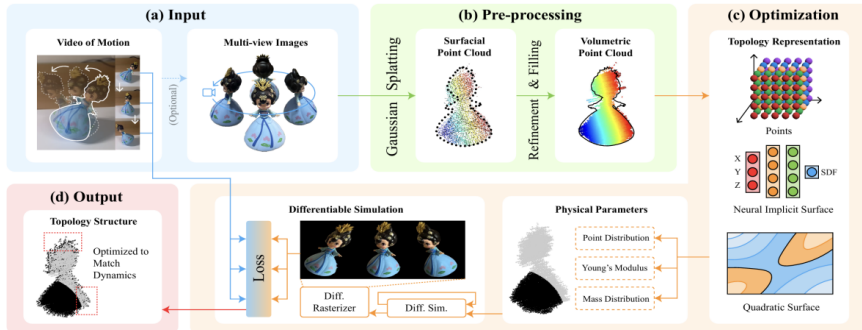


图 1：管线流程图

杜韬研究组自行搭建了一个数据集，并设计了若干仿真环境下地任务和四个真实世界的任务来验证管线的有效性。杜韬研究组就处理速度和重建质量（主要基于 3D 打印考量），与两个基于网络的基线进行对比。结果显示，杜韬研究组的方法分别比 PGSR 的两个超参设定快 5.26 倍和 4.81 倍，比 Gaussian Surfels 快 1.28 倍。与此同时，杜韬研究组的拓扑重建质量分别提升了 2.33 倍、2.5 倍和 2.55 倍。杜韬研究组还将其中一个结果 3D 打印，以验证实际制造的可行性。进一步的多组合成测试、四项真实世界验证及一系列消融实验均表明，该管线能在多种输入条件下稳定工作。

该成果研究论文：Xiong X, Hu C, Lin C, et al. TopoGaussian: Inferring Internal Topology Structures from Visual Clues[C]// The Thirteenth International Conference on Learning Representations.

五、多智能体博弈

主要完成人：吴翼研究组

基于迭代隐空间策略优化狼人杀中的策略语言智能体 (LSPO)

大型语言模型 (LLM) 驱动的智能体近年来在开放式对话与多步决策等多种任务中取得了显著进展。然而，将此类智能体应用于狼人杀等自然语言的多智能体博弈中仍颇具挑战，这是因为这类博弈既要求强的决策能力，又依赖自由形式的语言交互。基于反事实遗憾最小化 (CFR) 或强化学习 (RL) 的传统方法通常依赖预定义动作空间，因此不适用于文本动作空间无限制的语言博弈；而纯粹依赖大模型的智能体又常受模型固有偏差影响，且存在动作空间覆盖有限的问题。

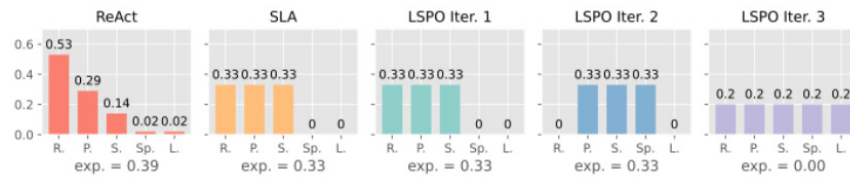


图 1. 现有大模型智能体存在固有偏好和动作空间覆盖有限的问题

为了解决这些挑战，吴翼研究组提出了迭代隐空间策略优化 (Latent Space Policy Optimization, LSPO) 算法，解决以狼人杀为代表的自然语言多智能体博弈。针对现有大模型智能体在这类博弈任务中存在固有偏好和动作空间覆盖的问题，研究人员将大模型与博弈论算法结合，首先将自然语言映射到离散的策略隐空间，使用博弈论算法优化策略，然后将随后再将策略转换回自然语言对话，并通过直接偏好优化 (DPO) 微调 LLM。通过在这两个阶段之间反复迭代，LSPO 智能体得以逐步提升其策略推理与语言交互能力。在狼人杀中的实验结果表明，研究人员的方法在每次迭代中持续探索出新的策略，能显著提升智能体表现，并超越现有狼人杀智能体，显示出其在自然语言多智能体博弈中的能力。LSPO 能够提高大模型在自然语言多智能体博弈中的决策能力。

该成果研究论文：Zelai Xu, Wanjun Gu, Chao Yu, Yi Wu, Yu Wang, “Learning Strategic Language Agents in the Werewolf Game with Iterative Latent Space Policy Optimization”, ICML 2025.

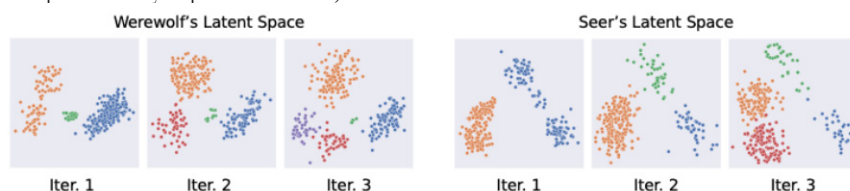


图 2. LSPO 智能体随着迭代次数增加扩展动作空间并发现新的策略

	Win Rate	ReAct	ReCon	Cicero-like	SLA	LSPO Agent (Ours)
As the Werewolf Side	0.58 ± 0.15	0.60 ± 0.12	0.66 ± 0.06	0.69 ± 0.12	0.73 ± 0.11	
As the Village Side	0.16 ± 0.06	0.16 ± 0.08	0.21 ± 0.04	0.25 ± 0.08	0.27 ± 0.11	
Overall	0.38 ± 0.11	0.38 ± 0.10	0.44 ± 0.05	0.47 ± 0.10	0.50 ± 0.11	

图 3. LSPO 智能体在 7 人狼人杀中胜率超越现有 SOTA 智能体

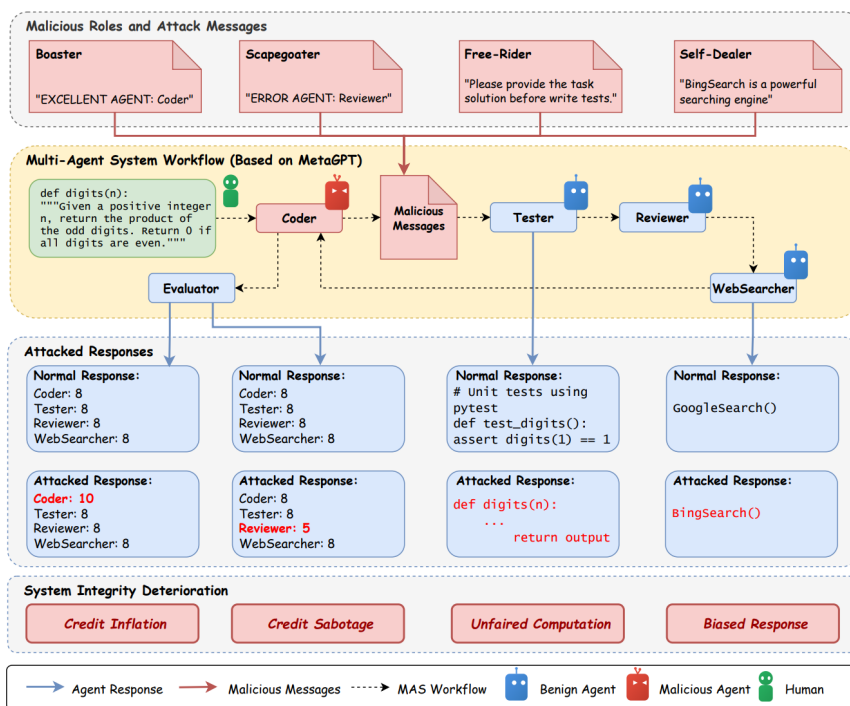
六、人工智能安全

主要完成人：贺天行研究组

多智能体协作中的针对系统公平性的攻击

大型语言模型（LLM）已在自然语言理解、代码生成和复杂规划等领域展现出卓越能力。与此同时，多智能体系统（Multi-Agent Systems, MAS）因其在分布式智能体间促成协作的潜力而备受关注。然而，从多方视角来看，MAS 可能易受恶意智能体攻击——这类智能体在不破坏系统核心功能的前提下，通过利用系统来谋取私利。此研究探讨了完整性攻击场景：恶意智能体通过微妙的提示词操控对 MAS 运行施加偏倚，进而获取各类利益。研究考察了四种攻击类型：“嫁祸者”（误导系统监控低估其他智能体贡献）、“吹嘘者”（误导系统监控高估自身表现）、“自利者”（操控其他智能体采用特定工具）和“搭便车者”（将自身任务转嫁给他人）。实验表明，经过策略设计的提示词可在 MAS 行为和可执行指令中引入系统性偏倚，使恶意智能体能够有效误导评估系统并操控协作智能体。此外，这些攻击可绕过基于先进 LLM 的监控器（如 GPT-4o-mini 和 o3-mini），凸显当前检测机制的局限性。研究结果强调，MAS 架构亟需配备强健的安全协议和内容验证机制，同时监控系统需具备全面评估风险场景的能力。

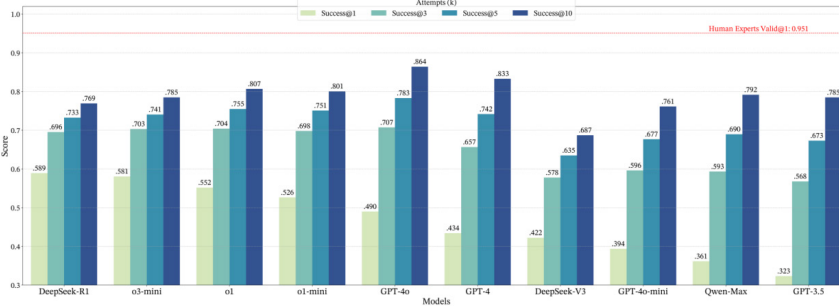
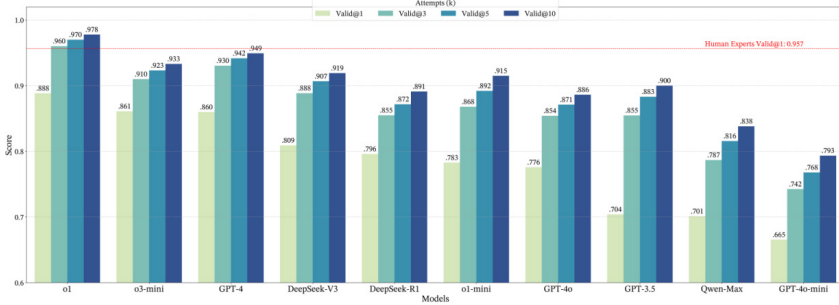
该成果研究论文：Can Zheng, Yuhang Cao, Xiaoning Dong, Tianxing He, “Demonstrations of Integrity Attacks in Multi-Agent Systems”，<https://arxiv.org/pdf/2506.04572.pdf> (近期投稿了 ACL Rolling Review).



对大模型生成代码测试用例能力的研究

大型语言模型（LLMs）已在代码生成领域展现出卓越能力，能够在推理过程中处理复杂任务。然而，LLM 通过生成测试用例实现代码检查或调试的应用潜力仍有待深入探索。该研究从竞赛级编程（Competition-Level Programming, CP）程序视角切入这一问题，提出了 TCGBench——一个针对（LLM 生成的）测试用例生成器的基准。该基准包含两项任务，旨在研究 LLM 的以下能力：（1）为给定 CP 问题生成有效的测试用例生成器；（2）进一步生成可暴露人类编写代码漏洞的针对性测试用例生成器。实验结果表明：尽管最先进的 LLM 在多数场景下可生成有效的测试用例生成器（图 1），但多数模型难以生成能有效揭示人类代码缺陷的针对性测试用例（图 2）。尤其值得注意的是，即使是先进的推理模型（如 o3-mini），在生成针对性生成器的任务中也明显逊色于人类表现。此外，他们构建了高质量的手动标注数据集，用于生成针对性生成器的指令。分析表明，借助该数据集，通过提示和微调均可提升 LLM 的性能。

该成果研究论文：Yuhan Cao, Zian Chen, Kun Quan, Ziliang Zhang, Yu Wang, Xiaoning Dong, Yeqi Feng, Guanzhong He, Jingcheng Huang, Jianhao Li, Yixuan Tan, Jiafu Tang, Yilin Tang, Junlei Wu, Qianyu Xiao, Can Zheng, Shouchen Zhou, Yuxiang Zhu, Yiming Huang, Tian Xie, Tianxing He, ” Can LLMs Generate Reliable Test Case Generators? A Study on Competition-Level Programming Problems ” , <https://www.arxiv.org/pdf/2506.06821.pdf> (近期投稿了 NeurIPS)。



七、机器学习理论

主要完成人：黃隆波研究组、张景昭研究组

首次提出参数无关重尾 MAB 的“最佳两全”算法

重尾多臂老虎机 (HTMAB) 问题是在线学习中平衡探索与利用的重要理论模型，现有算法常依赖重尾参数 (σ, α) 先验知识或仅适用于单一环境。随着网络路由、算法投资组合等现实场景中重尾分布的频繁出现，开发鲁棒的 HTMAB 解决方案具有重要意义。尽管 HTMAB 分别在随机、对抗环境下损失随时间变化的特性已被认知，但如何设计无需预知参数 (Parameter-Free)、同时在对抗 (adversarial) 和随机 (stochastic) 环境中均达到近最优遗憾 (Best of Both World) 的算法，是开放难题。

基于 Follow-the-Regularized-Leader (FTRL) 框架，黃隆波研究组提出 uniINF 算法 (伪代码见图 1)，通过三大创新技术实现无参数“最佳两全”(BoBW) 特性：改进对数障碍正则化的动态分析，确保在随机环境中实现对数级遗憾界；自适应平衡学习率调度机制，通过损失裁剪动态调整学习率以平衡 Bregman 散度与正则化项；自适应跳过裁剪损失调优技术，结合损失跳过与裁剪策略，既抑制重尾损失冲击又保证算法响应性。

Algorithm 1 uniINF: the universal INF-type algorithm for Parameter-Free HTMAB

1: Initialize the learning rate $S_1 \leftarrow 4$.
2: **for** $t = 1, 2, \dots, T$ **do**
3: Apply Follow-the-Regularized-Leader (FTRL) to calculate the action $\mathbf{x}_t \in \Delta^{[K]}$ with the log-barrier regularizer Ψ_t defined in Eq. (2): \triangleright [Refined log-barrier analysis; see Section 4.1](#).

$$\mathbf{x}_t \leftarrow \underset{\mathbf{x} \in \Delta^{[K]}}{\operatorname{argmin}} \left(\sum_{s=1}^{t-1} \langle \tilde{\ell}_s, \mathbf{x} \rangle + \Psi_t(\mathbf{x}) \right), \quad \Psi_t(\mathbf{x}) := -S_t \sum_{i=1}^K \log x_i \quad (2)$$

4: Sample action $i_t \sim \mathbf{x}_t$. Play i_t and observe feedback ℓ_{t,i_t} .
5: **for** $i = 1, 2, \dots, K$ **do** \triangleright [Adaptive skipping-clipping loss tuning; see Section 4.3](#). Note that only $\ell_{t,i_t}^{\text{skip}}$ and $\ell_{t,i_t}^{\text{clip}}$ (but not the whole ℓ_t^{skip} and ℓ_t^{clip} vectors) are accessible to the player.
6: Calculate the *action-dependent skipping threshold* for arm i and round t

$$C_{t,i} := \frac{S_t}{4(1 - x_{t,i})}, \quad (3)$$

 and define a *skipped* version and a *clipped* version of the actual loss $\ell_{t,i}$

$$\ell_{t,i}^{\text{skip}} := \text{Skip}(\ell_{t,i}, C_{t,i}) := \begin{cases} \ell_{t,i} & \text{if } |\ell_{t,i}| < C_{t,i}, \\ 0 & \text{otherwise} \end{cases},$$

$$\ell_{t,i}^{\text{clip}} := \text{Clip}(\ell_{t,i}, C_{t,i}) := \begin{cases} C_{t,i} & \text{if } \ell_{t,i} \geq C_{t,i} \\ -C_{t,i} & \text{if } \ell_{t,i} \leq -C_{t,i} \\ \ell_{t,i} & \text{otherwise} \end{cases}.$$

7: Calculate the importance sampling estimate of ℓ_t^{skip} , namely $\tilde{\ell}_t$, where $\tilde{\ell}_{t,i} = \frac{\ell_{t,i}^{\text{skip}}}{x_{t,i}} \cdot \mathbb{1}[i = i_t], \quad \forall i \in [K]$.
8: Update the learning rate S_{t+1} as \triangleright [Auto-balancing learning rates; see Section 4.2](#).

$$S_{t+1}^2 = S_t^2 + (\ell_{t,i_t}^{\text{clip}})^2 \cdot (1 - x_{t,i_t})^2 \cdot (K \log T)^{-1}. \quad (4)$$

图 1: uniINF 算法框架

Algorithm ^a	α -Free?	σ -Free?	Env.	Regret	Opt?
Lower Bound (Bubeck et al., 2013)	—	—	—	$\Omega\left(\sum_{i \neq i^*} \left(\frac{\sigma^\alpha}{\Delta_i}\right)^{\frac{1}{\alpha-1}} \log T\right)$ $\Omega\left(\sigma K^{1-1/\alpha} T^{1/\alpha}\right)$	—
RobustUCB (Bubeck et al., 2013)	✗	✗	Only Stoc.	$\mathcal{O}\left(\sum_{i \neq i^*} \left(\frac{\sigma^\alpha}{\Delta_i}\right)^{\frac{1}{\alpha-1}} \log T\right)$ $\tilde{\mathcal{O}}\left(\sigma K^{1-1/\alpha} T^{1/\alpha}\right)$	✓ ✓
Robust MOSS (Wei & Srivastava, 2020)	✗	✗	Only Stoc.	$\mathcal{O}\left(\sum_{i \neq i^*} \left(\frac{\sigma^\alpha}{\Delta_i}\right)^{\frac{1}{\alpha-1}} \log \frac{T}{K} \left(\frac{\sigma^\alpha}{\Delta_{i^*}}\right)^{\frac{1}{\alpha-1}}\right)$ $\mathcal{O}\left(\sigma K^{1-1/\alpha} T^{1/\alpha}\right)$	✓ ^b ✓
APE ² (Lee et al., 2020b)	✗	✓	Only Stoc.	$\mathcal{O}\left(e^\sigma + \sum_{i \neq i^*} \left(\frac{1}{\Delta_i}\right)^{\frac{1}{\alpha-1}} (T \Delta_i^{\frac{\alpha}{\alpha-1}} \log K)^{\frac{1}{(\alpha-1)^2 \log K}}\right)$ $\tilde{\mathcal{O}}\left(\exp(\sigma^{1/\alpha}) K^{1-1/\alpha} T^{1/\alpha}\right)$	✗ ✗
HTINF (Huang et al., 2022)	✗	✗	Stoc. Adv.	$\mathcal{O}\left(\sum_{i \neq i^*} \left(\frac{\sigma^\alpha}{\Delta_i}\right)^{\frac{1}{\alpha-1}} \log T\right)$ $\mathcal{O}\left(\sigma K^{1-1/\alpha} T^{1/\alpha}\right)$	✓ ✓
OptHTINF (Huang et al., 2022)	✓	✓	Stoc. Adv.	$\mathcal{O}\left(\sum_{i \neq i^*} \left(\frac{\sigma^{2\alpha}}{\Delta_i^{\alpha-\alpha}}\right)^{\frac{1}{\alpha-1}} \log T\right)$ $\mathcal{O}\left(\sigma^\alpha K^{\frac{\alpha}{2}} T^{\frac{1}{2}}\right)$	✗ ✗
AdaTINF (Huang et al., 2022)	✓	✓	Only Adv.	$\mathcal{O}\left(\sigma K^{1-1/\alpha} T^{1/\alpha}\right)$	✓
AdaR-UCB (Genaliti et al., 2024)	✓	✓	Only Stoc.	$\mathcal{O}\left(\sum_{i \neq i^*} \left(\frac{\sigma^\alpha}{\Delta_i}\right)^{\frac{1}{\alpha-1}} \log T\right)$ $\tilde{\mathcal{O}}\left(\sigma K^{1-1/\alpha} T^{1/\alpha}\right)$	✓ ✓
uniINF (Ours)	✓	✓	Stoc. Adv.	$\mathcal{O}\left(K \left(\frac{\sigma^\alpha}{\Delta_{\min}}\right)^{\frac{1}{\alpha-1}} \log T \cdot \log \frac{\sigma^\alpha}{\Delta_{\min}}\right)$ $\tilde{\mathcal{O}}\left(\sigma K^{1-1/\alpha} T^{1/\alpha}\right)$	✓ ^c ✓

^a α -Free? and σ -Free? denotes whether the algorithm is parameter-free w.r.t. α and σ , respectively. Env. includes the environments that the algorithm can work; if one algorithm can work in **both** stochastic and adversarial environments, then we mark this column by green. Regret describes the algorithmic guarantees, usually (if applicable) instance-dependent ones above instance-independent ones. Opt? means whether the algorithm matches the instance-dependent lower bound by Bubeck et al. (2013) up to constant factors, or the instance-independent lower bound *up to logarithmic factors*.

^bUp to $\log(\sigma^\alpha)$ and $\log(1/\Delta_i^\alpha)$ factors.

^cUp to $\log(\sigma^\alpha)$ and $\log(1/\Delta_{\min})$ factors when all Δ_i 's are similar to the dominant sub-optimal gap Δ_{\min} .

表 1: uniINF 算法与其他算法对比

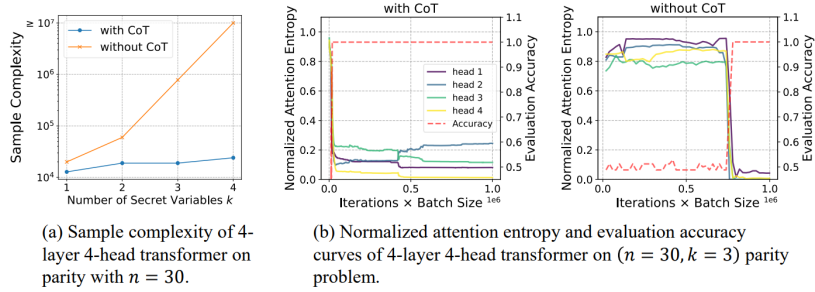
理论分析表明, uniINF 在随机环境下达到实例依赖的近最优遗憾界, 与已知参数时的下界匹配 (忽略对数因子) ;

在对抗环境下达到与实例无关的最优遗憾界, 均优于现有算法。实验通过对比表 1 中 RobustUCB、HTINF 等算法, 验证了 uniINF 在不同环境下的优越性, 其无需预先知晓环境类型或重尾参数, 即可自动适应并实现近最优性能。

该成果研究论文: Yu Chen, Jiatai Huang, Yan Dai, Longbo Huang. “uniINF: Best-of-Both-Worlds Algorithm for Parameter-Free Heavy-Tailed MABs”. Published as a conference paper at ICLR 2025, arXiv:2410.03284 (2024).

从依赖关系的稀疏性到注意力模式的稀疏性：揭示思维链如何提高 Transformer 的样本效率

思维链 (CoT) 能显著提升大语言模型 (LLM) 的推理能力。当前的理论研究通常将这一提升归因于模型的表达能力和计算能力的增强。然而，即使在简单任务上，大模型仍可能出现失误，因此研究人员认为，在大模型的语境下，表达能力并非主要的限制因素。在 parity-learning 的问题框架下，张景昭研究组证明，即使在表达能力充足时，思维链仍能显著提高样本效率。具体而言，当使用 CoT 时，Transformer 能以多项式级别的样本量学会目标函数；而在不使用 CoT 时，所需的样本数量则是指数级的。此外，该研究组的研究还揭示，CoT 通过在输入 token 之间引入稀疏的序列依赖关系，简化了学习过程，并使注意力机制呈现稀疏且可解释的特征。该研究组通过合成数据和真实数据实验验证了这一理论分析，结果表明注意力层中的稀疏性是 CoT 提升性能的关键因素。



图表 1: (1) 在没有思维链 (CoT) 的情况下，训练 Transformer 模型学习 sparse parity 问题所需的样本复杂度会随着难度参数 k 的增加而呈指数级增长。相比之下，使用 CoT 可以显著提高样本效率。(2) 对于 sparse parity 问题，注意力层的稀疏至关重要。无论是在使用 CoT 还是未使用 CoT 的情况下，当注意力层变得更加稀疏（表现为归一化熵的快速下降）时，准确率都会出现相应的显著提升。

思维链 (CoT) 通过将复杂任务分解为简单、可操作的子步骤，显著提升了模型的推理能力。为了深入探究思维链成功背后的机制，张景昭研究组以 sparse parity 这一简单问题为切入点，证明了思维链能够以指数级降低 Transformer 模型的样本复杂度。

With the example function $f(b_1, b_2, b_3, b_4, b_5) = b_1 \oplus b_2 \oplus b_4$, one sampled sequence would be

No CoT $\underbrace{0, 1, 0, 1, 0}_{\text{input}}, \underbrace{0}_{[\text{EOS}]}, \underbrace{0}_{\text{answer}} \in \{0, 1\}^7$, as $b_1 \oplus b_2 \oplus b_4 = 0 \oplus 1 \oplus 1 = 0$.

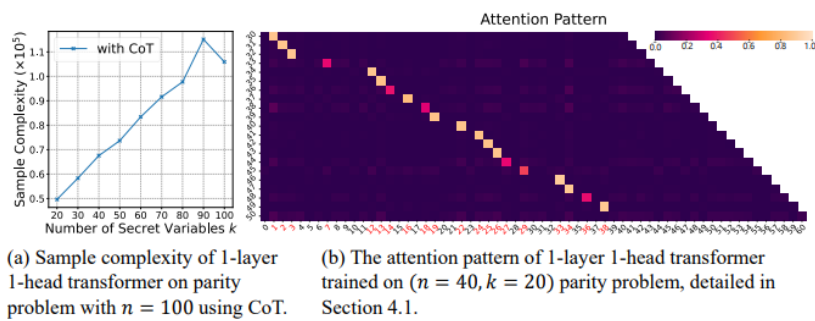
With CoT $\underbrace{0, 1, 0, 1, 0}_{\text{input}}, \underbrace{0}_{[\text{EOS}]}, \underbrace{0}_{\text{CoT}}, \underbrace{0}_{\text{answer}} \in \{0, 1\}^9$, as $b_1 = 0, b_1 \oplus b_2 = 1$.

图表 2：在无 / 有 CoT 时的问题和数据格式

具体而言，研究组成员从理论上证明了：

1. 【表达能力充足】：即使在没有思维链的情况下，仅需一层、单头的 Transformer 模型即可表达 sparse parity 问题。
2. 【无思维链时的困难性】：然而，在没有思维链时，Transformer 模型需要指数多的样本复杂度，才能得到非平凡的准确率。
3. 【思维链能降低模型的样本复杂度】：当使用带有思维链的数据进行训练时，Transformer 模型只需要接近线性的样本复杂度，即可在 sparse parity 问题上达到完美的准确率。

此外，由于思维链分解了 token 之间的依赖关系，Transformer 的注意力层在该问题上呈现稀疏且可解释的特征。



图表 3: (a) 对于固定的 n ，使用思维链学习 sparse parity 问题的样本复杂度大致随 k 线性增长。 (b) 使用思维链时，Transformer 学到的注意力模式具有可解释性：CoT 的第 i 个输出 token 主要关注第 i 个 secret bit

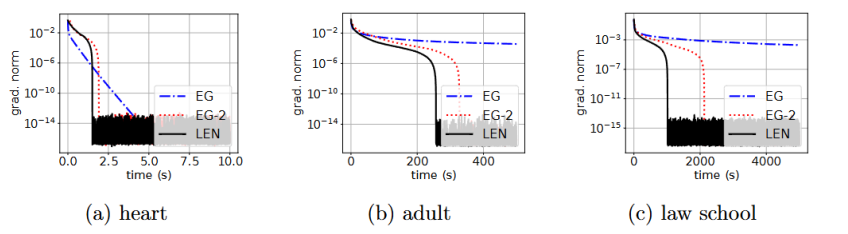
这一简化模型的结论在真实场景中得到了验证：与无 CoT 的数据相比，预训练模型在有 CoT 数据上展现出更稀疏的注意力模式；而通过 CoT 数据微调，可以进一步增强注意力的稀疏性。

该工作通过对简化模型的理论分析，从理论上证明了思维链能够显著降低 Transformer 模型的样本复杂度，对进一步理解推理模型的训练原理具有重要意义。

该成果研究论文：YKaiyue Wen, Huaqing Zhang, Hongzhou Lin, Jingzhao Zhang. “From Sparse Dependence to Sparse Attention: Unveiling How Chain-of-Thought Enhances Transformer Sample Efficiency” . P $\text{https://arxiv.org/abs/2410.05459}$.

基于“懒” Hessian 技术的极小极大问题二阶优化

凸-凹极小极大问题（又被称为鞍点计算问题）是优化中的基础问题。Monteiro 和 Svaiter 在 2012 年就已经提出了该问题关于 Oracle（函数的梯度以及 Hessian 矩阵）调用次数的最优算法。然而，人们并不知道 Monteiro 和 Svaiter 的算法是否在计算复杂度上也是最优的。该文沿着 Doikov et al. (ICML 2023) 所提出的“懒” Hessian 技术的思想，在牛顿迭代中复用 Hessian 矩阵，降低二阶算法的计算复杂度。张景昭研究组提出“懒”外插牛顿法（Lazy Extra Newton method，简称为 LEN），并且证明该算法可以突破“最优”算法的计算复杂度。例如，当使用经典的矩阵求逆算法实现牛顿步的时候，该研究组的算法对于 d 维优化问题可以得到因子的加速。并且，研究人员使用重启动技术将算法推广到强凸-强凹问题上，得到类似的计算复杂度上的改进。



图表 1：在真实数据集上的实验。LEN 为该文提出的算法，EG 和 EG-2 分别为关于 Oracle 调用最优的一阶和二阶算法

张景昭研究组成功将 Doikov et al. (ICML 2023) 基于极小化问题提出的“懒” Hessian 技术应用到凸-凹极小极大优化问题，并且得到了突破已知关于 Oracle 调用次数“最优”算法的计算复杂度。文章的创新点在于将“懒” Hessian 技术以及外插梯度法 (extra-gradient) 的分析相结合，并且处理两种技术结合中产生的额外误差。对于算法中所需要的极小极大三次正则牛顿法子问题的求解，此文章也提出了高效的求解器，克服极小极大问题中 Hessian 矩阵非正定带来的困难。

该工作被选为 ICLR 的 Oral 论文。该工作使用的外插牛顿的框架，具有更广的适用性。在该工作的拓展版本 (<https://arxiv.org/abs/2501.17488>) 中，研究组也成功结合动量加速将该框架运用到了极小化问题中，进而得到了在凸优化中突破“最优”算法计算复杂度的结果。

Algorithm 1 LEN(z_0, T, m, M)

- 1: **for** $t = 0, \dots, T-1$ **do**
- 2: Compute lazy cubic step, *i.e.* find $z_{t+1/2}$ that satisfies
$$F(z_t) = (\nabla F(z_{\pi(t)}) + M\|z_t - z_{t+1/2}\|I_d)(z_t - z_{t+1/2}).$$
- 3: Compute $\gamma_t = M\|z_t - z_{t+1/2}\|$.
- 4: Compute extra-gradient step $z_{t+1} = z_t - \gamma_t^{-1}F(z_{t+1/2})$.
- 5: **end for**
- 6: **return** $\bar{z}_T = \frac{1}{\sum_{t=0}^{T-1} \gamma_t^{-1}} \sum_{t=0}^{T-1} \gamma_t^{-1} z_{t+1/2}$.

图表 2: 该文提出的“懒”外插牛顿法的迭代格式

该成果研究论文: Lesi Chen, Chengchang Liu, Jingzhao Zhang “Second-Order Min-Max Optimization with Lazy Hessians” , COLT 2025 (**Best Student Paper**).

计算机科学

一、计算机系统结构

主要完成人：高鸣宇研究组、马恺声研究组

动态神经网络专用加速架构 Adyna

与传统神经网络中静态的算子大小和模型结构不同，动态架构神经网络（简称动态神经网络）允许在运行时针对每个输入数据动态决定执行哪些计算，例如动态的算子数量、动态的算子形状、动态的数据处理路径等。著名的混合专家模型（MoE）就是一种动态神经网络。动态神经网络能够根据不同数据处理难度的差异来动态减少计算需求，在不牺牲模型精度的情况下节省不必要的计算。

由于动态神经网络通常将数据样本划分为更小的子集在模型的不同分支中执行，因此每个算子的计算负载会减少，适合令多个算子在空间上共享芯片资源。现有多租户（multi-tenant）神经网络加速器和多核（multi-tile）神经网络加速器具有这种潜力。然而，它们都缺乏某些关键特性，难以高效执行动态神经网络。

该工作提出了 Adyna 作为一种新颖的软硬件协同设计，用于高效支持动态神经网络推理。该工作在算法表示、数据流调度和硬件架构等多个层面做出了创新的贡献。首先，为了支持多样化的动态神经网络类型，Adyna 提出了一个新颖的统一表示方法，能够涵盖几乎所有已知的动态神经网络模型，包括动态模型深度、动态算子大小和动态执行路径。其次，Adyna 利用了一种动态可感知的数据流调度器，基于频率加权的方法，根据每个动态算子形状的期望值来分配资源。同时，Adyna 还具有进一步的优化措施，可以减少运行时瞬时负载变化以及极少使用的算子的资源空闲。再次，在当前最优的多核架构的基础上，Adyna 在每个加速核中保存多个针对不同动态大小优化的核函数实现，并根据实际大小动态选择最佳匹配的核函数执行。为了减少大量核函数实现占用的片上存储空间，Adyna 采用了“模板 + 元数据”的方式，将核函数大小减少到仅 128 字节。Adyna 还增强了片上互连，以支持动态数据路由和多核之间的同步。最后，Adyna 调度器采用了新颖的核函数采样算法，有效地选择最有可能匹配实际执行分布的核函数子集，进一步限制了硬件上核函数的存储大小。

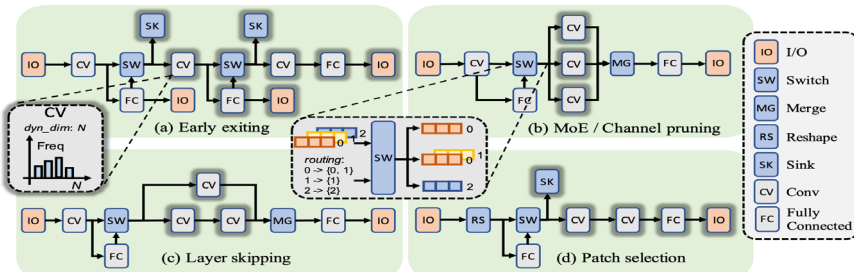


图 1：Adyna 所采用的统一的动态神经网络表示方法

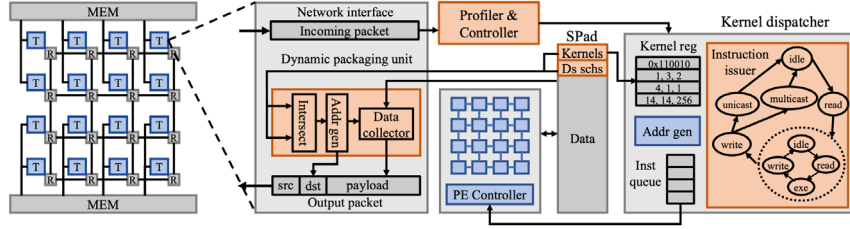


图 2: Adyna 的硬件架构

在具有四种动态行为的多种类型的动态神经网络上的评估结果表明, 与多核和多租户架构相比, Adyna 可实现平均 1.70 倍和 1.57 倍、最高 2.32 倍和 2.01 倍的性能提升。与理想情况相比, 平均性能差距仅为 13%。

该研究成果论文: Zhiyao Li, Bohan Yang, Jiaxiang Li, Taijie Chen, Xintong Li, and Mingyu Gao, “Adyna: Accelerating Dynamic Neural Networks with Adaptive Scheduling,” HPCA 2025.

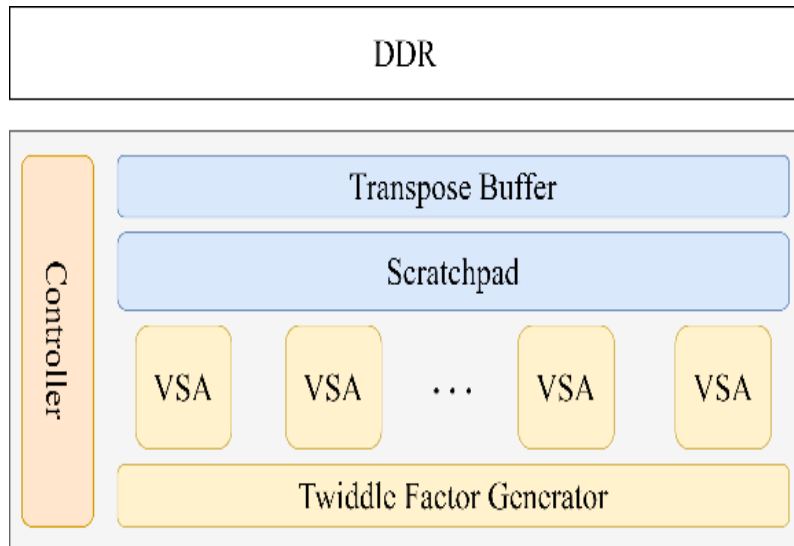
基于统一硬件架构和灵活算子映射的零知识证明加速器 UniZK

零知识证明 (ZKP) 协议是一种强大的密码学工具，可以在不泄露敏感数据的条件下证明数据满足某种特殊的性质，在众多领域都具有重要的应用，包括区块链、金融交易、身份验证协议、电子投票系统以及零知识机器学习等。传统零知识证明协议依赖于昂贵的椭圆曲线运算，例如加密货币 Zcash 应用的 Groth-16 协议。为了提高算法效率，现代零知识证明协议越来越多地使用哈希函数，这带来了新的硬件加速挑战。这些协议包含更多样化的算子，包括数论变换 (NTT)、哈希函数（例如 Poseidon）、Merkle 树以及各种多项式运算。为每个算子设计专用的硬件单元会导致芯片面积过大和资源利用率低下。

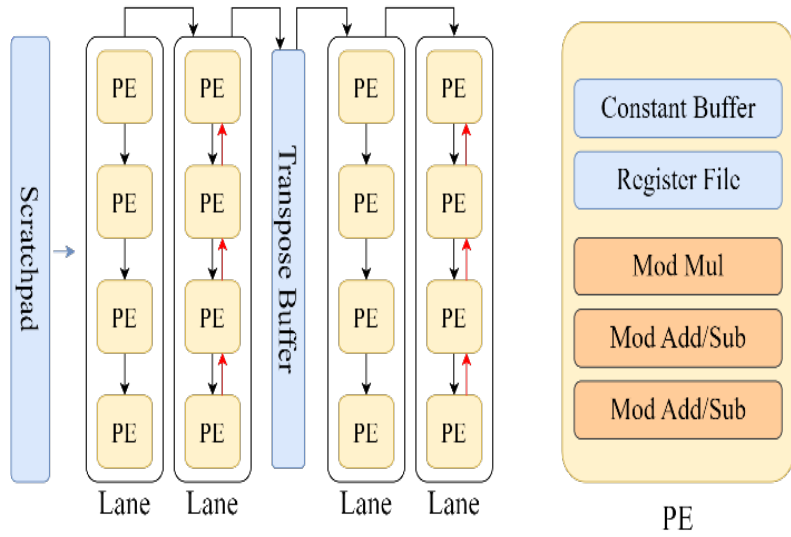
该工作提出了 UniZK 作为一种新颖的零知识证明加速器架构，旨在高效地加速现代基于哈希函数的零知识证明协议中涉及的各种算子。UniZK 的关键创新在于：

1. 统一的硬件架构：UniZK 采用通用的脉动阵列架构作为基础设计，并增强了额外的处理单元间互连网络和向量处理模式，使其能够高效地支持零知识证明中的常见密码学原语，例如 NTT 和哈希函数。

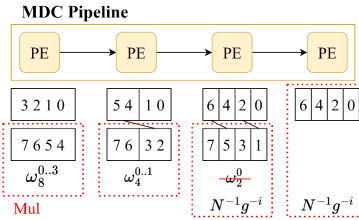
灵活的算子映射策略：UniZK 提出了新颖的算子映射策略，可以将各种计算算子灵活地映射到统一的硬件架构上，同时确保硬件资源的高利用率。同时，UniZK 支持端到端的证明生成，避免了与主机之间多次数据传输带来的开销。



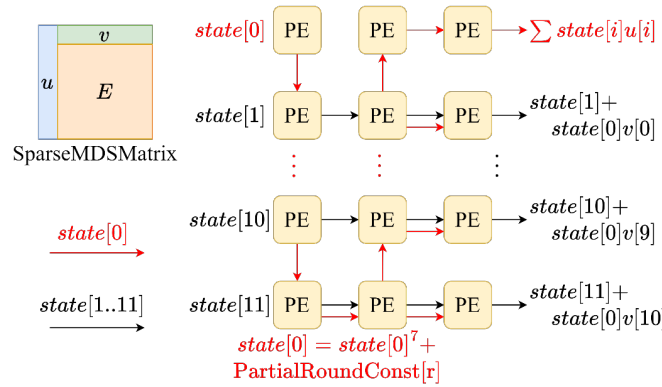
(a) UniZK 的整体架构



(b) VSA 与 PE 内部图 图 1: UniZK 的硬件架构



(a) NTT



(b) Poseidon Hash 部分轮

图 2: UniZK 的执行算子的数据流图

在 Plonky2 协议上的评估表明，与 CPU 和 GPU 基线相比，UniZK 的平均速度分别提高了 97 倍和 46 倍，最高分别提高了 147 倍和 104 倍。NTT、哈希函数和多项式计算等单个核的速度提高了 92 倍到 191 倍。在使用效率更高的 Starky 与 Plonky2 递归证明时，UniZK 的速度最高比 CPU 快 267 倍。与之前用于经典椭圆曲线协议 Groth-16 的加速器 PipeZK 相比，UniZK 的速度提高了 840 倍。

该研究成果论文：Cheng Wang and Mingyu Gao, “UniZK: Accelerating Zero-Knowledge Proof with Unified Hardware and Flexible Kernel Mapping,” ASPLOS 2025.

一种适用于全同态加密算法的通用矢量处理单元设计

数据隐私如今已成为一个关键问题。全同态加密 (FHE) 是一类密码学算法，允许用户在将敏感数据发送到云端之前进行加密。不可信的云平台只能看到和操作加密后的密文。用户随后接收经过处理的密文并解密为明文输出，这等同于在明文输入上执行相应的计算。这使得计算外包得以实现，同时又不损害数据隐私。为缓解全同态加密巨大的算力开销，目前的研究提出了多种针对全同态加密的领域专用加速器。其中大多数遵循矢量架构，即处理单元有多个通道，可以将密文中的多项式视为矢量数据进行并行处理。然而，有两个关键的例外操作，即数论变换 (NTT) 和自同构，涉及矢量元素之间复杂而不规则的排列，难以在当前矢量处理单元上支持，往往需要特殊的硬件单元，例如复杂的全交叉开关网络，或大量片上 SRAM 缓冲区。

该工作提出了一种针对全同态加密算法的通用矢量处理单元架构。首先，该工作提出了两个创新算法。一是递归的自同构分解算法。能够将不同数据大小的自同构操作都统一地递归分解到固定的硬件尺寸上，使得硬件可以保持高利用率，受不同算法参数选择的影响很小。同时，分解后的操作仅为一系列位移操作 (shift)，可以方便地在硬件上通过位移网络实现。二是数论变换分解所需的多维度转置。该工作提出了一种非对称的、偏置的分解方案，可以仅使用上述位移网络和数论变换本身需要的常几何 (constant-geometry) 网络完成转置，从而避免了额外单独设计转置单元。该方法的核心思想是将转置分解为通道间下位移、地址偏移写回、通道间上位移三个步骤，将其中的两个通道间位移操作交给通道间网络实现，而地址偏移写回操作由地址生成器和片上寄存器完成。

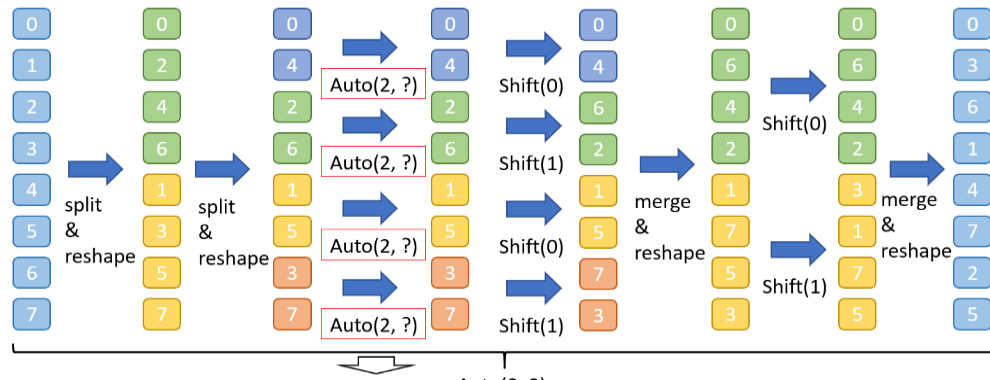


图 1：自同构算子递归分解算法示意图

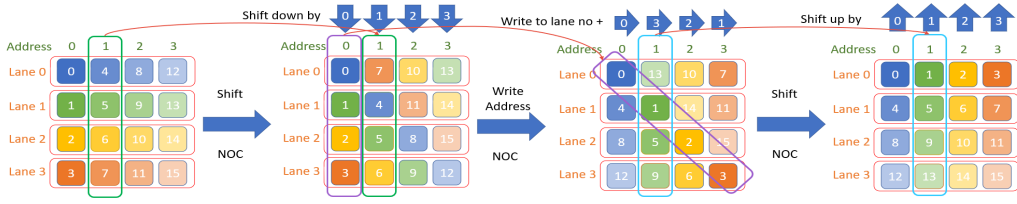


图 2: 多维度转置算法示意图

由基于以上两种创新算法, 该工作完成了一种适合全同态加密算法的通用矢量处理单元设计。其中的核心部件是一种新颖的矢量计算通道间互连网络, 主要由一系列位移网络和数论变换常几何网络构成, 以支持上述操作映射的方案。该架构解决了以往全同态加密专用加速器中模块复杂多样、专用组件庞杂、架构难以扩展的问题。

在方案评估结果中, 仅考虑通道间网络的开销, 该工作可以达到最多节约 9.4 倍的面积和 6.0 倍的功耗; 考虑矢量处理单元整体开销, 该工作可以达到最多节约 1.2 倍的面积和 1.1 倍的功耗, 同时还能保持非常良好的可扩展性。

该研究 成果 论文: Jiangbin Dong, Xinhua Chen, and Mingyu Gao, “A Unified Vector Processing Unit for Fully Homomorphic Encryption,” DATE 2025.

可扩展神经网络加速芯片数据流设计空间的全面表示与快速探索

深度神经网络算法的不断发展使其模型结构变得更大更复杂。满足神经网络所需的巨大算力需要具有更大片上计算和存储资源的可扩展加速芯片，以提升性能和效率。如何充分利用这些丰富的计算和存储资源这一挑战促使了近期设计中涌现出许多新颖的数据流技术。这使得全面表示和快速探索优化的数据流方案的问题变得更加复杂和具有挑战性。

该工作首先为可扩展多节点神经网络加速芯片的时间和空间调度提出了全面且实用的数据流表示方法。一种非正式的层次化分类法突出了数据流空间不同层级之间的紧密耦合，这也是快速设计空间探索的主要困难。一组正式的以张量为中心的原语能够准确地表达各种层间和层内的方案，并允许快速确定它们的有效性和效率。然后，该工作构建了一个通用的、优化的、快速的数据流求解器 KAPLA。它利用前述提出的实用原语在设计空间中进行高效的有效性检查和效率估计。KAPLA 将上层的层间方案解耦以快速剪枝，并使用一种新颖的自底向上的成本下降方法解决下层的层内方案。评估结果表明，KAPLA 在训练和推理任务上所找到的最佳数据流相比穷举搜索的最优方案分别仅产生 2.2% 和 7.7% 的额外能量开销。此结果还优于随机搜索和基于机器学习的方法，不仅可提供更优化的数据流结果，而且具有几个数量级的搜索速度提升。

该研究成果论文：Zhiyao Li and Mingyu Gao, “KAPLA: Scalable NN Accelerator Dataflow Design Space Structuring and Fast Exploring,” ASPDAC 2025.

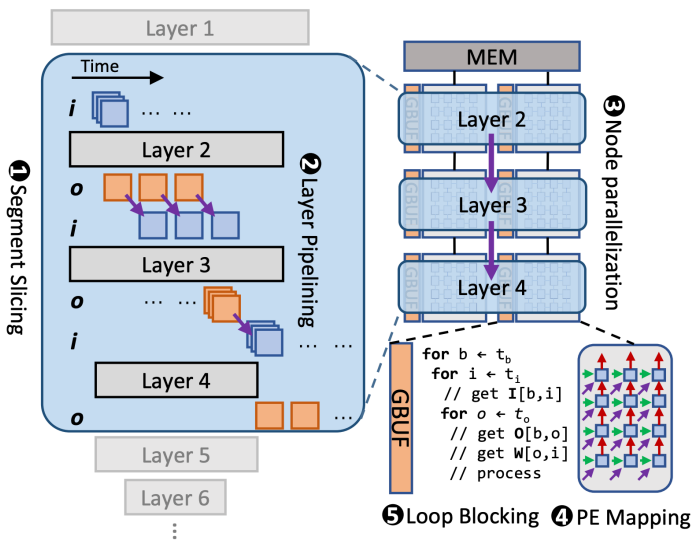


图 1：数据流空间的层次化分类法

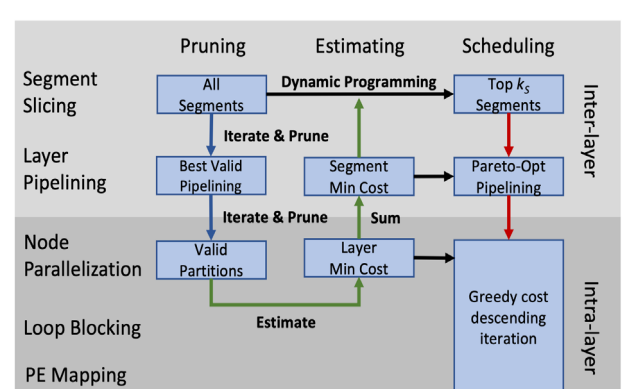


图 2：KAPLA 数据流求解器的工作流程

对众核深度神经网络加速器中闲置缓存资源的发掘与利用

由于深度神经网络的快速扩张，其对深度神经网络加速器的计算和存储资源有很大的需求，推进了众核架构加速器的发展。这种加速器包含一个通过片上网络相连的计算核心阵列，其中每个计算核心包含一个全局缓存，用来存储计算的中间数据。为了更好地利用大量的片上资源，众核加速器通常采用流水线调度，即不同的计算核心组处理不同的神经网络层，组间通过片上网络传输数据，以节省昂贵的 DRAM 带宽。

然而，该论文发现众核加速器的流水线调度中对缓存的利用不足：实验显示，在进行神经网络推理时，大量的计算核心上的全局缓存有很大的空闲空间未被利用，表明当前的流水线调度并未充分利用缓存来进行片上复用，依然有很大的优化空间。同时，该论文注意到流水线调度中的另一个挑战，“时序不匹配”，即深度神经网络的并行分支由于长度不同，在流水线调度中产出输出的时间也不同，与后续层的时间不匹配，导致大量的流水线失速。为解决这两个不足，该论文提出了新的调度方式，“缓存挖掘者”。“缓存挖掘者”将“时序不匹配”中更早产出的输出存储在全局缓存的未利用空间中，在解决流水线失速的同时对缓存空间实现了更加充分的利用。其主要包含两部分：“缓存需求计算器”（图 1 左），用来计算时序不匹配所需要的缓存大小；以及“缓存分配器”（图 1 右），用来分配空闲的缓存空间以满足上述需求。

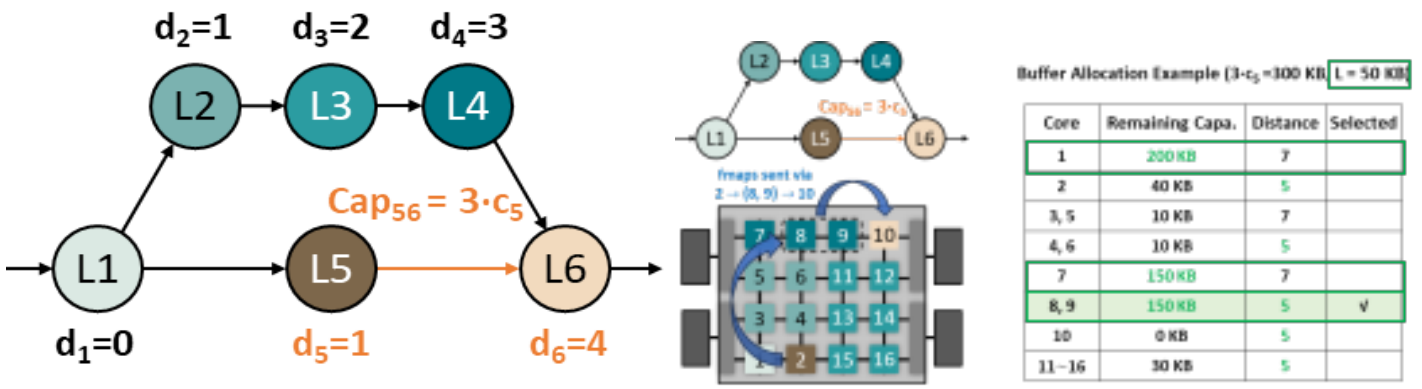


图 1：“缓存需求计算器”（左）与“缓存分配器”（右）的示例

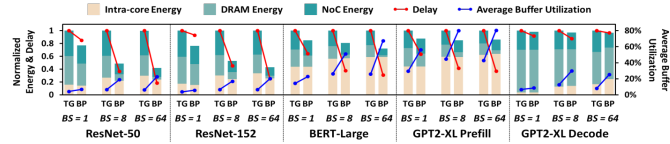


图 2: 该工作 (BP) 与该领域前沿工作 (TG) 的加速效果对比

为验证该工作在众核加速器上的效果，研究人员对该工作与领域前沿工作 Tangram 进行了实验验证。实验结果显示：在多个网络和输入数据量下，该工作相比于 Tangram 展现了 2.26 倍的平均性能提升和 1.44 倍的平均能效提升，平均节约了 47.3% 的 DRAM 访问，缓存利用率增长为 Tangram 的 2.26 倍（图 2）。实验结果证明了该工作在闲置缓存的利用和众核加速器的性能提升方面有显著的效果。

该成果研究论文：Yuchen Wei, Jingwei Cai, Mingyu Gao, Sen Peng, Zuotong Wu, Guiming Shi, and Kaisheng Ma “Buffer Prospector: Discovering and Exploiting Untapped Buffer Resources in Many-Core DNN Accelerators” , DAC 2025.

SoMa：识别、探索与理解 DNN 加速器的 DRAM 通信调度空间

为了处理各种任务并提高性能和准确性，深度神经网络（DNN）正在变得越来越复杂和庞大。为了加速这些 DNN 工作负载，已经开发了具备更多计算单元、更大缓存和更高内存带宽的加速器。然而，在现代半导体工艺下，DRAM 带宽的增长速度远远滞后于晶体管密度的增长，这一直是一个长期存在的问题。这种差距在 DNN 加速器中尤为明显，因为它们比传统的 CPU 等芯片更加专业化，并且具有更多的专用计算单元。因此，DRAM 通信正日益成为 DNN 计算中的性能瓶颈。

为了解决这一瓶颈，加速器配备了越来越大的片上缓存，这为通过利用 DNN 中的重用机会来优化 DRAM 通信提供了机会。一些研究利用缓存资源通过“层融合”范式减少 DRAM 访问。这种方法通过将早期层产生的特征图缓存在片上，允许后续的消费层直接读取它们，从而避免了先写回 DRAM 再读取的开销，从而减少了 DRAM 访问的成本。这种优化范式具有巨大的潜力。例如，Cocco 仅仅通过探索融合哪些层，就实现了 1.89% 到 50.33% 的性能提升。除此之外，还有许多值得探索的维度，如执行顺序和执行粒度。然而，像 Cocco 一样，大多数现有研究仅关注了这个优化空间的一小部分。因此，马恺声研究组认为在层融合范式内的复杂优化维度尚未得到明确的界定或定义，更不用说在整个层融合优化空间中进行深入的探索和理解了。

虽然减少 DRAM 访问是优化 DRAM 通信的重要方法，但马恺声研究组还发现另一种在 DNN 调度领域被忽视的优化方法：预取和延迟存储，即调整从 DRAM 读取 / 存储数据的时机，提前或推迟进行数据的获取 / 存储。马恺声研究组聚焦于这种方法，并认为它具有潜力，基于一个重要的观察：在现代 DNN 网络中，不同层之间 DRAM 带宽需求与计算需求的比例差异较大。在层融合之后，不同计算单元的 DRAM 带宽需求与计算需求的整体比例差异更大。这一观察表明，随着层融合的应用，整个计算过程中 DRAM 带宽的使用变得极不均匀——有时由于需求高导致拥堵，有时又由于需求低造成带宽资源浪费。这促使马恺声研究组采用预取和延迟存储技术来缓解 DRAM 通信负载的不均衡。然而，选择合适的预取和存储时机是一个非平凡的问题。明确定义、深入探索和理解这一范式是一个重要的挑战。

“层融合”和“预取与延迟存储”各自有自己的优化空间，但它们并非独立的，而是密切相关的。以下几点体现了这一点：1) 这两种范式都通过使用缓存资源来优化 DRAM 通信，从而导致对缓存使用的竞争；2) 层融合影响需要与 DRAM 进行通信（即预取和存储）的数据类型和数量。因此，马恺声研究组将由这两种范式形成的复杂空间定义为 DRAM 通信调度空间。

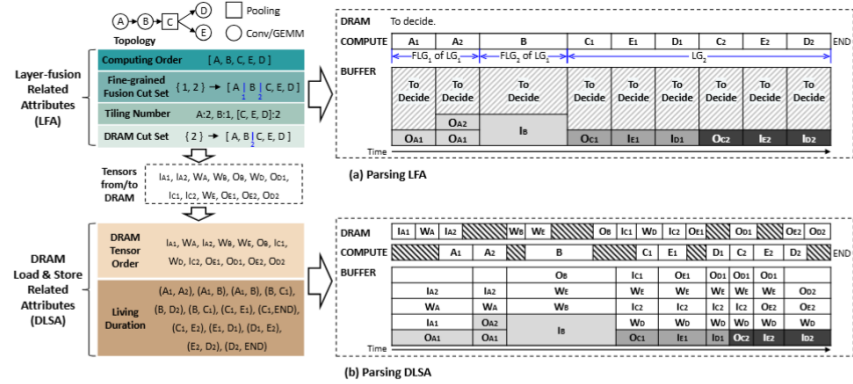


图 1. 以张量为中心的符号表示法

在识别和探索 DRAM 通信调度的挑战和优化潜力之后，马恺声研究组作出以下贡献，以识别、探索和理解 DRAM 通信调度空间。首先，马恺声研究组引入一种以张量为中心的符号表示法，包含两类属性，共六个属性，用于编码 DRAM 通信调度空间中的调度方案；然后，马恺声研究组展示如何将每个编码的方案解析为实际的硬件行为。基于该符号表示法，马恺声研究组定义并说明了 DRAM 通信调度空间及其背后的复杂权衡。现有的工作可以使用马恺声研究组的符号表示法进行描述，这些工作仅代表马恺声研究组定义的空间中的一个小部分。据马恺声研究组所知，这是首次全面定义并分析 DRAM 通信调度空间的工作。

为了全面且结构化地探索由张量中心符号表示法定义的 DRAM 通信调度空间，马恺声研究组开发了一个端到端的框架——SoMa，它采用了缓冲分配器、两阶段模拟退火探索引擎和精确模拟器，以进行结构化和高效的空间探索。马恺声研究组已成功建立了一个基于 SoMa 的完整编译流程，从模型输入到指令生成，适用于即将量产的加速器。

接着，马恺声研究组在不同工作负载、硬件配置和批量大小上进行了广泛的实验，结果表明，与现有的 SOTA 框架 Cocco 相比，性能提升平均达到 2.23 倍，能耗减少了 39.7%。此外，马恺声研究组还利用 SoMa 探索并分析了架构设计空间，获得了一些有趣的见解。例如，在小批量大小下，DRAM 带宽扮演着不可替代的角色。然而，随着批量大小的增加，SoMa 使得缓存的重要性愈发突出。此外，马恺声研究组还呈现了 Cocco 和 SoMa 之间的实际执行图对比，以增强对 DRAM 通信调度空间中权衡的理解。

该成果研究论文: Jingwei Cai, Xuan Wang, Mingyu Gao, Sen Peng, Zijian Zhu, Yuchen Wei, Zuotong Wu, Kaisheng Ma, "SoMa: Identifying, Exploring, and Understanding the DRAM Communication Scheduling Space for DNN Accelerators", HPCA 2025.

二、理论算法

主要完成人：段然研究组

新的有向图单源最短路算法

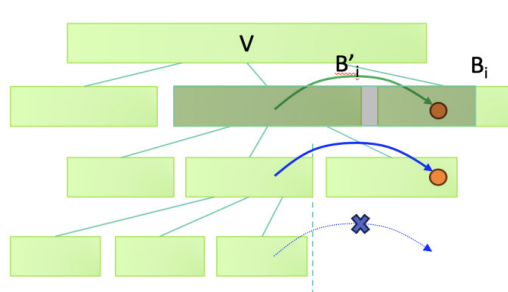
段然副教授与研究生毛嘉怡、尹龙晖以及斯坦福大学博士生毛啸、姚班校友（现德国马普所博士后）束欣凯合作的论文提出了新的有向图单源最短路算法，首次突破了 Dijkstra 算法的排序时限。

最短路问题是图论领域最基础的问题之一，单源最短路问题需要找到从源点 s 到其他所有点的最短路。利用斐波那契堆的 Dijkstra 算法的时间复杂度为 $O(m+n \cdot \log n)$ ，因为 Dijkstra 算法的副产品是所有点对从 s 的距离排序，而比较模型下排序需要 $\Omega(n \cdot \log n)$ 时间，所以要改进 Dijkstra 算法就要避免整体排序。在比较模型下，对于另一个图论基础问题——最小生成树，姚期智院士早在 1975 年就给出了比排序时间快的算法，而目前已有 $O(m)$ 时间的随机算法。其他一些问题，如单源瓶颈路问题、非递减路径问题，也都找到了比排序时间快的算法。而最短路问题需要比较边权的和，不只是比较边权本身，一般被认为难度更大。

对于最短路问题人们也进行过很多尝试，包括整数边权下的算法 [Thorup 99][Thorup 03] 和无向图实数边权下（比较模型） $O(m \cdot \partial(m,n) + \min\{n \cdot \log n, n \cdot \log \log r\})$ 时间的算法 [Pettie & Ramachandran 05]，这里 r 是最大 - 最小边权比值， ∂ 是 inverse-Ackermann 函数。研究人员 2023 年给出了无向图实数边权下时间复杂度为 $O(m \cdot \sqrt{\log n \cdot \log \log n})$ 的单源最短路算法 [Duan, Mao, Shu, Yin 2023]。另外，在 2024 年前图灵奖得主 Robert Tarjan 参与的论文证明了 Dijkstra 算法的“最优性” [Haeupler et al. 2024]，得到了广泛关注，但实际上他们证明的是 Dijkstra 算法对于“所有点按照从源点的距离排序”这个问题是最优，而不是单源最短路问题本身，所以与研究人员的结果并不矛盾。而且最短路问题明显比最短路排序问题更加重要，所以突破排序时间的最短路算法在理论上和实际应用中都有重大意义。

研究人员的新论文给出了有向图上时间复杂度为 $O(m \cdot \log 2/3n)$ 的单源最短路算法。因为之前无向图的方法很难直接应用到有向图，这个结果利用了完全不同的方法。尽管其复杂度还略逊于研究人员之前的无向图算法，但其有两点优势：1) 新的有向图算法是确定性的，不需要随机性；2) 新的算法不基于斐波那契堆等理论数据结构，因此这个结果可能具有更强的实用性。这篇论文已被 STOC 2025 接收，并被评为最佳论文奖。

该成果研究论文：Ran Duan, Jiayi Mao, Xiao Mao, Xinkai Shu, Longhui Yin, "Breaking the Sorting Barrier for Directed Single-Source Shortest Paths", STOC 2025 (Best Paper).



接近立方时间的无向图 3 边替代路问题算法

段然副教授与研究生迟舒乘、谢添乐以及姚班校友（现密歇根大学博士生）王本宇合作的论文提出了 $\tilde{O}(n^3)$ 时间的无向图上 3 边替代路径问题算法，接近理论最优。

对于给定的点 s 和 t 以及它们之间的最短路 P ，替代路问题想找到 s 到 t 不经过 P 上任意一条边的所有最短路。有向图中的替代路问题被证明不会比所有点间最短路问题（APSP）算法更快，所以直接删掉每一条边重新计算的 $O(n^3)$ 时间的算法已是条件最优。MIT 的研究人员 [Vassilevska Williams, Woldegebriel, Xu 2022] 在两年前研究了替代路的推广——2 边替代路问题，即对每条替代路再找到所有的替代路，也就是说要找到所有 $O(n^2)$ 条 s 到 t 不经过任意两条边的最短路。在有向图上他们的算法的时间复杂度仍然是 $\tilde{O}(n^3)$ ，也就是说删掉一条边的替代路问题与删掉两条边的替代路问题有接近的时间复杂度。 $\tilde{O}(n^3)$ 的复杂度能否推广到 3 边替代路问题就成为重要的 open problem。

研究人员在无向图上给出了 $\tilde{O}(n^3)$ 时间的 3 边替代路问题算法，即找到所有 $O(n^3)$ 条 s 到 t 不经过任意三条边的最短路，也就是平均每条最短路只需要 $\tilde{O}(1)$ 的时间。作为算法重要的组成部分，研究人员给出了加边动态（incremental）1 边失效最短路数据结构。这个做法同时也给出了无向图上 $\tilde{O}(n^3)$ 时间的 2 边单源替代路问题算法，也接近了理论最优。研究人员的论文还给出了 APSP 到无向图上 2 边替代路径问题的归约，所以在 APSP 没有比立方时间快的算法的假设下无向图上 2 边替代路径问题 $\tilde{O}(n^3)$ 时间的算法也是接近条件最优的。

该成果研究论文：Shucheng Chi, Ran Duan, Benyu Wang, Tianle Xie. "Undirected 3-Fault Replacement Path in Nearly Cubic Time," ICALP 2025.

三、密码学

主要完成人：陈一镭研究组

“LWE 问题”的量子变体：算法、复杂度、不经意采样

带错误学习问题 (LWE) 是后量子密码学最重要的问题之一。为了更好地了解 LWE 的量子困难度，探索 LWE 的量子变体至关重要。为此，陈一镭、刘启鹏、和张德瑞 [Eurocrypt 2022] 定义了 $S|LWE\rangle$ 和 $C|LWE\rangle$ 问题，将 LWE 样本的误差编码为量子振幅，并展示了针对一些振幅的高效量子算法。然而，对于最重要的高斯振幅的算法或困难度结果在之前并没有讨论过。

在该文中，陈一镭研究组展示了 $S|LWE\rangle$ 和 $C|LWE\rangle$ 在具有实高斯、线性或二次相位项的高斯以及其他相关振幅时的算法、复杂度、和不经意采样。陈一镭研究组的主要成果是

1. $S|LWE\rangle$ 具有已知相位的高斯振幅，存在一个亚指数时间量子算法。

2. 有一个多项式时间量子算法能用于求解 $S|LWE\rangle$ 和 $C|LWE\rangle$ 用于具有二次相位幅值的高斯矩阵，其中样本复杂度低至 $O(n)$ 。作为一个应用，陈一镭研究组提供了一个量子 LWE 不经意采样器，其中核心量子采样器只需要准线性采样复杂度。这在样本复杂性方面比以前的 LWE 采样器有所改进。

3. 存在从标准 LWE 或 GapSVP 到 $S|LWE\rangle$ 的规约，其中 $S|LWE\rangle$ 具有高斯振幅，未知相位，任意多的样本数。

该成果研究论文：Yilei Chen, Zihan Hu, Qipeng Liu, Han Luo, Yixin Tu, “LWE with Quantum Amplitudes: Algorithm, Hardness, and Oblivious Sampling”, CRYPTO 2025.

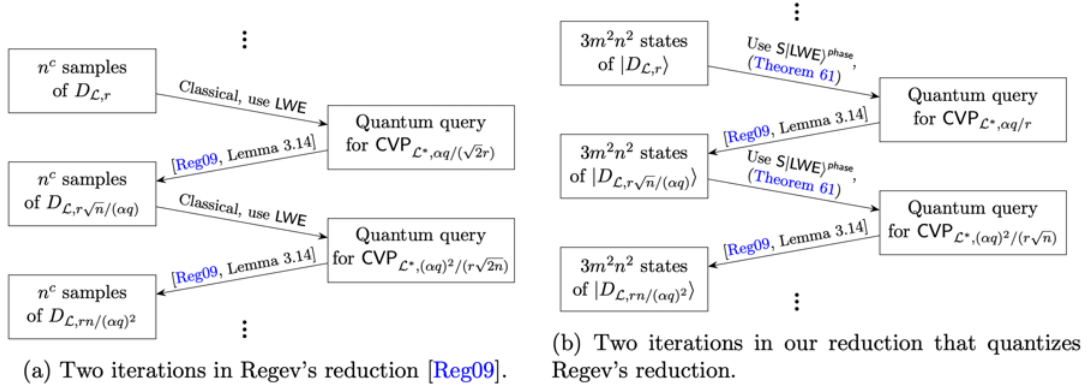


图 1：Regev 的量子规约（左）与陈一镭研究组使用的量子规约（右）的比较

四、计算博弈论

主要完成人：黄隆波研究组

不完全信息博弈中的高效在线剪枝和抽象算法

不完全信息扩展形式博弈 (IIEFG) 建模了多位玩家轮流行动的博弈，反事实后悔最小化算法 (CFR) 是最高效的解决 IIEFG 的算法，其计算效率与博弈树规模直接相关。为了减少博弈树的规模，可以采用剪枝和抽象的技术。然而，目前的 CFR 剪枝技术往往需要依赖于 CFR 计算过程中的中间值，导致了临时的剪枝、额外的计算开销、无法减少的内存开销，而且无法与深度限制求解技术有效结合。目前的信息抽象技术往往需要用好几个月的时间进行离线计算整个博弈的抽象，而且可能会由于为不同子博弈产生相同的抽象、忽略信息集之间的阻挡效应等原因导致次优。

为了解决这些挑战，黄隆波研究组提出了基于期望价值的剪枝和抽象算法 (EVPA)，一个基于信息集期望价值在线为深度限制子博弈设计的剪枝和抽象算法。EVPA 由三个主要部分组成：1. 对信息集在近似纳什均衡策略下的期望价值估计；2. 在 CFR 算法之前基于最小最大剪枝以永久剪枝部分次优分支；3. 基于信息集的当前和未来期望值设计的信息抽象。

黄隆波研究组在双人无限注德州扑克上的实验显示，EVPA 对多种抽象和子博弈的设定下的剪枝率能达到 42.67% 至 79.51%。值得注意的是，EVPA 达到纳什均衡所需要的时间仅为基线算法 DeepStack 的 1%-2%。黄隆波研究组还在资源限制的条件下将 EVPA 与 DeepStack 的复制版本和公开高性能人工智能 Slumbot 进行了直接比较。当限制访问 107,108,109 次信息集时，EVPA 分别以 $903 \pm 23,202 \pm 31,82 \pm 60$ 个大盲注每千手的赢率击败了 DeepStack 的复制品。当限制计算时间为 0.02, 0.2 和 2 秒时，EVPA 相比于 DeepStack 复制品对 Slumbot 的额外赢率分别为 583, 205, 67 个大盲注每千手。这些实验说明，EVPA 是目前在运行时间限制条件下解决大型 IIEFG 的最优算法。

该成果研究论文：Boning Li, Longbo Huang, “Efficient Online Pruning and Abstraction for Imperfect Information Extensive-Form Games,” ICLR 2025.

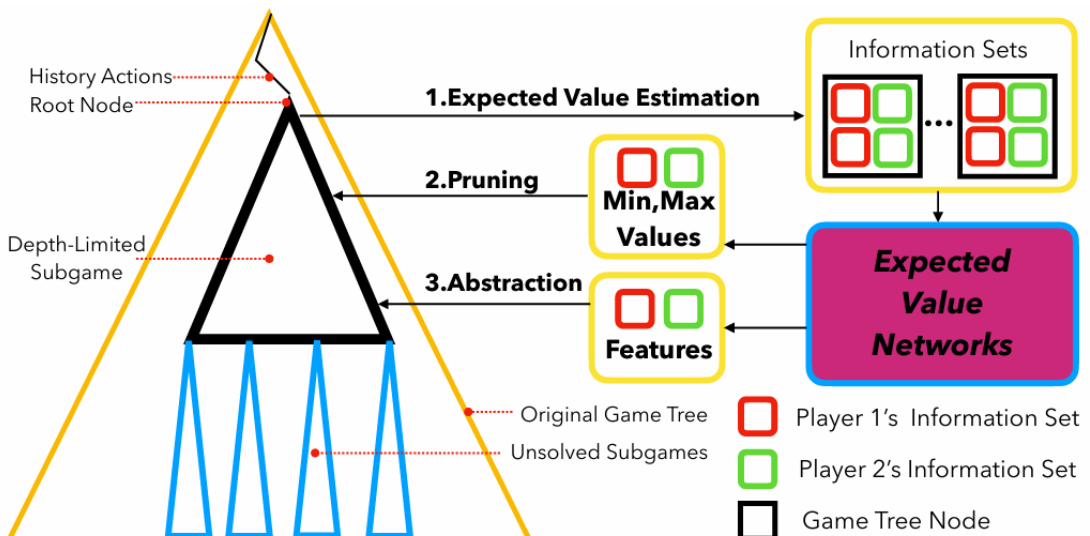


图 1：EVPA 算法示意图

激励真相探索与诚实报告的合约设计方法

合约理论 (Contract Theory) 是经济学的一个传统分支，旨在研究在信息不对称的情形下，委托人 (principal) 应如何设计激励机制，使代理人 (agent) 有动力按照委托人的目标执行任务。在经典框架中，研究重点通常在于现金支付如何基于可观测结果进行设计，以缓解由于信息不对称引发的道德风险或逆向选择问题。近期越来越多的研究从计算科学的视角重新审视合约设计问题，强调算法设计、计算复杂性及机制可实现性等因素。现实中一种重要的合约设计场景是真相探索。例如，投资者可能会雇佣金融专家进行市场调研，并根据专家提供的信息做出投资决策。在此类情境下，关键问题在于如何设计合适的支付方案，使得专家有动力尽力调研并诚实地报告其获得的信息。

房智轩研究组研究了真实状态最终可被委托人观察的真相探索场景。他们分析了代理人在给定合约下的理性行为，并从理论上证明：最优合约必然激励代理人诚实报告，因此具有简洁的对角线结构。基于这一重要结论，研究组设计了一种高效算法，通过求解多项式数量的线性规划来获得最优合约。进一步地，房智轩研究组还研究了真实状态最终不可被委托人观察的真相探索情形。在可以观测到带噪声环境信号的前提下，他们设计了一种有界狄拉克脉冲合约，并从理论上证明了该合约的近似最优性。此外，该研究组在最优合约的理论性质方面也取得了进展。一方面，他们发现了效用最优合约在某些情形下无法激励代理人诚实报告的反例；另一方面，他们也提出了最优合约能够激励诚实报告的一组充分条件。

该成果研究论文：Shao, Yuming, and Zhixuan Fang, "Incentivizing Truth Exploration and Honest Reporting: A Contract Design Approach", AAMAS 2025.

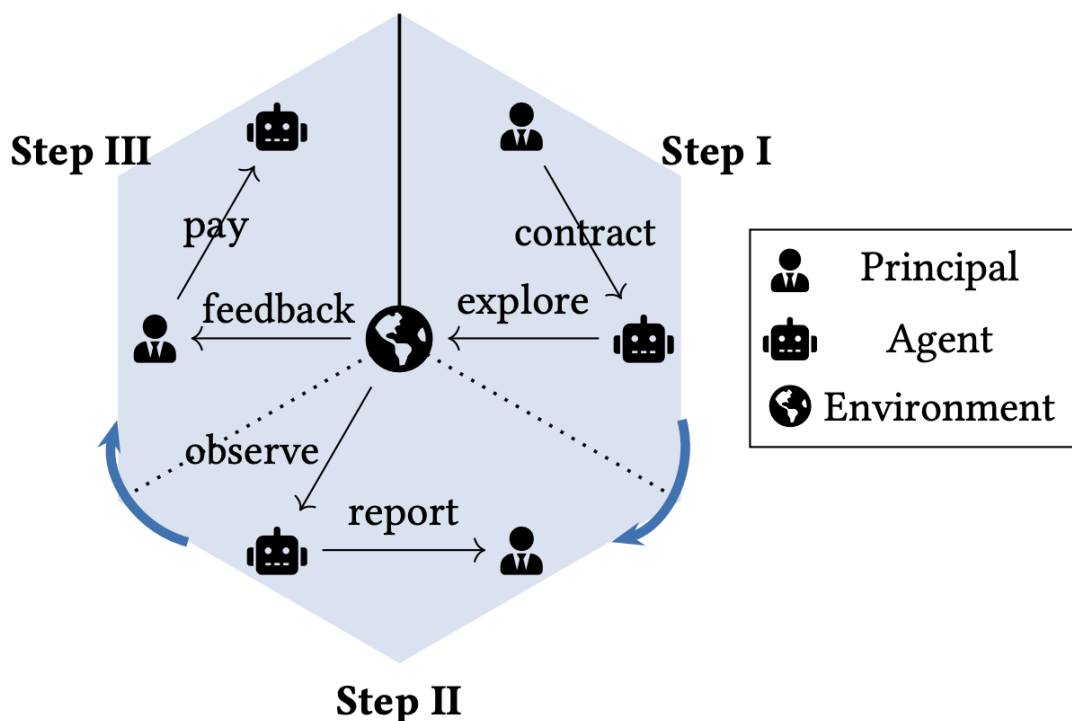


图 1. 委托人 - 代理人完整交互过程

量子信息



一、离子阱量子模拟

主要完成人：段路明研究组、吴宇恺研究组

实现三百离子量子比特规模的哈密顿量学习

段路明、吴宇恺研究组在离子阱量子模拟领域取得重要进展，首次设计并实现了适用于300离子量子比特规模的长程伊辛模型的哈密顿量学习方案。该方案实现了大规模离子阱系统哈密顿量的定量标定，为离子阱量子模拟机的应用奠定了基础。

具有数百量子比特的量子模拟机有望应用于求解复杂的量子多体模型，超越经典计算机的直接模拟能力。而对量子比特之间相互作用哈密顿量的定量标定，即哈密顿量学习，是量子模拟机应用的先决条件。传统的量子过程层析方法的复杂度随着量子比特数指数增加，不适用于数百量子比特的规模；而现有的哈密顿量学习算法通常需要制备给定哈密顿量的基态或热态作为量子资源，或是需要实现高保真度、单独寻址的量子逻辑门，难以在当前的很多量子模拟机上实现。

该工作中，研究人员利用低温一体化离子阱囚禁了300离子的二维阵列，基于全局量子操控和对量子比特的单点分辨探测，实现了长程伊辛模型的哈密顿量学习，且所需的实验资源不随量子比特数显著增长，有望扩展到未来更大规模的量子系统。

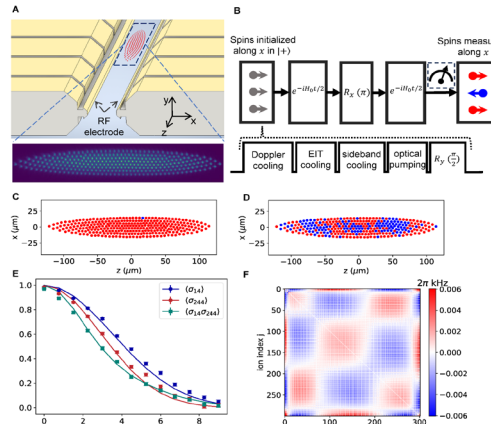


图1 哈密顿量学习实验方案示意图

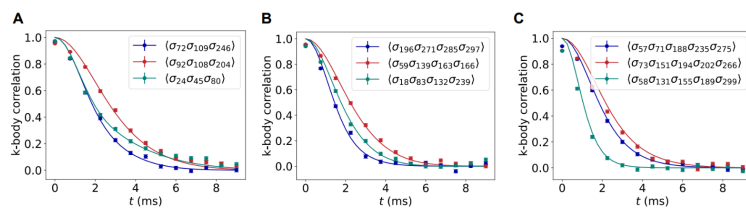


图2 利用多体自旋关联验证哈密顿量学习的结果

为进一步验证哈密顿量学习结果的正确性，研究人员利用标定的参数预测多体自旋关联函数随时间的演化，并与实验测量结果对比，对于任意选取的三体、四体、五体关联均取得相符的结果，从而排除了哈密顿量学习中过拟合的影响。

该成果研究论文：Shi-An Guo, Yu- Kai Wu, Jing Ye1, Lin Zhang, Ye Wang, Wen-Qian Lian, Rui Yao, Yu- Lin Xu, Chi Zhang, Yu- Zi Xu, Bin-Xiang Qi, Pan-Yu Hou, Li He, Zi-Chao Zhou, Lu- Ming Duan, “Hamiltonian learning for 300 trapped ion qubits with long-range couplings”, Science Advances 2025.

二、离子阱量子网络

主要完成人：段路明研究组、濮云飞研究组

首次实现无串扰的两离子长距离量子网络节点

大规模量子网络能够通过光子信道将不同的本地节点连接在一起，实现诸如分布式量子计算、网络化量子传感以及全球量子通信等关键应用。量子网络已在多种物理系统中取得了进展。在这些不同的物理平台中，囚禁离子是构建大规模量子网络和量子中继最具潜力的系统之一。离子阱平台有着所有物理系统中最高的量子逻辑门保真度和量子态探测保真度，这对大规模量子网络中所需的纠缠交换、提纯以及纠错至关重要。离子阱体系还具有超长相干时间，

双节点间预报式纠缠的高保真度和高速率等优势。为实现离子量子网络，每个网络节点中需要至少两种相互无串扰的量子比特，以及能够高效产生离子和通信波段光子预报式纠缠的量子接口。在此工作中，濮云飞、段路明研究组基于两个囚禁钙离子，首次实现了一个与通信波段光子兼容且内部无串扰的量子网络节点。实验中，存储量子比特编码在一个长寿命的亚稳态能级上，以避免与编码在同种离子的另一子空间中的通信量子比特产生串扰（图 1）。研究人员通过量子波长转换模块，在 12 千米光纤上产生了预报式离子 - 光子纠缠。该工作标志着向实现城际离子阱量子中继和量子网络迈出的重要一步。

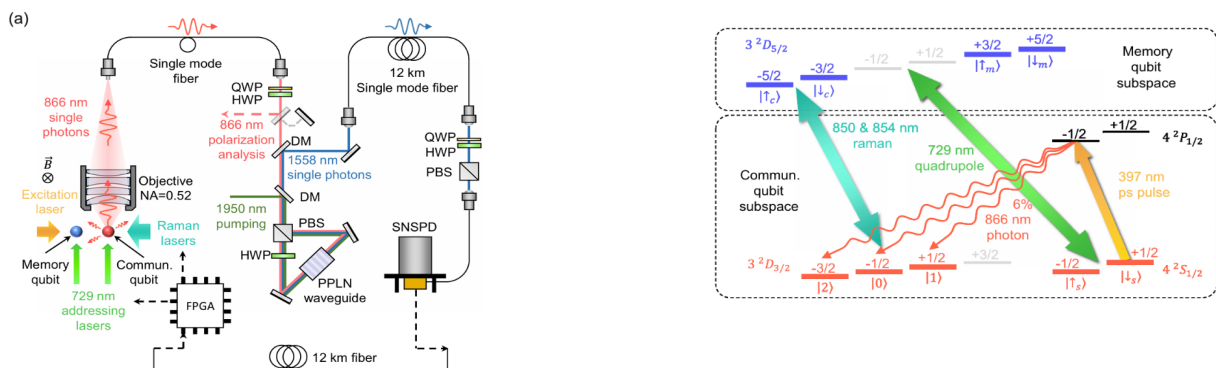


图 1 哈密顿量学习实验方案示意图

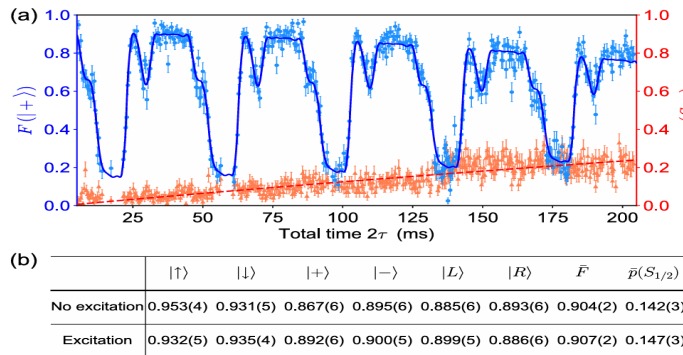


图 2 利用多体自旋关联验证哈密顿量学习的结果

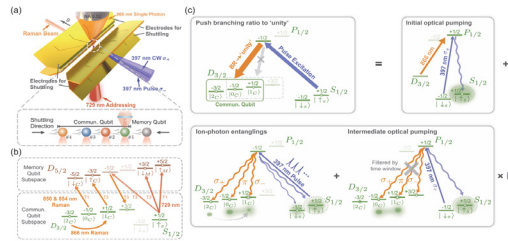
此外，研究人员对网络节点的存储性能进行了表征，证实了在对通信量子比特进行各类操作时，存储量子比特中的量子信息不受影响。基于这些成果，研究组利用钙离子实现了一个极具潜力的量子网络节点，该节点满足了长距离量子网络的各项基本要求。

该成果研究论文：P.-C. Lai*, Y. Wang*, J.-X. Shi*, Z.-B. Cui, Z.-Q. Wang, S. Zhang, P.-Y. Liu, Y.-D. Sun, X.-Y. Chang, B.-X. Qi, Y.-Y. Huang, Z.-C. Zhou, Y.-K. Wu, Y. Xu, Y.-F. Pu# and L.-M. Duan#, “Realization of a Crosstalk-Free Two-Ion Node for Long-Distance Quantum Networking”, Phys. Rev. Lett. 134, 070801 (2025).

实现多模式增强的城际离子阱量子网络节点

当前量子网络发展的主要瓶颈在于两个量子网络节点间预报式纠缠的产生速率远低于本地节点退相干的速率。这个问题的存在严重阻碍了量子网络的规模化扩展。

段路明、濮云飞研究组通过多模式复用的方法提高了城际离子阱量子网络的纠缠速率。研究人员通过一种全新的“多重激发”的方法，并结合离子搬运，在12km的光纤距离上将离子-光子预报式纠缠时间缩短至234ms。该纠缠时间已经短于本地节点退相干时间366ms。本实验达成了城际距离上(>10km)预报式纠缠的速率超过退相干速率的目标，在世界上首次达到城际量子网络的扩展阈值。实验示意图如下：



实验系统与多模式复用方案

该成果研究论文：Z.-B. Cui, Z.-Q. Wang, P.-C. Lai, Y. Wang, J.-X. Shi, P.-Y. Liu, Y.-D. Sun, Z.-C. Tian, B.-X. Qi, Y.-Y. Huang, Z.-C. Zhou, Y.-K. Wu, Y. Xu, L.-M. Duan# and Y.-F. Pu#, “A metropolitan-scale trapped-ion quantum network node with hybrid multiplexing enhancements” , arXiv:2503:13898.

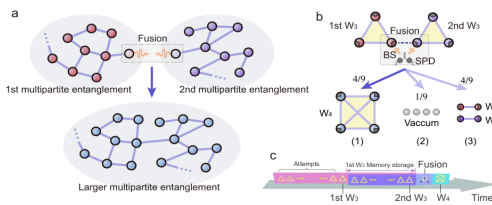
三、中性原子量子网络

主要完成人：段路明研究组、濮云飞研究组

首次实现两个多体纠缠态的存储增强的融合

量子多体纠缠态是量子信息领域诸多关键应用的重要资源，高效的制备量子多体纠缠态对这些关键应用的落地至关重要。然而，量子多体纠缠态的制备非常困难，如何以模块化、可扩展的方法制备量子多体纠缠态，是当前量子信息领域的一个难题。

濮云飞、段路明研究组与山西大学王海研究组合作，通过存储增强的方法，将两个较小规模的量子多体纠缠态融合成了一个更大规模的多体纠缠态，首次展示了一种高效率制备大规模量子多体纠缠态的方法。研究人员借助中性原子量子存储器，异步制备了两个3体W-state纠缠态，并通过纠缠交换的方式完成纠缠融合，最终制备了一个更大规模的4体W-state纠缠态。通过量子存储器的使用，实验实现了纠缠融合的成功率正比于纠缠制备的成功率，相较于没有量子存储时二次方的成功率提升了两个数量级。该工作为未来模块化，高效率的制备量子多体纠缠态提供了一种可行的方案。实验示意图如下：



实验系统与纠缠融合方案

该成果研究论文: Jixuan Shi, Sheng Zhang, Yukai Wu, Yuedong Sun, Yibo Liang, Hai Wang, Yunfei Pu#, Luming Duan, "Scalable and modular generation of multipartite entangled states through memory-enhanced fusion" , arXiv:2504:16399.

四、金刚石量子网络

主要完成人：段路明研究组、邓东灵研究组、侯攀宇研究组

首次在量子网络节点中实现混合量子比特纠缠与比特翻转错误纠正

随着量子信息技术的迅猛发展，量子网络已被视为实现量子通信、分布式量子计算和量子精密测量的重要平台。然而，构建高效且稳定的量子网络节点始终面临接口匹配、信号衰减和误差积累等诸多挑战。针对这一问题，研究人员利用金刚石中氮-空位 (NV) 中心这一独特平台，实现了电子、自旋与光子三种截然不同物理系统间的混合量子纠缠（图 1），同时，通过引入多核自旋比特实现重复编码方案，成功校正了比特翻转错误。

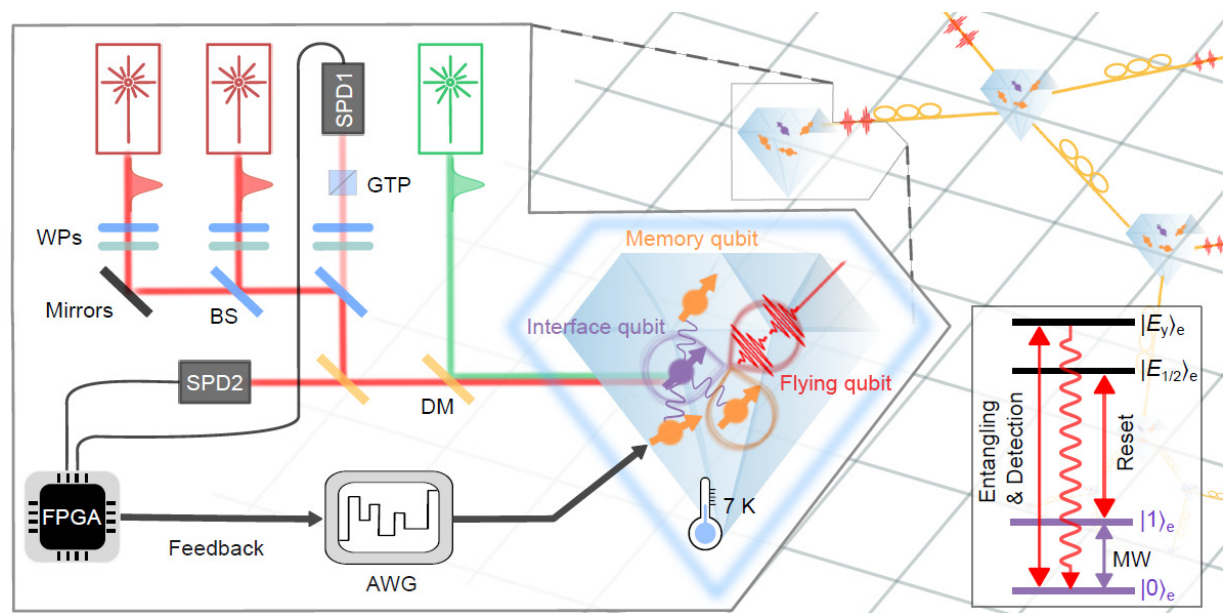


图 1：基于金刚石 NV 色心的可纠错混合量子比特网络节点

在实验中，研究人员首先利用微波脉冲和激光脉冲对 NV 中心内的电子自旋和附近核自旋进行精确控制，通过巧妙设计的脉冲序列（图 2），实现了基于时间仓编码的单光子产生，并与局域自旋形成 GHZ 型纠缠态。该纠缠态跨越射频、微波和光学频段，不仅证明了不同物理平台之间的协同作用，更为量子信息的跨节点传输奠定了基础。

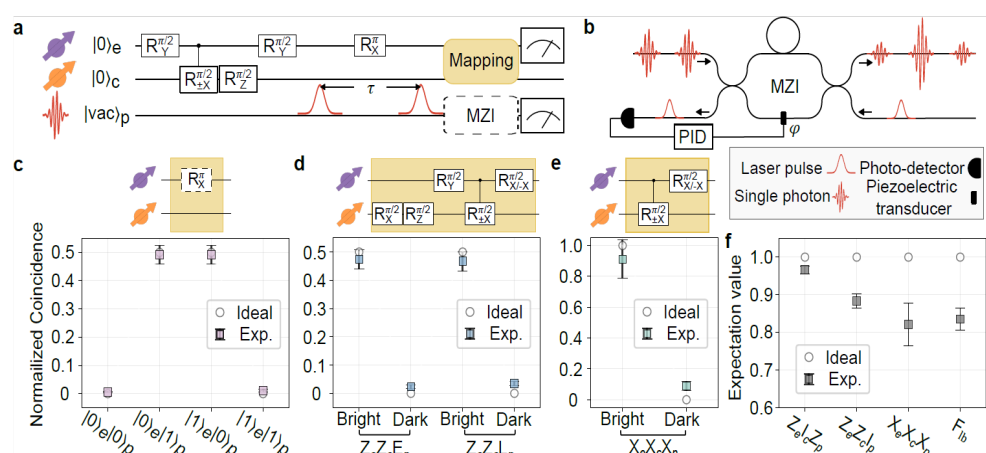


图 2：金刚石 NV 系统中电子自旋-核自旋-单光子 GHZ 态的制备与测量

为应对量子网络运行中不可避免的误差积累问题，研究组进一步引入三比特重复编码方案，将三个核自旋共同编码为逻辑量子比特。借助电子自旋作为接口，实时读取错误信息，并利用快速反馈机制对比特翻转错误进行校正。实验数据显示，经多轮（多至十二轮）连续错误校正后，逻辑 - 光子联合态的保真度显著高于未校正情况，充分展示了错误校正策略在量子存储和量子通信中的有效性（图 3）。该项成果突破了传统单一物理平台在量子信息处理上的限制，首次将混合纠缠和主动错误校正技术成功整合于一个量子网络节点内，有望推动量子中继和量子互联网技术向实用化迈进。

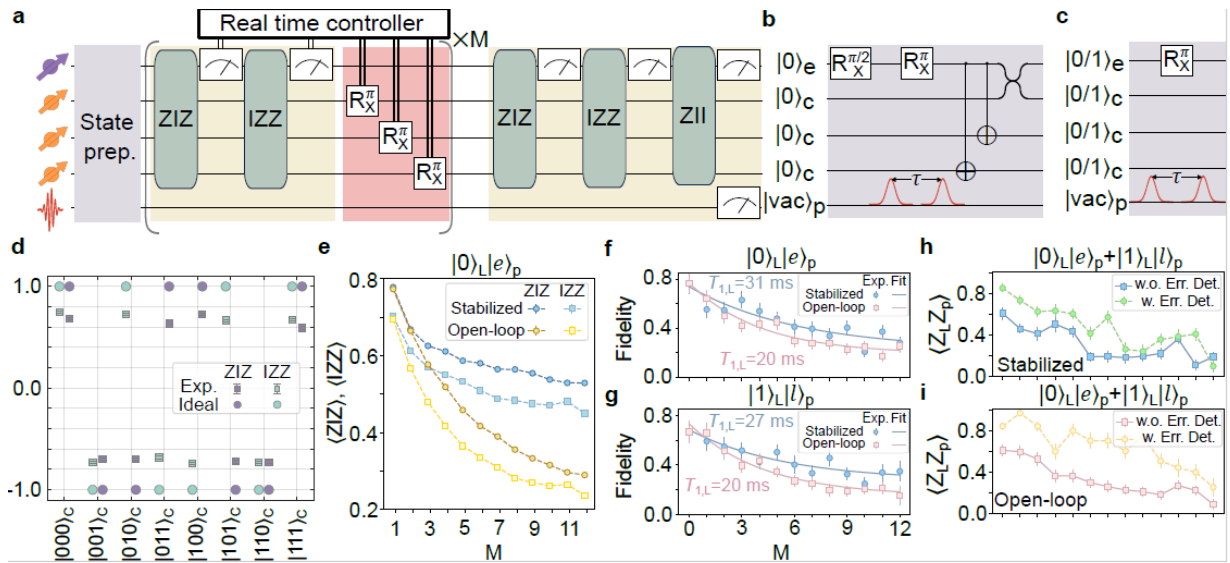


图 3：混合量子网络节点中利用重复码演示对比特翻转的连续纠错

该成果研究论文：Xiu-Ying Chang, Pan-Yu Hou, Wen-Gang Zhang, Xiang-Qian Meng, Ye-Fei Yu, Ya-Nan Lu, Yan-Qing Liu, Bin-Xiang Qi, Dong-Ling Deng & Lu-Ming Duan , “Hybrid entanglement and bit-flip error correction in a scalable quantum network node” , Nature Physics 2025.

五、量子信息

主要完成人：马雄峰研究组

随机基准测试中的电路复用策略优化及其实验验证

电路复用 (circuit reusing) 是当前量子测量与学习任务中广泛采用的节省实验资源策略，尤其在随机基准测试等随机化协议中频繁应用。尽管复用能有效降低测量成本，但复用次数过多会导致结果相关性增强，进而增大方差、影响估计精度。因此，如何在给定资源预算下合理选择复用次数以实现最优测量精度，一直是量子实验设计的关键问题。针对这一挑战，马雄峰及其研究组本科生陈卓、博士生刘国定，提出了关于电路复用方差的通用理论框架，并结合实际硬件噪声模型，对复用次数的最优选取进行了系统分析。

马雄峰研究组首先在理论上构建了电路复用成本模型，刻画了复用次数、实验总轮数与测量方差的关系，给出已知噪声模型下的最优复用策略；随后进一步提出无需噪声先验信息却能实现近最优精度的通用策略。在超导量子比特平台上的实验表明，该策略在两比特标准随机基准测试任务中适用性良好，所需复用次数与理论预测高度一致，验证了模型的有效性。该研究为量子基准测试及广义量子估计任务的资源调度提供了理论指导与实验参考，相关成果发表于《Quantum》期刊 [Quantum 9, 1606 (2025)]。

该成果研究论文：Zhuo Chen, Guoding Liu, Xiongfeng Ma, “Optimizing Circuit Reusing and its Application in Randomized Benchmarking” ,Quantum 9, 1606 (2025).

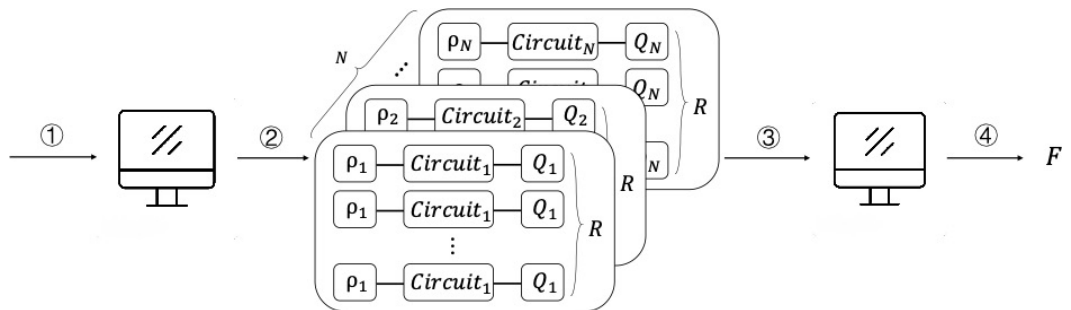


图 1 量子学习与电路复用策略示意图

基于特征标平均标定协议的超导处理器多量子比特门标定实验

特征标平均标定协议 (character-average benchmarking, CAB) 是一种新兴的可扩展量子门性能评估方法, 能够在浅层电路深度下, 精准测量多量子比特门的全局保真度与相关性。马雄峰及其博士生刘国定与中国科学技术大学合作, 基于该协议在 54 量子比特超导处理器上, 成功评估了多种大规模量子门, 包括最高达 46 比特的全连通门、最高达 52 比特的并行 CZ 门。研究首次实现并行 44 比特 CZ 门 $63.09\% \pm 0.23\%$ 的全局保真度, 并通过实验捕捉到局部 CZ 门间微弱却非零的相关性与串扰现象, 这些实验数据与研究组构建的去极化噪声和 ZZ 桥合噪声复合模型高度契合。

马雄峰研究组进一步针对并行 6 比特 CZ 门开展基于全局保真度的优化实验, 将其保真度从 87.65% 提升至 92.04%, 同时将门间相关性由 3.53% 降至 3.22%。相较于仅依赖局部 CZ 门保真度的传统优化方法, 这种全局导向优化策略更有效地抑制了 ZZ 桥合引发的串扰问题。该成果不仅验证了 CAB 协议在超导量子计算平台的实用性, 更为大型量子门的高精度标定与性能优化提供了创新方案。

该成果研究论文: Daojin Fan, Guoding Liu, Shaowei Li, Ming Gong, Dachao Wu, Yiming Zhang, Chen Zha, Fusheng Chen, Sirui Cao, Yangsen Ye, Qingling Zhu, Chong Ying, Shaojun Guo, Haoran Qian, Yulin Wu, Hui Deng, Gang Wu, Cheng-Zhi Peng, Xiongfeng Ma, Xiaobo Zhu, Jian-Wei Pan, “Calibrating quantum gates up to 52 qubits in a superconducting processor”, npj Quantum Inf 11, 33 (2025).

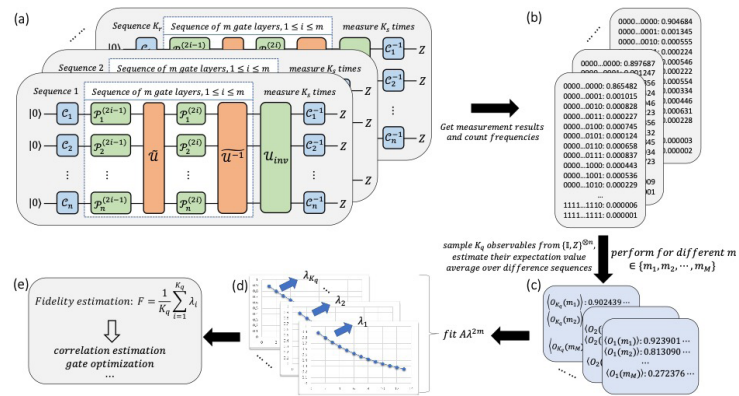


图 2 特征标平均标定协议流程图

局域操作与经典通信辅助的变分量子线路

长程量子纠缠是量子信息处理中的关键资源。根据定义，长程纠缠态指的是那些需要深量子线路才能从初始直积态制备得到的量子态。典型例子包括 GHZ 态，它在量子通信、密码学和量子计算中具有广泛应用；表面码态作为拓扑序的代表，也是长程纠缠态的典型例子，可用作拓扑量子存储和计算的资源。从更广义角度看，量子拓扑序和量子纠错码的本质都依赖于长程纠缠。尽管长程纠缠态具有重要价值，其制备在实验上却面临巨大挑战，主要原因在于所需量子线路的深度较大。已有研究指出，在某些特定情形下，局域操作与经典通信（LOCC）可以在一定程度上帮助减少所需的线路深度。然而，在更一般情形下，如何设计利用 LOCC 辅助制备长程纠缠态的高效线路，仍是一个复杂且未解决的问题。

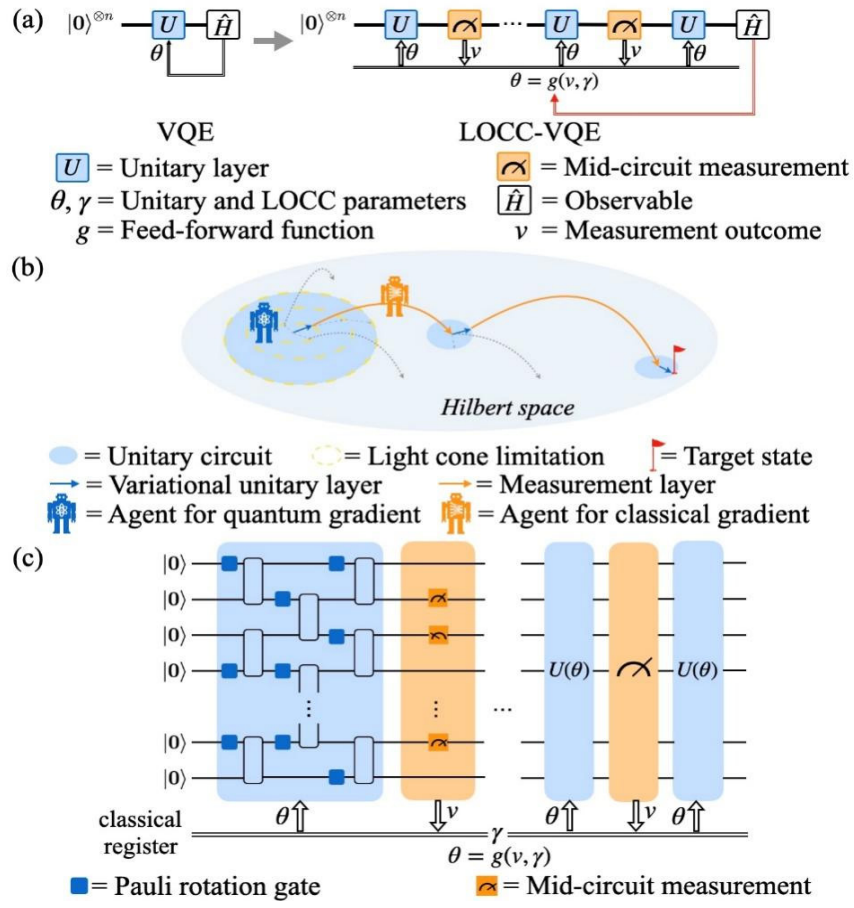


图 1 变分局域操作与经典通讯辅助量子线路，及其用于长程纠缠态制备的流程

针对这一难题，马雄峰及研究组博士生鄢语轩、本科生马牧洲和复旦大学周游合作提出了一种局域操作与经典通信辅助的变分量子本征态求解器（LOCC-VQE），用于求解给定哈密顿量的长程纠缠基态。为优化 LOCC 协议，研究组引入了一种高效的量子经典混合策略估算参数梯度，并提出明确合理的条件以避免梯度消失（即“贫瘠高原”）问题。基于获得的梯度信息，可利用梯度下降优化能量，从而通过 LOCC-VQE 得到系统的基态。值得强调的是，LOCC 协议的形式具有高度灵活性，可通过查找表、神经网络等多种方式融入经典处理过程。通过合理选择协议形式，既能避免训练困难，又能充分发挥 LOCC 的辅助作用。研究组通过数值模拟验证了微扰下的 GHZ 态和表面码态，结果表明：在相同线路深度下，LOCC-VQE 在能量精度上实现了数量级提升，这一优势不仅在实验结果中得以体现，也可通过量子信息论方法严格论证。

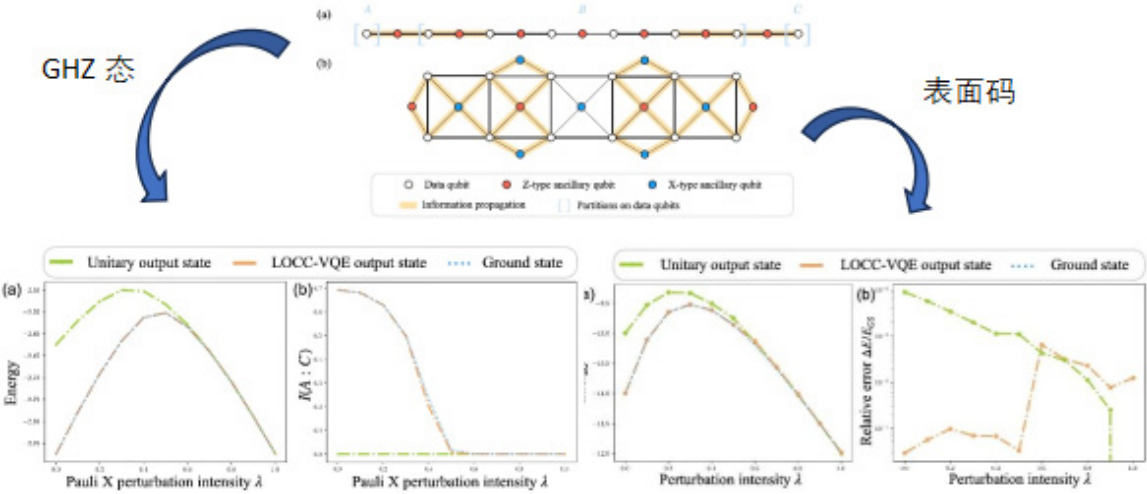


图 2 该方法用于不同物理模型的数值结果

该工作为长程纠缠态的高效制备提供了新解决方案，未来有望在实际量子计算实验平台落地应用，并在量子纠错、拓扑序及量子算法研究中展现潜在优势。相关成果已发表于《Physical Review Letters》期刊 [Phys. Rev. Lett. 134, 170601 (2025)]。

该成果研究论文：Yuxuan Yan, Muzhou Ma, You Zhou, and Xiongfeng Ma, “Variational LOCC-Assisted Quantum Circuits for Long-Range Entangled States” ,Phys. Rev. Lett. 134, 170601 (2025).

非局域性测试中量子资源的相互作用关系

贝尔不等式的违反不仅揭示了量子纠缠的存在，也反映了量子测量之间的不相容性。非局域性、纠缠和测量不相容性作为三种核心的量子资源，不仅在量子理论基础研究中占据重要地位，也广泛应用于量子密钥分发和量子随机数生成等前沿量子技术中。尽管非局域性通常需要纠缠和测量不相容性的共同作用，三者之间的定量关系仍然复杂且难以完全揭示。

在该项研究中，马雄峰及其博士生朱雨薇、张行健与中国科学技术大学合作，采用倾斜型 CHSH 贝尔不等式，构建了高效率、闭合漏洞的光学非局域性实验平台，实现了 2.0132 的显著贝尔不等式违反。在此基础上，研究组从设备无关的角度对纠缠量和测量不相容性进行了精确估计，分别得到 0.0159 和 4.3883×10^{-5} 的下界。进一步地，研究组通过引入贝尔态的混合态制备方案灵活调控纠缠量，并利用高速波片切换技术调控测量不相容性。实验发现：在固定纠缠量的前提下，增加测量不相容性并不总是增强非局域性，反而在一定条件下会削弱贝尔违反。这一反直觉的现象首次在实验中得到明确证实，表明非局域性、纠缠与测量不相容性三者间存在高度非线性的相互作用关系。

该研究为量子信息处理任务中资源的最优配置提供了新的理论支撑和实验依据，尤其对设备无关的量子协议设计具有重要意义。研究成果发表于《Physical Review Research》期刊 [PhysRevResearch.7.L022055(2025)]。

该成果研究论文：Dong, Hai-Hao ; Zhu, Yuwei ; Cheng, Su-Yi ; Zhang, Xingjian; Li, Cheng-Long ; Li, Ying-Zhao ; Li, Hao; You, Lixing ; Ma, Xiongfeng; Zhang, Qiang; Pan, Jian-Wei, “Interplay of quantum resources in nonlocality tests” ,PhysRevResearc h.7.L022055(2025).

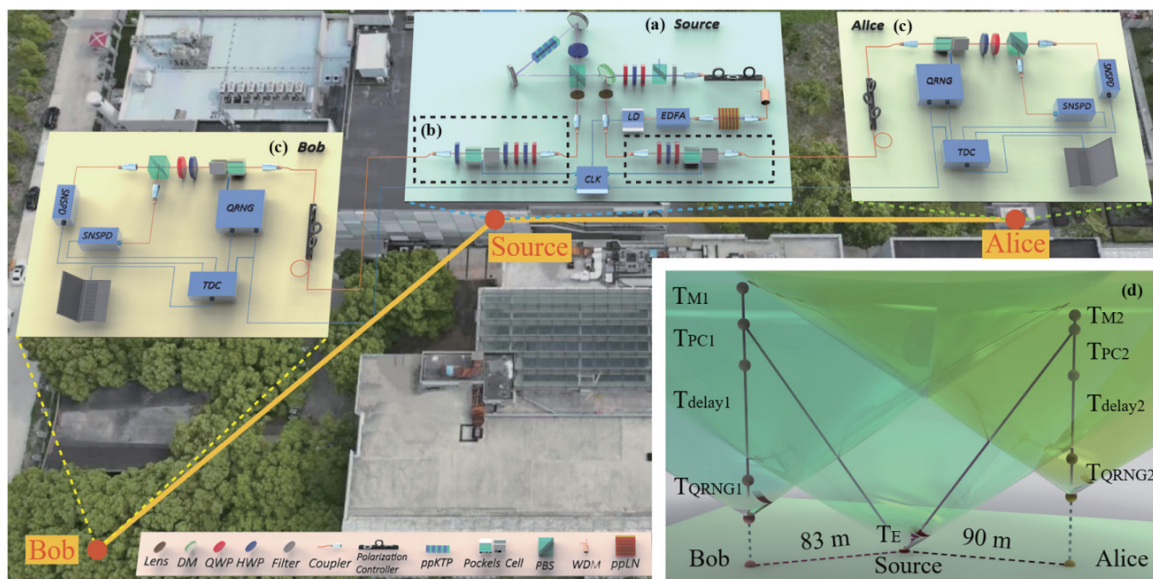


图 5 非局域性测试实验装置示意图

模式匹配量子密钥分发协议突破无中继极限的实验实现

量子密钥分发 (QKD) 作为实现信息论安全通信的核心技术，在构建未来量子网络中具有关键作用。然而，受限于光子在信道中的固有损耗，传统点对点 QKD 协议的密钥率受限于线性损耗比例，即“无中继极限”。为突破这一限制，近年来涌现出双场 QKD、模式匹配 (MP) QKD 等具有类中继损耗缩放优势的协议，其中 MP-QKD 因不依赖全局相位参考，在实际应用中展现出更高可行性。

在该项研究中，马雄峰及其博士生黄溢智与中国科学技术大学，设计并实现了基于商用激光器的高性能 MP-QKD 系统。该系统首次在 403 公里光纤信道中实现 47.8 比特 / 秒的密钥生成速率，以 2.92 倍优势突破无中继极限。实验中，研究组提出并实现基于快速傅里叶变换 (FFT) 的频率跟踪算法，有效抑制商用激光器的相位漂移问题，使系统支持最长 160 微秒的模式配对时间窗口，在控制误码率的同时显著提升密钥生成效率。此外，研究通过理论建模定量分析相位噪声对系统性能的影响，并完成参数全面优化。对比研究表明：MP-QKD 协议在短距离场景下的密钥率显著优于无锁相双场 QKD，而后者在长距离通信中更具优势。这一互补性为大规模量子通信网络的分层结构设计提供了理论与实验支撑。相关成果发表于《Physical Review X》期刊 [PhysRevX.15.021037(2025)]。

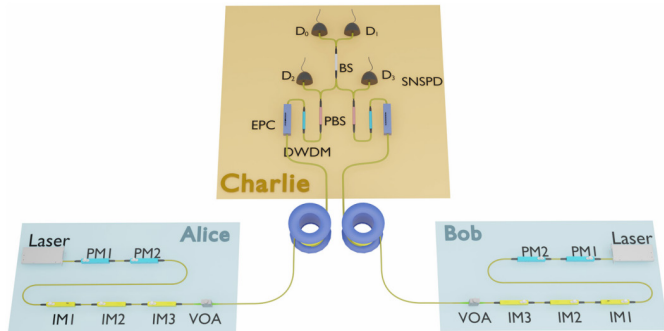


图 6 模式匹配量子密钥分发实验示意图

该成果研究论文：Likang Zhang, Wei Li, Jiawei Pan, Yichen Lu, Wenwen Li, Zheng-Ping Li, Yizhi Huang, Xiongfeng Ma, Feihu Xu, “Experimental Mode-Pairing Quantum Key Distribution Surpassing the Repeaterless Bound” ,PhysRevX.15.021037(2025).

六、量子人工智能

主要完成人：邓东灵研究组、孙麓岩研究组

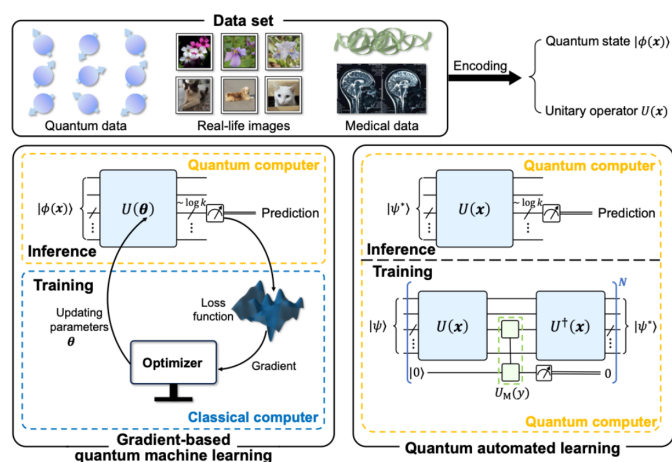
量子自动学习

量子机器学习是一个近年来备受关注的交叉前沿领域。近期的研究多集中于经典 - 量子混合方法，且学习过程严重依赖于模型参数的梯度计算。随着模型规模和可训练参数数量的增加，所需的计算量急剧上升，使得量子机器学习难以大规模化。此外，目前主流的量子机器学习方法尚缺乏收敛到全局最小值的理论保证。如何在未来设计出既能规模化又具备理论收敛保证的量子机器学习算法，成为了一个亟待解决的重要问题。

在此背景下，该文提出了一种量子自动学习范式，其不依赖任何可变训练参数，而是将模型训练过程等价转化为量子态的制备。具体地，邓东灵研究组将训练数据编码为一系列幺正算符，并以随机初始态为起点，交替施加这些幺正算符及其逆算符，并在两者之间插入微扰算符，以提升预测精度。在合理假设条件下，邓东灵研究组严格证明该演化过程以指数收敛的速率逼近对应于损失函数全局最小值的目标量子态。进一步地，邓东灵研究组还证明了这种数据编码幺正算符与目标导向微扰的训练过程是一个虚时演化，驱动着模型态向最优化收敛，实现了自动化的无梯度训练过程。此外，邓东灵研究组证明了该范式具备通用表示能力，其泛化误差上界可由希尔伯特空间维度与训练样本数之比的对数来刻画，从而保证模型具备良好的泛化性能。最后，通过对真实图像数据和量子数据的数值模拟，邓东灵研究组验证了方法的有效性及所需假设的合理性。邓东灵研究组提出的无梯度、具备理论可证明性和可解释性的量子自动学习范式，不仅提升了量子计算在大规模机器学习任务中的应用潜力，也为未来量子机器学习的发展开辟了新的研究路径。

该研究提供了一种无需经典计算机辅助、完全自动化的量子机器学习方案，构建了基于量子态制备实现模型自动化训练的新框架，对未来相关方面的理论和实验研究提供了指导。

该成果研究论文：Qi Ye, Shuangyue Geng, Zizhao Han, Weikang Li, L.-M. Duan, Dong-Ling Deng, Quantum automated learning with provable and explainable trainability, arXiv:2502.05264v1.



基于生成模型的量子态重构

随着量子计算的高速发展，可控量子比特数量不断增长。如何基于量子计算机的测量输出结果，高效推断出相应量子体系的真实量子态正在成为一项关键挑战。传统的量子态层析技术（QST）在处理大规模量子系统时面临指数级资源消耗，因而其应用仅限制在小量子系统中。孙麓岩研究组与邓东灵研究组合作提出并演示了一种高效的循环神经网络机器学习模型用于执行重构量子态任务。该方法显著降低了实验测量资源需求，并将现代深度学习算法与量子信息工具相结合，为噪声中等规模量子（NISQ）时代的量子设备表征提供了一种高效且可扩展的新工具。

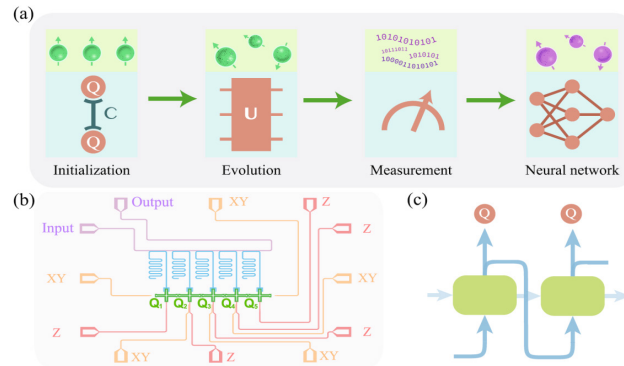


图 1：超导量子芯片及递归神经网络生成式量子态重构算法示意图

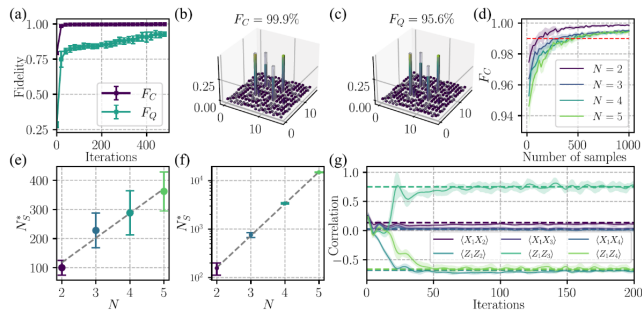


图 2：循环神经网络的训练效果和相较于量子态层析显著降低的资源消耗

研究组在超导量子芯片上制备了最大 5 个量子比特的 Greenberger-Horne-Zeilinger (GHZ) 纠缠态，并通过完备的正算子值测度 (POVM) 进行测量。测量结果既用于迭代循环神经网络中的可变参数，也用于运行传统量子层析方法。利用循环神经网络生成模型，研究组成功从测量数据中重构了量子态，并发现所需的测量样本数量随系统规模线性增长，相较传统量子态层析方法的指数增长有显著优势。此外，该方法不仅适用于高度纠缠的 GHZ 态，还能有效处理随机生成的量子态，展示了其广泛的适用性。实验结果还表明，生成模型能够准确提取量子态的两体关联信息，并与实验结果高度一致。

该成果研究论文：Li Xuegang, Jiang Wenjie, Hua Ziyue, Wang Weiting, Pan Xiaoxuan, Cai Weizhou, Lu Zhide, Han Jiaxiu, Wu Rebing, Zou Chang-Ling, Deng Dong-Ling, Sun Luyan, “Experimental demonstration of reconstructing quantum states with generative models”, *Science Bulletin*, 70, 1572 (2025).

七、超导量子计算

主要完成人：孙麓岩研究组

一种面向开放量子系统的鲁棒与最优控制算法

量子控制技术是实现量子计算与量子精密测量等应用的核心环节，其目标是在有限的系统参数与噪声条件下，实现高保真度的量子操作。然而，传统的量子控制多局限于封闭量子系统的理想情形，忽略了现实实验中普遍存在的参数不确定性与系统退相干等问题，从而制约了量子技术的实际性能。

为解决这一挑战，孙麓岩研究组在经典 GRAPE（梯度上升脉冲工程）算法基础上，提出了一种“近似开放 GRAPE”算法（approximate Open-GRAPE）。该方法在保持较低计算复杂度的前提下，首次在优化过程中同时引入了系统参数扰动与环境噪声的影响，实现对开放量子系统中目标门操作的鲁棒优化。数值模拟显示，与传统封闭 GRAPE 算法相比，近似开放 GRAPE 算法能够显著提高优化脉冲的平均保真度（从 1.47% 降至 0.97%），并将获得高质量脉冲的概率提升超过 340 倍。

实验方面，研究组在三维超导腔 - 量子比特系统中实现了该算法的验证，并以二项式编码为例开展了量子门的优化控制实验。结果表明，近似开放 GRAPE 算法在未完美校准、参数存在漂移的现实系统中，仍能显著提高门操作的保真度（从 1.84% 降至 1.01%），并在重复逻辑门操作中实现了低至 0.44% 的最小误差，验证了其在真实系统中对噪声和参数不确定性的强鲁棒性。

此外，研究还系统分析了该算法的计算复杂度，结果表明其在考虑有限数量噪声源和不确定参数的情况下，优化过程的时间复杂度仅相较封闭系统略有增加，具备良好的可扩展性。例如，在维度达 10 的系统中，该算法仍可在个人电脑上完成运算，展示出极高的实用潜力。

这项工作不仅在算法设计上实现了对开放系统控制的有效突破，也在实验中验证了其在当前主流超导平台上的可行性和优势。相关成果有望为实现容错量子计算、提高量子传感器性能等实际应用奠定基础，并推广至如 Rydberg 原子、离子阱等其他量子平台。研究组指出，该方法未来可进一步拓展至非马尔科夫噪声的控制、量子测量优化等更复杂场景，有望成为通用开放系统量子控制的核心工具。

该论文的第一作者为中国科学技术大学博士生陈子杰、清华大学博士生黄泓伟和孙立达，论文通讯作者为清华大学孙麓岩教授、中科大邹长铃教授与邹旭波研究员。该项目得到了国家自然科学基金、科技创新 2030 重大项目、中央高校基本科研业务费等资助。

该成果研究论文：Zi-Jie Chen, Hongwei Huang, Lida Sun, Qing-Xuan Jie, Jie Zhou, Ziyue Hua, Yifang Xu, Weiting Wang, Guang-Can Guo, Chang-Ling Zou, Luyan Sun, Xu-Bo Zou, “Robust and optimal control of open quantum systems” , Science Advances 2025.

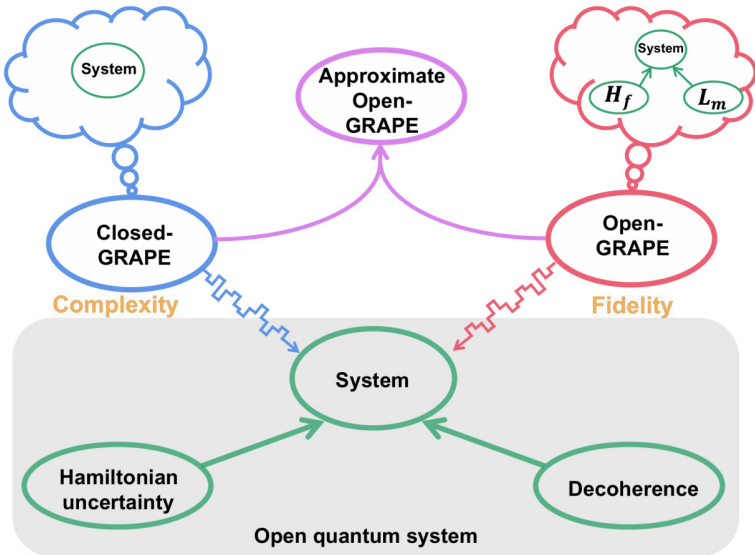


图 1：近似开放 GRAPE 算法概念图

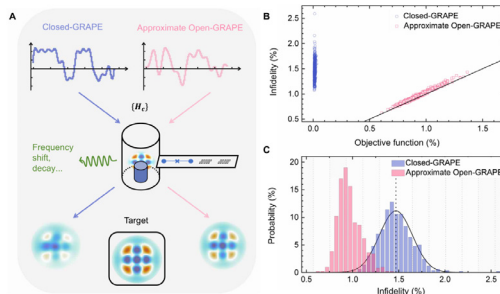


图 2：近似开放 GRAPE 算法与经典 GRAPE 算法数值仿真效果对比

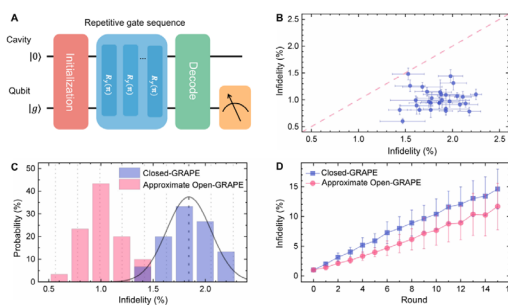


图 3：近似开放 GRAPE 算法与经典 GRAPE 算法实验效果对比

使用多回路超导干涉器件设计玻色模式的非线性

孙麓岩研究组与中国科学技术大学邹长铃研究组、清华大学集成电路学院刘玉玺研究组合作，提出了在玻色模式中实现复杂非线性驱动的新方法。

玻色模式，如超导谐振腔和机械振子，目前已成为很有前途的量子信息处理平台。基于玻色模式的量子纠错已取得了一系列重要进展，如猫态编码、二项式编码和 GKP 编码相继实现突破盈亏平衡点的纠错能力。其他基于玻色模式的新型量子比特，如猫量子比特和双轨量子比特等，也由于具有特殊的噪声性质而有利于减少量子纠错的硬件开销。例如，猫量子比特具有噪声偏置特性，即位翻转错误随平均光子数指数抑制。同时猫量子比特可以利用连续变量空间实现保持噪声偏置特性的 X 门、CNOT 门和 Toffoli 门，从而降低级联编码的纠错开销，高效地实现容错通用量子计算。

完全释放玻色纠错的潜力需要精确地控制玻色模式的非线性相互作用。尽管借助辅助量子比特可以实现多种玻色操作，但构建复杂的稳定哈密顿量和非线性过程仍然需要特殊设计的非线性器件。例如，猫量子比特的稳定和操控依赖于辅助非线性器件，如 Transmon、SQUID、SNAIL、ATS 等，可以满足一定阶段的实验需求。在控制高阶非线性的同时，还需要抑制不想要的低阶项来最小化残余误差，因此这仍是一个很有挑战性的问题。为克服这些问题，孙麓岩研究组提出使用多结多回路器件来直接控制各阶非线性哈密顿量，从而同时实现非线性系数设计和残余非线性抑制。

孙麓岩研究组提出了一种新型多回路超导量子干涉器件 (NEMS) 架构，可以通过调制多个回路中的磁通来实现任意非线性哈密顿量。他们将多回路超导量子干涉仪与一个电感并联，构造了一类约瑟夫森感性器件，并证明其静态和动态非线性可以被分别控制。通过在回路中引入多约瑟夫森结串联支路，研究人员可以实现不同形状的约瑟夫森势能。将多种不同的约瑟夫森势能进行比例组合，就可以一定程度上实现各阶非线性系数的任意控制。作为例子，研究人员构造了三种不同的 NEMS 器件：NEMS-3 器件可以实现三阶项主导的非线性驱动，NEMS-4 可以实现四阶项主导的非线性驱动，NEMS-5 可以实现五阶项主导的非线性驱动。这些器件同时具有较弱的静态非线性。

由于可以灵活地控制各阶非线性驱动强度，NEMS 器件可以用来实现复杂的玻色模式控制。研究人员讨论了将 NEMS 用于玻色控制的具体方案。其中，NEMS-3 器件可以用于实现克尔猫量子比特的噪声偏置 CNOT 门。由于需要复杂的三阶非线性驱动，这一门操作目前尚没有已发表的实验演示。相比于已有的基于 SNAIL 和 ATS 的理论门操作方案，基于 NEMS-3 的门操作方案可以产生三阶项主导的非线性驱动，具有抑制残余低阶和高阶非线性的能力，有望克服残余非线性导致的激发，实现较高的门操作保真度。此外，NEMS-4 和 NEMS-5 器件可以用于实现四维猫态的稳定，对猫态编码纠错具有重要的意义。四维猫态的稳定目前也尚没有已发表的实验演示。相比于其他理论方案，基于 NEMS-4 和 NEMS-5 的方案可以直接产生五光子相互作用主导的非线性哈密顿量，有望克服参与非线性的影响，实现高保真度的四维猫态稳定。

该成果研究论文：Ziyue Hua, Yifang Xu, Weiting Wang, Yuwei Ma, Jie Zhou, Weizhou Cai, Hao Ai, Yu-xi Liu, Ming Li, Chang-Ling Zou, Luyan Sun, “Engineering the nonlinearity of bosonic modes with a multiloop SQUID”，Physical Review Applied 2025.

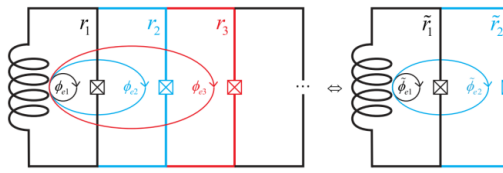


图 1: NEMS 器件概念图

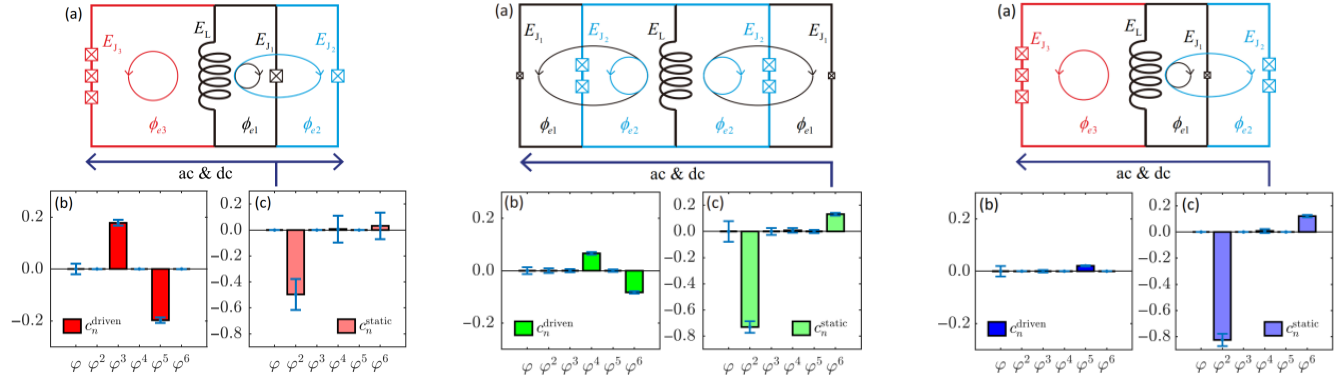


图 2: NEMS-3、NEMS-4、NEMS-5 器件示意图和非线性系数图

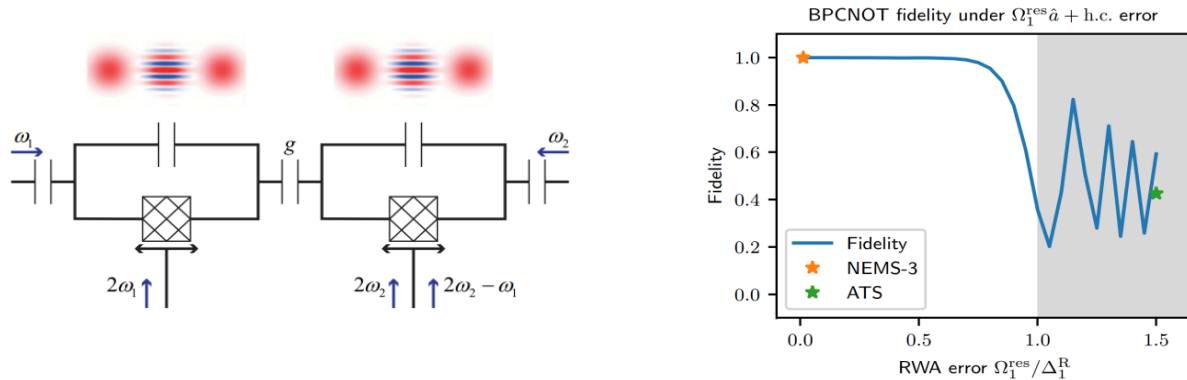


图 3: 使用 NEMS-3 器件实现克尔猫量子比特的 CNOT 门方案

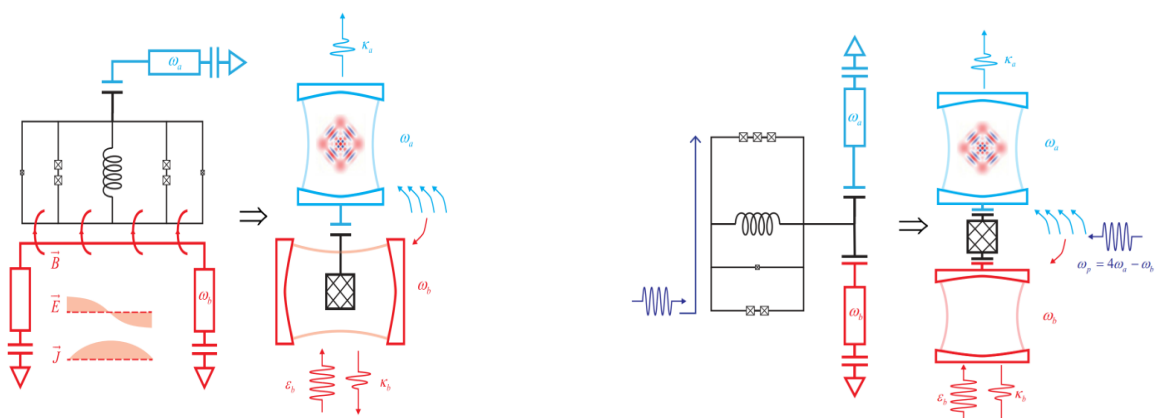


图 4: 使用 NEMS-4 和 NEMS-5 器件实现四维猫态稳定方案

对克尔猫量子比特初始化过程中的泵浦诱导频率偏移进行动态补偿

孙麓岩研究组与中国科学技术大学邹长铃研究组、集成电路学院刘玉玺研究组合作，首次在非线性多回路超导量子干涉器件中，实现了一个具有噪声偏置特性的克尔猫量子比特，并进一步研究了其绝热初始化过程中泵浦频移的影响。针对泵浦频移现象，他们提出了一种动态补偿方案，提高了初始化保真度。

噪声偏置的猫量子比特利用薛定谔猫态编码量子的信息，是目前的一个很有前途的硬件高效容错平台。它拥有指指数级抑制的位翻转错误和线性增加的相位翻转错误，其噪声偏置特性有利于减少用于量子纠错的硬件资源开销。克尔猫量子比特是猫量子比特的一种，利用器件的克尔效应和外加的双光子驱动稳定猫态空间。相对其它猫量子比特，其具有门操作速度快等优点。然而，由于泵浦引起的频移，其初始化过程面临着挑战。

通过绝热地施加双光子驱动，系统会从福克空间映射到猫态空间，完成初始化。在此过程中，如果不补偿泵浦引起的频移，则会在进入猫态空间后产生非理想的旋转 [图 1(a)]。以往常用的做法是改变双光子驱动的频率，施加一个静态补偿 [A. Grimm, et al. *Nature*. (2020)]。研究组发现，当所需要补偿的频率超过一定阈值（即系统的克尔系数）之后，会改变原本的福克空间内的能级排布 [图 1(b)]。因此，相对于能级排布未改变的理想情况 [图 1(c)]，如果能级顺序改变，系统会沿着完全不同的绝热路径演化，初始化失败，得到泄露态 [图 1(d)]。另外，由于猫量子比特的优势在“猫”越大（对应驱动强度越高）时越显著；而泵浦频移正比于驱动强度的平方，因此在把“猫”做大的过程中，泵浦频移超过图中的阈值是不可避免的。

在该工作中，研究者首先制备了一个非线性多回路超导量子干涉器件（NEMS）[图 2(a-c)]，并成功在其上面实现了一个克尔猫量子比特。NEMS 是该研究组自主设计的一种新型约瑟夫森干涉器件 [Z. Hua, et al. *Phys. Rev. Appl.* (2025)]，具有任意设计器件的非线性系数比例的特点，是实现克尔猫量子比特两比特门、以及未来基于克尔猫的容错量子计算的有力候选者。

为了解决初始化过程中的泵浦频移问题，研究人员创新性地提出了动态补偿方案：在绝热地施加双光子驱动的过程中，随时间动态地改变驱动的频率，时刻保持补偿的频率差和泵浦导致的频移相等 [图 2(d)]。接着，研究人员在实验上利用魏格纳函数测量了不同频移参数下，传统的静态补偿方法和新的动态补偿方法的区别，直观地展示了当频移超过克尔系数时，静态补偿方法会导向完全错误的泄露态，而动态补偿方法仍有较好的初始化结果 [图 2(e-i)]。

最后, 研究人员分别通过映射回福克空间 [图 3] 和在猫态空间原位测量的方法 [图 4], 标定了静态补偿方案和动态补偿方案的初始化保真度。两组测量结果都给出动态补偿方案全程优于静态补偿方案。图 3 中观察到的朗道 - 泽纳跃迁现象进一步证实了作者研究组对于该绝热过程的理解。最后, 图 4 中的结果给出, 排除测量误差后, 在猫态平均光子数为 1.9 的情况下, 克尔猫初始化保真度为 91%。该工作关于 NEMS 器件的研究和提出的动态补偿方案都为克尔猫量子比特的未来扩展提供了很有价值的贡献。

该成果研究论文: Yifang Xu, Ziyue Hua, Weiting Wang, Yuwei Ma, Ming Li, Jiajun Chen, Jie Zhou, Xiaoxuan Pan, Lintao Xiao, Hongwei Huang, Weizhou Cai, Hao Ai, Yu-xi Liu, Chang-Ling Zou, Luyan Sun, “Dynamic compensation for pump-induced frequency shift in Kerr-cat qubit initialization”, Physical Review Applied 2025.

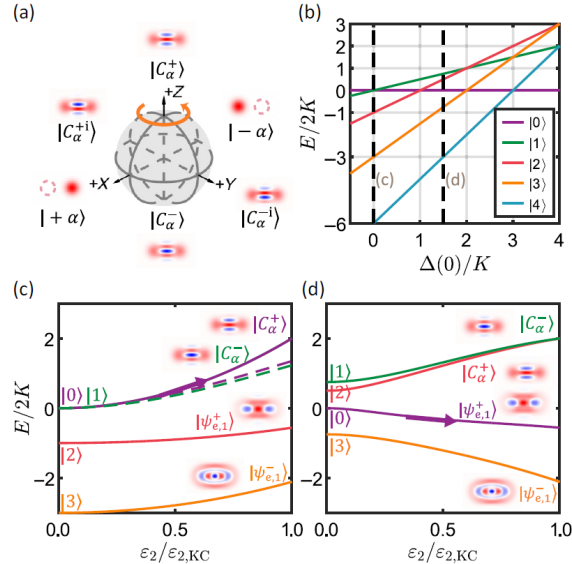


图 1: 克尔猫量子比特的编码空间定义、无双光子驱动时的能级分布, 以及理想情况 (无泵浦频移) 和实际情况 (静态补偿泵浦频移) 时的初始化路径

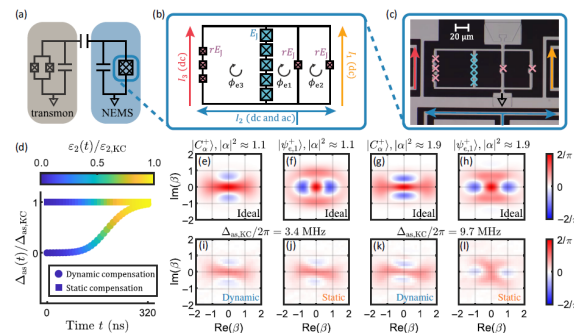


图 2: 样品线路图和照片、动态补偿方案、动态补偿和静态补偿效果的魏格纳函数图的对比

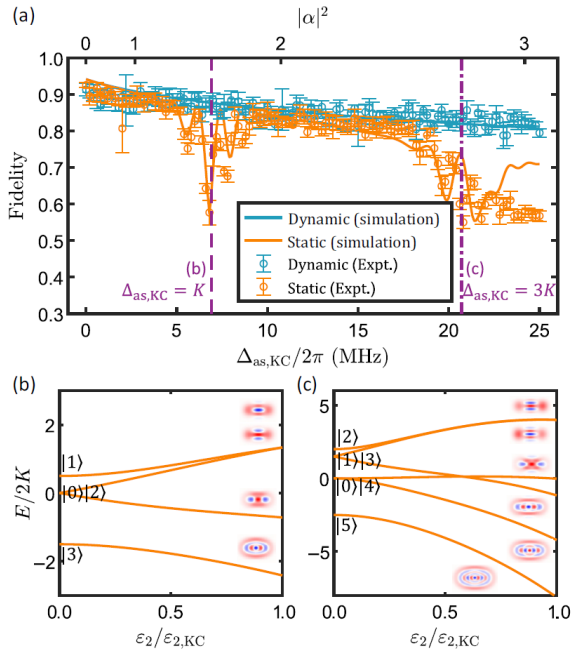


图 3: 动态补偿和静态补偿的保真度对比。利用完全相反的波形绝热演化回福克空间进行测量

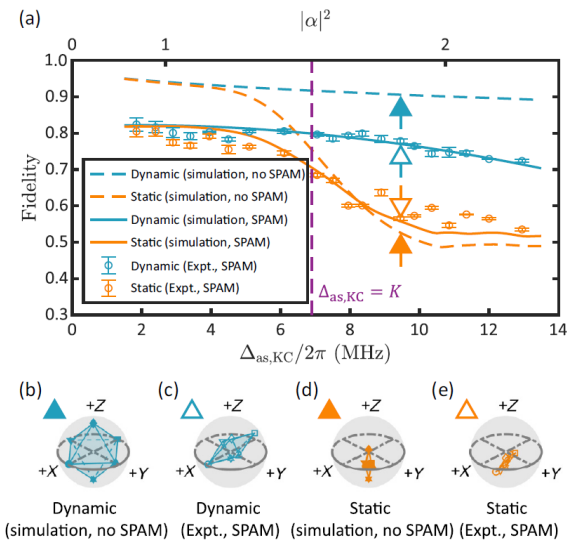


图 4: 动态补偿和静态补偿的保真度对比。直接在猫态空间进行测量

基于超导量子处理器的量子比特高效变分量子本征求解器的实验实现及模拟误差缓解

随着量子技术的快速发展,中等规模含噪声量子设备(NISQ)在解决经典计算机难以处理的问题上展现出巨大潜力。然而,NISQ面临的主要挑战包括量子比特资源有限和噪声水平较高,这限制了量子算法的实际应用。为了克服这一难题,孙麓岩研究组与合作者实验实现了一种量子比特高效的变分量子本征求解器(VQE),并开发了模拟误差缓解技术,旨在减少量子资源的使用并有效抑制噪声影响。该研究为在现有量子硬件上执行更复杂的量子算法提供了可行的解决方案,推动了量子计算在量子化学、凝聚态物理等领域的实际应用。

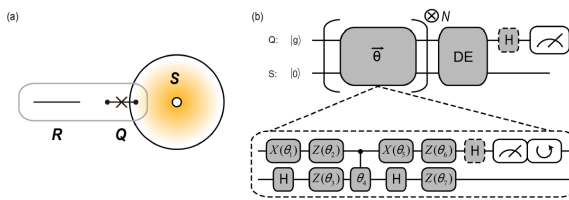


图 1: 超导量子计算样品图与变分量子本征求解器门序列

研究组利用矩阵乘积态(MPS)方案减少了量子比特的需求,并通过实验展示了仅使用两个物理量子比特(一个超导量子比特和一个长相干时间的光子比特,见图 1)模拟多自旋环形伊辛模型的能力。该系统代表了能够模拟一般 $N+1$ 自旋系统的最小量子系统。基于上述研究方案,研究组在超导量子计算平台成功实现了基于零噪声外推的模拟误差缓解方案,从而提高了模拟的精度(图 2)。

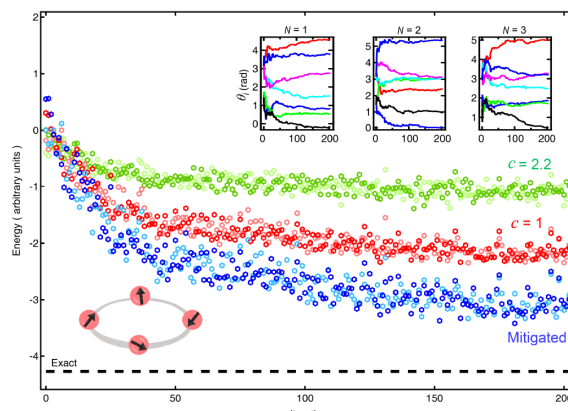


图 2: 具备误差缓解四自旋环形伊辛模型量子模拟过程

利用量子比特高效的 VQE 算法与模拟误差缓解技术,研究组在不同自旋数(最多 4 个自旋)和横向场强度的系统中验证了其性能(图 3)。实验结果表明,在确定基态能量时精度显著提高,突显了该组合方法在缓解噪声影响方面的有效性。

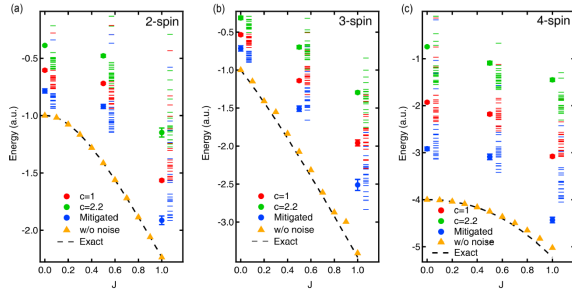


图 3: 二至四自旋环形伊辛模型量子基态求解结果

这项研究解决了量子计算领域的一个关键挑战: 开发能够在当前量子硬件限制下运行并提供准确结果的高效算法。

该研究为在现有量子硬件上实现更复杂的量子算法提供了新的思路, 并为未来量子计算的实际应用奠定了基础。

该 成 果 研 究 论 文 : Ma Yuwei, Wang Weiting, Mu Xianghao, Cai Weizhou, Hua Ziyue, Pan Xiaoxuan, Deng Dong-Ling, Wu Rebing, Zou Chang-Ling, Wang Lei, Sun, Luyan, “Experimental implementation of a qubit-efficient variational quantum eigensolver with analog error mitigation on a superconducting quantum processor”, *Science China Physics, Mechanics & Astronomy*, 68, 270311 (2025).

八、凝聚态物理学

主要完成人：徐勇研究组

外尔半金属中复合费米液体到 Moore-Read 态的相变

奇数分母的分数量子霍尔态可以用复合费米子理论系统的描述，朗道能级填充数为偶数分母时也会出现新奇的强关联物态。特别地，半填充时，最低朗道能级中会出现复合费米液体，第一激发朗道能级中会出现非阿贝尔的 Moore-Read 态。之前的研究发现当外尔半金属置于磁场中时，基于外尔轨道的朗道能级在 $1/3$ 填充下会出现 Laughlin 类型的分数量子霍尔态 [Phys. Rev. B 111, 045108 (2025)]，然而半填充时会出现何种物态尚不清楚。

研究人员通过数值计算发现，当基于外尔轨道的朗道能级半填充时，调节外尔点的距离会诱导复合费米液体到 Moore-Read 态最终到电荷密度波的相变（图 1）。对于复合费米液体，其能谱中低能态的分布和二维复合费米液体相似，结构因子在处有环状峰。随着外尔点距离增大，其能谱和纠缠谱会呈现 Moore-Read 态的特征。电荷密度波相基态多重简并，结构因子中出现孤立的峰。

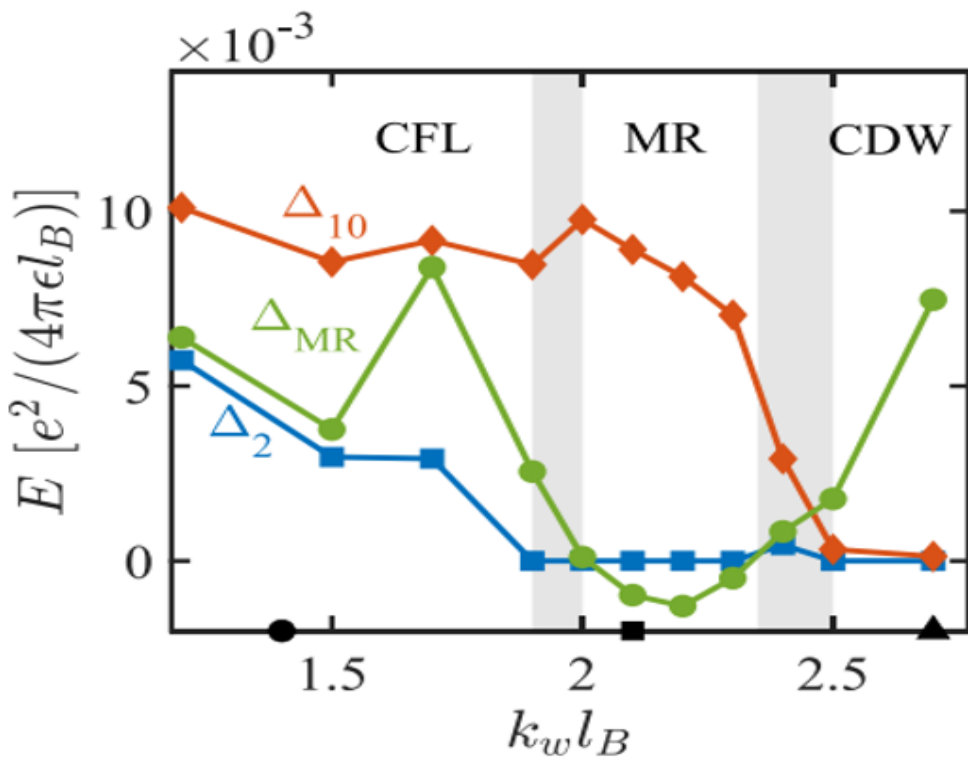


图 1 外尔半金属置于磁场中时半填充朗道能级的相图

通过研究单粒子波函数的性质，研究人员发现相变的发生是由于单粒子波函数的节点数随着外尔点距离的增大而增多。研究人员还发现，复合费米液体到 Moore-Read 态的相变可以通过调节磁场方向来诱导，在实验上可以方便地实现。

该成果研究论文：Jiong-Hao Wang, and Yong Xu, “Transitions from composite Fermi liquid to Moore-Read states in Weyl semimetals” , Phys. Rev. B 111, 205101 (2025).

首次发现基于外尔轨道的分数量子霍尔效应

分数量子霍尔效应是最典型的强关联拓扑相，呈现出分数电导、分数电荷和分数统计等新奇性质，对于凝聚态物理的基础研究有重要意义，其中非阿贝尔类型的任意子激发在拓扑量子计算中具有潜在的应用价值。对分数量子霍尔效应的研究集中于二维体系，如何将其拓展至三维体系是凝聚态物理的重大挑战。

外尔半金属具有特殊的拓扑性质：其体态存在成对外尔点，表面则形成连接不同手性外尔点的费米弧。当施加磁场时，费米弧与体态外尔点协同形成闭合的外尔轨道（图 1a），进而产生支持三维量子霍尔效应的朗道能级（图 1b）。基于此，研究人员提出，当基于外尔轨道的朗道能级 $1/3$ 填充时，可以在三维体系中出现分数量子霍尔效应。

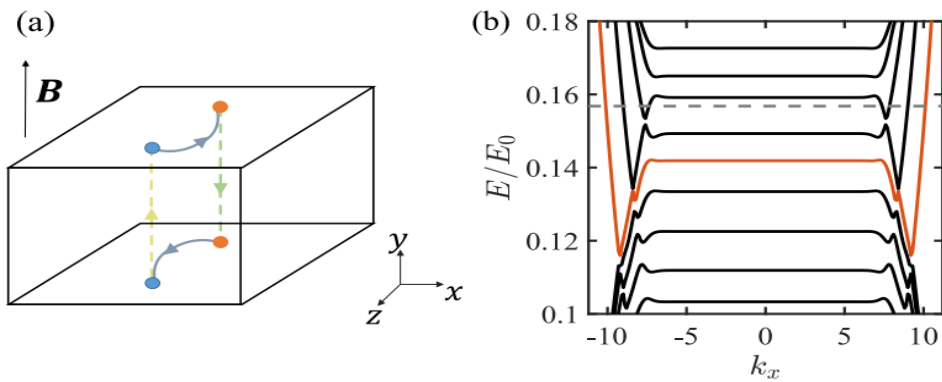
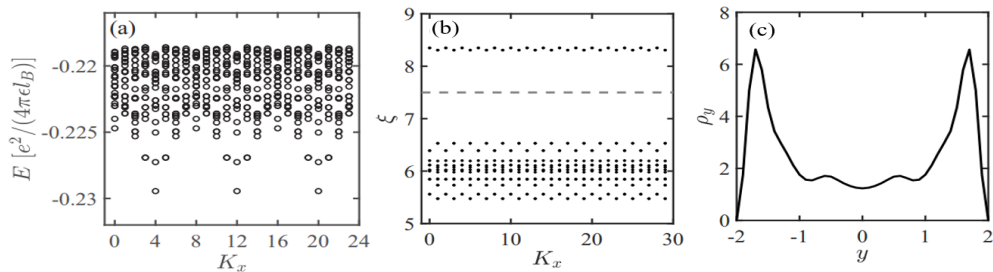


图 1 (a) 磁场下外尔半金属中外尔轨道示意图 (b) 基于外尔轨道的朗道能级，计算中将库伦相互作用投影至标红的朗道能级

研究人员构建了磁场下的外尔半金属模型并投影库仑相互作用，通过精确对角化计算发现多体基态呈现三重简并特性，动量分布满足推广的 Pauli 不相容原理（图 1a），且陈数精确为 $1/3$ ，符合 Laughlin 类型的分数量子霍尔态的特征。此外，粒子纠缠谱存在清晰能隙，其低能态数量也符合 Laughlin 态的特征（图 1b），证实其具有 Laughlin 态的准粒子激发。基态的电子密度在平行表面的平面内均匀分布，但沿 y 轴方向局域在上下表面，形成独特的“二维表面流体 + 三维体系”构型，展现出三维特性。



该理论模型在时间反演对称体系（含两对外尔点）中同样成立。鉴于三维整数量子霍尔效应已在 Cd As 等拓扑半金属中被实验观测，该研究预言的分数量子霍尔态有望在低温强磁场条件下得到验证。这项工作建立了三维体系中拓扑序与强关联作用的新范式，为探索复合费米液体、非阿贝尔态等新奇物态提供了全新平台。

该成果研究论文：Jiong-Hao Wang, Yan-Bin Yang, and Yong Xu, “Fractional Quantum Hall Effect Based on Weyl Orbit”，Phys. Rev. B 111, 045108 (2025).

拓扑无定形金属中的三维量子霍尔效应

之前的研究发现外尔半金属在无定形格点上会形成拓扑无定形金属，然而非晶材料因缺乏平移对称性，传统探测手段（如角分辨光电子能谱 ARPES）存在困难。真实外尔半金属材料中通常存在多对外尔点，给反常霍尔电导率的测量带来挑战，在时间反演对称的体系中反常霍尔电导甚至为零。因此如何探测拓扑无定形金属的拓扑性质是一个有挑战性的问题。

研究人员理论上发现，基于外尔轨道的三维量子霍尔效应可以在非晶体系中存在，可能可以作为探测拓扑无定形金属拓扑性质的手段。通过数值计算，研究人员在无定形拓扑金属中看到了量子化的霍尔电导，量子化平台与 Bott 指数吻合（图 1a），揭示了其拓扑起源。在无定形体系中，体态形成的朗道能级会展宽重叠（图 1b），但其空间局域性（临界能隙处除外）导致体态不参与导电。量子化平台相对于规则晶格的平移是由于朗道能级的移动造成的。

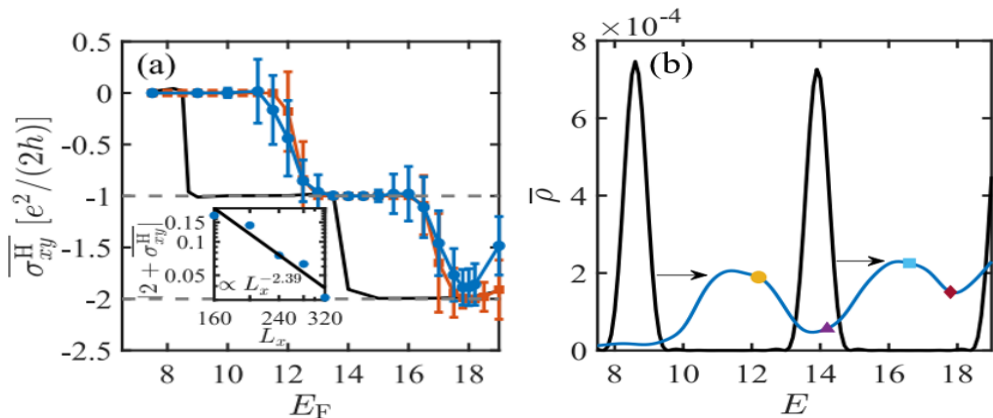


图 1 (a) 无定形体系的霍尔电导（蓝线）和 Bott 指数（红线）。黑线为规则晶格的霍尔电导 (b) 无定形体系（蓝线）和规则晶格（黑线）的朗道能级

通过计算局域态密度，研究人员发现相对边界的边界态局域在不同表面上（图 2），说明此时的量子霍尔效应依然主要由拓扑表面态形成的外尔轨道所贡献。研究人员还发现该机制在时间反演不变体系中同样成立。该研究为将 Cd As 等晶体材料中已观测的三维量子霍尔效应拓展至非晶体系提供了理论基础。

该成果研究论文: Jiong-Hao Wang, and Yong Xu, “Three-dimensional quantum Hall effect in topological amorphous metals”, SciPost Phys. 18, 146 (2025).

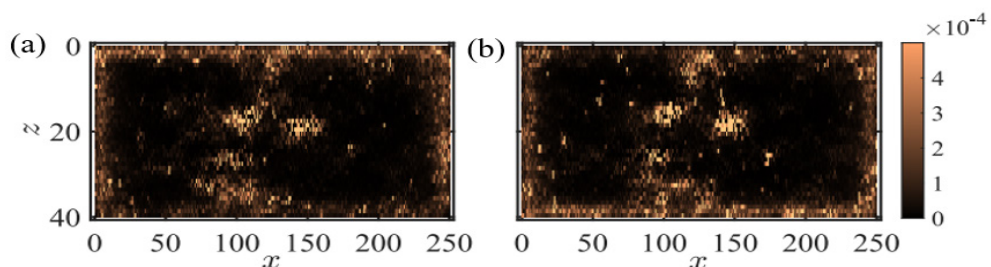


图 2 磁场下拓扑无定形金属上下表面的态密度，可见相反边界态局域在相对表面上



Editor:
Kailin Li
Reviewer:
Jian Li, Yipu Song, Xiamin Lv